



AUTARQUIA ASSOCIADA À UNIVERSIDADE
DE SÃO PAULO

**DETERMINAÇÃO DOS NÍVEIS DE RADIOATIVIDADE
NATURAL EM ÁGUAS UTILIZADAS PARA ABASTECIMENTO
PÚBLICO NO ESTADO DE SÃO PAULO**

VOLUME II

JOSELENE DE OLIVEIRA

Tese apresentada como parte dos
requisitos para obtenção do Grau de
Doutor em Ciências na Área de
Tecnologia Nuclear - Aplicações.

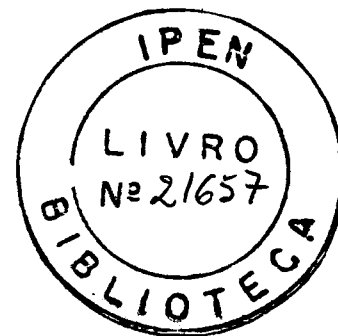
Orientadora:
Dra. Barbara Paci Mazzilli

**São Paulo
1998**

INSTITUTO DE PESQUISAS ENERGÉTICAS E NUCLEARES
Autarquia Associada à Universidade de São Paulo

DETERMINAÇÃO DOS NÍVEIS DE RADIOATIVIDADE NATURAL
EM ÁGUAS UTILIZADAS PARA ABASTECIMENTO PÚBLICO
NO ESTADO DE SÃO PAULO

JOSELENE DE OLIVEIRA



Volume II

**Tese apresentada como parte dos requisitos para
obtenção do grau de Doutor em Ciências na Área
de Tecnologia Nuclear - Aplicações**

**Orientadora:
Dra. Barbara Paci Mazzilli**

SÃO PAULO

1998

INSTITUTO DE PESQUISAS ENERGÉTICAS E NUCLEARES
Autarquia Associada à Universidade de São Paulo

**DETERMINAÇÃO DOS NÍVEIS DE RADIOATIVIDADE NATURAL
EM ÁGUAS UTILIZADAS PARA ABASTECIMENTO PÚBLICO
NO ESTADO DE SÃO PAULO**

JOSELENE DE OLIVEIRA



Volume II

**Tese apresentada como parte dos requisitos para
obtenção do grau de Doutor em Ciências na Área
de Tecnologia Nuclear - Aplicações**

**Orientadora:
Dra. Barbara Paci Mazzilli**

SÃO PAULO

1998

SUMÁRIO

Volume II

APÊNDICE A:

Distribuição do Estado de São Paulo em Zonas Hidrográficas.....160

APÊNDICE B:

Resultados de Intercomparação.....169

APÊNDICE C:

Concentrações de ^{226}Ra , ^{228}Ra e ^{222}Rn nas amostras de água de abastecimento coletadas no Estado de São Paulo.....174

APÊNDICE D:

Localização dos pontos de amostragem.....191

APÊNDICE E:

Determinação dos parâmetros físico-químicos nas amostras de água de abastecimento do Estado de São Paulo.....210

APÊNDICE F:

Determinação de cátions e ânions específicos nas águas de abastecimento público do Estado de São Paulo/Parte 1 e Parte 2.....235

APÊNDICE A

Distribuição do Estado de São Paulo em Zonas Hidrográficas

APÊNDICE B
Resultados de Intercomparação

Tabela 1-B. Resultados obtidos na amostra de água do Programa Nacional de Intercomparação – PNI/IRD, contendo Unat, ^{226}Ra e ^{210}Pb (11/07/95).



**INSTITUTO DE RADIOPROTEÇÃO E DOSIMETRIA
PROGRAMA NACIONAL DE INTERCOMPARAÇÃO**

URÂNIO, RADIO E CHUMBO EM ÁGUA

PROTOCOLO: 0528EF20/0895

DATA DE REFERÊNCIA: 11 / 07 / 95

ANÁLISE DE	X_i	\bar{X}	s	U	Su	AVALIAÇÃO			
						D	CV	NA	LC
URÂNIO	32.2 32.5 33.1	32.60	0.46	39.0	5.9	-1.88	1%	DENTRO	DENTRO
RADIO-226	19.92 19.09 19.29	19.43	0.43	16.6	2.5	1.96	2%	DENTRO	DENTRO
CHUMBO-210	68.07 77.92 74.53	73.51	5.00	59.9	12.0	1.96	7%	DENTRO	DENTRO

OBS: Os resultados estão expressos em unidades de (pCi/l).

Tabela 2-B. Resultados obtidos na amostra de água do Programa Nacional de Intercomparação – PNI/IRD, contendo Unat, ^{226}Ra , ^{228}Ra e ^{210}Pb (21/03/96).

INSTITUTO DE radioproteção e dosimetria
PROGRAMA NACIONAL DE INTERCOMPARAÇÃO

ird

CHUMBO, RÁDIO E URÂNIO EM ÁGUA

PROTOCOLO: 0624EF20/0496

DATA DE REFERÊNCIA: 21 / 03 / 96

ANÁLISE DE	X_i	\bar{X}	s	U	Su	AVALIAÇÃO			
						D	CV	NA	LC
CHUMBO-210				52.0	10.4				
RADIO-226	18.9 19.1 18.8	18.93	0.15	17.2	2.6	1.15	1%	DENTRO	DENTRO
RADIO-228	12.4 12.0 14.2	12.87	1.17	16.1	4.0	-1.40	9%	DENTRO	DENTRO
URÂNIO	19.1 18.9 19.4	19.13	0.25	19.4	2.9	-0.16	1%	DENTRO	DENTRO

OBS: Os resultados estão expressos em unidades de (pCi/l).

Tabela 3-B. Resultados obtidos na amostra de água do Programa Nacional de Intercomparação – PNI/IRD, contendo Unat, ^{226}Ra , ^{228}Ra e ^{210}Pb (12/07/96).



**INSTITUTO DE RADIOPROTEÇÃO E DOSIMETRIA
PROGRAMA NACIONAL DE INTERCOMPARAÇÃO**

CHUMBO, RÁDIO E URÂNIO EM ÁGUA

PROTOCOLO: 0675EF20/0896

DATA DE REFERÊNCIA: 12 / 07 / 96

ANÁLISE DE	X_i	\bar{X}	s	U	Su	AVALIAÇÃO			
						D	CV	NA	LC
CHUMBO-210				55.1	11.0				
RADIO-226	29.7 29.1 30.9	29.90	0.92	27.2	4.1	1.14	3%	DENTRO	DENTRO
RADIO-228	25.0 24.3 25.6	24.97	0.65	21.4	5.4	1.14	3%	DENTRO	DENTRO
URÂNIO	25.1 24.9 24.7	24.90	0.20	26.4	4.0	-0.65	1%	DENTRO	DENTRO

OBS: Os resultados estão expressos em unidades de (pCi/l).

Tabela 4-B. Resultados obtidos na amostra de água do Programa Nacional de Intercomparação – PNI/IRD, contendo Unat, ^{226}Ra , ^{228}Ra e ^{210}Pb (03/03/97).



INSTITUTO DE radioproteção e dosimetria
PROGRAMA NACIONAL DE INTERCOMPARAÇÃO

CHUMBO, RÁDIO E URÂNIO EM ÁGUA

PROTOCOLO: (JOSILENE) 20/0497

DATA DE REFERÊNCIA: 03/03/97

ANÁLISE DE	X_i	\bar{X}	s	U	Su	AVALIAÇÃO			
						D	CV	NA	LC
Pb-210				0.816	0.163				
Ra-226	1.6 1.5 1.5	1.533	0.058	1.409	0.282	0.76	4%	DENTRO	DENTRO
Ra-228	0.3 0.4 0.4	0.367	0.058	0.426	0.107	-0.96	16%	DENTRO	DENTRO
U				0.557	0.084				

OBS: Os resultados estão expressos em unidades de (Bq/l).

DEFINIÇÕES:

- U** - Valor de referência, considerado como o valor "Verdadeiro" para a grandeza analisada nas amostras.
- su** - Desvio padrão do valor de referência.
- sm** - Desvio padrão da média do valor de referência = su / \sqrt{n}
- n** - Número de repetições realizadas pelo laboratório participante.
- x_i** - Valor obtido em uma análise, pelo laboratório participante.
- X** - Valor médio obtido das "n" análises realizadas pelo laboratório participante.
- s** - Desvio padrão em relação à X.
- CV** - Coeficiente de variação, definido por: $CV = (s / X) \cdot 100\%$. Quanto menor o valor de CV, melhor a repetibilidade da análise.
- LC** - Intervalo de valores aceitáveis, entre os Limites de Controle. (Valores $< U \pm 3 sm$). Limite de controle inferior, LCI = $U - 3 sm$ e limite de controle superior, LCS = $U + 3 sm$.
- NA** - Intervalo de valores bons entre os Níveis de Advertência. (Valores $U \pm 2 sm$). Nível de advertência inferior, NAI = $U - 2 sm$ e nível de advertência superior, NAS = $U + 2 sm$.
- D** - Desvio normalizado, utilizado como parâmetro de avaliação e calculado pela expressão:

$$D = \frac{(X - U)}{\frac{su}{\sqrt{n}}}$$

Quanto mais se aproximar de zero o valor de "D", melhor o desempenho alcançado pelo laboratório participante. Para $|D| > 3$ o sistema de análise está fora de controle.

Referências:

- 1 - Natrella, M.G., "Experimental Statistics", NBS HANDBOOK No. 91, U.S Department of Commerce, p. 3 - 8, NBS, 1963.
- 2 - Jarvis, N.A. and Siu, L., "Environmental Radioactivity - Laboratory Intercomparison Studies Program", EPA-600/ 4-81-004, U.S.EPA, 1981.

APÊNDICE C

Concentrações de ^{226}Ra , ^{228}Ra e ^{222}Rn nas amostras de água de abastecimento coletadas no Estado de São Paulo

TABELA 1-C. Concentrações de ^{226}Ra , ^{228}Ra e ^{222}Rn nas amostras de água de abastecimento coletadas no Estado de São Paulo.

Local e data de coleta	^{226}Ra (mBq/L)	^{228}Ra (mBq/L)	^{222}Rn (Bq/L)	$^{228}\text{Ra}/^{226}\text{Ra}$
IV-1 (12.09.94)	< 2,2	37 ± 1	ND	17
IV-2 (12.09.94)	2,3 ± 0,7	33 ± 1	ND	14
IV-3 (12.09.94)	3,1 ± 0,1	78 ± 1	ND	26
IV-4 (12.09.94)	< 2,2	38 ± 5	ND	17
IV-6 (12.09.94)	13 ± 2	38 ± 6	ND	2,9
IV-7 (12.09.94)	5,5 ± 1,9	41 ± 14	ND	7,4
IV-8 (12.09.94)	5,4 ± 1,0	38 ± 1	ND	7,0
IV-9 (13.09.94)	< 2,2	40 ± 0	ND	18
IV-10 (13.09.94)	< 2,2	36*	ND	16
IV-11 (13.09.94)	115 ± 9	23 ± 5	ND	0,20
IV-12 (13.09.94)	11 ± 1	20 ± 2	ND	1,8
IV-13 (12.09.94)	< 2,2	32 ± 6	ND	15
IV-14 (13.09.94)	13 ± 4	38 ± 5	ND	2,9
IV-15A (13.09.94)	< 2,2	40 ± 0	ND	18
IV-15B (13.10.94)	3,5 ± 0,6	29 ± 4	4,4 ± 0,7	8,2
IV-16 (13.10.94)	4,5 ± 0,9	27 ± 2	15 ± 1	6,2
IV-17 (13.10.94)	5,2 ± 2,0	26 ± 5	3,7 ± 0,2	5,1
IV-18 (13.10.94)	8,0 ± 1,2	30 ± 1	13 ± 0	3,8
IV-19 (13.10.94)	< 2,2	30 ± 5	1,0 ± 0	14
IV-20 (13.10.94)	8,6 ± 0,4	28 ± 1	12 ± 1	3,2
IV-21 (13.10.94)	9,1 ± 6,3	18 ± 9	13 ± 1	1,9
IV-22 (13.10.94)	26 ± 1	45 ± 3	7,2 ± 0,3	1,7

Limites inferiores de detecção: $^{226}\text{Ra} = 2,2 \text{ mBq/L}$; $^{228}\text{Ra} = 3,7 \text{ mBq/L}$; $^{222}\text{Rn} = 0,19 \text{ Bq/L}$.

*Representa apenas 1 determinação

ND = nenhuma determinação

Continuação/ TABELA 1-C.

Local e data de coleta	^{226}Ra (mBq/L)	^{228}Ra (mBq/L)	^{222}Rn (Bq/L)	$^{228}\text{Ra}/^{226}\text{Ra}$
IV-23 (13.10.94)	2,3 ± 0,4	25 ± 0	1,9 ± 0,7	11
IV-24 (14.10.94)	18 ± 1	39 ± 5	19 ± 0	2,1
IV-25 (14.10.94)	24 ± 0	28 ± 4	20 ± 1	1,2
IV-26 (14.10.94)	< 2,2	27 ± 4	2,0 ± 0,2	12
IT-1 (07.12.94)	< 2,2	26 ± 2	5,0 ± 0,4	12
IT-2 (07.12.94)	< 2,2	27 ± 2	4,9 ± 0,4	12
IT-3 (07.12.94)	< 2,2	26 ± 1	7,1 ± 0,1	12
IT-4 (08.12.94)	< 2,2	25 ± 3	2,6 ± 0,4	11
IT-5 (08.12.94)	< 2,2	25 ± 0	11 ± 2	11
IT-6 (08.12.94)	< 2,2	25 ± 2	5,3 ± 0,3	11
IT-7 (09.12.94)	< 2,2	36 ± 1	5,7 ± 1,1	16
IT-8 (09.12.94)	< 2,2	23 ± 4	5,1 ± 0	11
IT-10 (18.01.95)	< 2,2	24 ± 1	9,7 ± 0,5	11
IT-11 (18.01.95)	< 2,2	32 ± 10	6,9 ± 0,8	15
IT-12 (18.01.95)	10 ± 1	14 ± 11	8,4 ± 0,5	1,3
IT-13 (18.01.95)	4,1 ± 2,7	26 ± 1	0,9 ± 0,3	6,2
IT-14 (18.01.95)	2,3 ± 1,2	25 ± 2	6,2 ± 0,9	11
IT-15 (18.01.95)	< 2,2	23 ± 1	3,3 ± 1,0	11
IT-16 (18.01.95)	< 2,2	21 ± 1	8,6 ± 0,6	9,5
IT-17 (18.01.95)	< 2,2	24 ± 2	5,1 ± 0,6	11
IT-18 (18.01.95)	< 2,2	27 ± 2	7,6 ± 0,1	12
IT-19 (18.01.95)	14*	40*	3,7 ± 0,5	2,8
IT-20 (18.01.95)	14*	37*	1,4 ± 0,4	2,7
IT-21 (19.01.95)	3,3*	23*	4,9 ± 0	7,0
IT-22 (19.01.95)	< 2,2	23 ± 0	ND	11
IT-23 (19.01.95)	5,3 ± 1,5	33 ± 4	13 ± 0	6,2
IT-24 (19.01.95)	42*	26*	8,2 ± 0,3	0,62
IT-25 (19.01.95)	< 2,2	23 ± 1	1,4 ± 0,5	11
IT-26 (19.01.95)	< 2,2	23 ± 0	4,2 ± 0,2	11
IT-27 (19.01.95)	4,3 ± 1,9	23 ± 0	3,3 ± 0,8	5,4
IT-28 (19.01.95)	2,5 ± 0,6	22 ± 1	5,5 ± 0,3	8,8
IT-29 (19.01.95)	2,9 ± 0,7	25 ± 2	9,4 ± 2,0	8,8
IT-30 (19.01.95)	< 2,2	23 ± 1	2,0 ± 0,6	11

Limites inferiores de detecção: $^{226}\text{Ra} = 2,2$ mBq/L; $^{228}\text{Ra} = 3,7$ mBq/L; $^{222}\text{Rn} = 0,19$ Bq/L.

*Representa apenas 1 determinação

ND = nenhuma determinação

Continuação/TABELA 1-C.

Local e data de coleta	^{226}Ra (mBq/L)	^{228}Ra (mBq/L)	^{222}Rn (Bq/L)	$^{228}\text{Ra}/^{226}\text{Ra}$
IT-31 (19.01.95)	< 2,2	21 ± 1	2,8 ± 0,8	9,5
IT-32 (19.01.95)	2,4 ± 0,4	26 ± 0	2,6 ± 0,4	11
IT-33 (19.01.95)	5,3*	35*	5,8 ± 0,2	6,5
IT-34 (19.01.95)	2,8 ± 0,5	27 ± 1	2,9 ± 0	9,8
IT-35 (19.01.95)	21*	17 ± 5	6,8 ± 0,5	0,79
IT-36 (19.01.95)	4,5 ± 0,1	22 ± 1	5,3 ± 0,2	4,9
IT-37 (19.01.95)	2,6 ± 0,1	25 ± 2	4,1 ± 0,4	9,8
IT-38 (20.01.95)	< 2,2	29 ± 2	3,7 ± 0,4	13
IT-39 (20.01.95)	< 2,2	24 ± 2	6,3 ± 0,4	11
IT-40 (20.01.95)	< 2,2	26 ± 3	4,3 ± 0,1	12
IT-41 (20.01.95)	3,5 ± 0,2	19 ± 0	6,2 ± 0	5,4
IT-42 (20.01.95)	< 2,2	23 ± 0	6,1 ± 0,2	11
IT-43 (20.01.95)	< 2,2	27 ± 5	9,1 ± 0,7	12
IT-44 (20.01.95)	3,3 ± 0,7	28 ± 1	6,4 ± 0,5	8,6
IT-45 (20.01.95)	2,4 ± 0,5	21 ± 4	4,3 ± 0,6	8,6
IT-46 (20.01.95)	< 2,2	24 ± 3	6,5 ± 0,1	11
IT-47 (20.01.95)	< 2,2	23 ± 1	13 ± 0	11
IT-48 (20.01.95)	< 2,2	25*	4,7 ± 1,2	11
IT-49 (20.01.95)	< 2,2	24 ± 4	15 ± 1	11
IT-50 (20.01.95)	< 2,2	25 ± 1	7,6 ± 0,3	11
LB-01 (06.06.95)	< 2,2	25 ± 2	3,2 ± 0,3	11
LB-02 (06.06.95)	3,9 ± 1,7	22 ± 1	3,2 ± 0	5,6
LB-03 (06.06.95)	< 2,2	23 ± 2	3,2 ± 0,7	11
LB-04 (06.06.95)	3,9 ± 0,3	25 ± 2	5,0 ± 0,2	6,5
LB-05 (06.06.95)	< 2,2	22 ± 1	2,7 ± 0,3	10
LB-06 (06.06.95)	< 2,2	24 ± 5	2,6 ± 0,6	11
LB-07 (06.06.95)	< 2,2	24 ± 4	2,7 ± 1,0	11
LB-08 (06.06.95)	< 2,2	22 ± 2	3,2 ± 1,2	10
LB-09 (07.06.95)	< 2,2	24 ± 0	3,1 ± 0,9	11

Limites inferiores de detecção: $^{226}\text{Ra} = 2,2$ mBq/L; $^{228}\text{Ra} = 3,7$ mBq/L; $^{222}\text{Rn} = 0,19$ Bq/L.

*Representa apenas 1 determinação

ND = nenhuma determinação

Continuação/TABELA 1-C.

Local e data de coleta	^{226}Ra (mBq/L)	^{228}Ra (mBq/L)	^{222}Rn (Bq/L)	$^{228}\text{Ra}/^{226}\text{Ra}$
LB-10 (07.06.95)	< 2,2	29 ± 2	2,9 ± 0,1	13
LB-11 (07.06.95)	< 2,2	22 ± 1	3,1 ± 0,1	10
LB-12 (07.06.95)	< 2,2	25 ± 1	2,8 ± 0,3	11
LB-13 (07.06.95)	< 2,2	38 ± 1	2,3 ± 0	17
LN-14 (07.06.95)	< 2,2	25 ± 1	2,3 ± 0,5	11
LN-15 (08.06.95)	< 2,2	22 ± 0	1,9 ± 0,6	10
LN-16 (08.06.95)	< 2,2	21 ± 1	2,5 ± 0,1	9,5
LN-17 (08.06.95)	< 2,2	25 ± 2	2,2 ± 0,3	11
LN-18 (08.06.95)	< 2,2	21 ± 2	2,9 ± 0,1	9,5
LN-19 (08.06.95)	2,3 ± 0,7	21 ± 1	2,6 ± 0,2	9,2
LN-20 (08.06.95)	< 2,2	22 ± 0	1,8 ± 0,1	10
LN-21 (08.06.95)	< 2,2	23 ± 3	1,2 ± 0,5	11
LN-22 (08.06.95)	< 2,2	25 ± 1	2,1 ± 0,8	11
LN-23 (08.06.95)	< 2,2	23 ± 0	2,4 ± 0,1	11
LN-24 (08.06.95)	< 2,2	23 ± 1	1,9 ± 0,4	11
LN-25 (09.06.95)	< 2,2	25*	1,9 ± 0,2	11
LN-26 (09.06.95)	4,8*	23 ± 2	1,9 ± 0,5	4,8
LN-27 (09.06.95)	< 2,2	25 ± 1	3,5 ± 0,3	11
LN-28 (09.06.95)	< 2,2	26 ± 0	1,2 ± 0,3	12
LN-29 (20.06.95)	< 2,2	24 ± 2	1,4 ± 0,5	11
LN-30 (20.06.95)	< 2,2	27*	2,1 ± 0,1	12
LN-31 (20.06.95)	< 2,2	27 ± 1	2,7 ± 0,1	12
LN-32 (20.06.95)	< 2,2	24 ± 1	2,0 ± 0,2	11
LN-33 (20.06.95)	< 2,2	24 ± 0	2,0 ± 0,6	11
LR-34 (04.07.95)	< 2,2	25 ± 2	2,3 ± 0,4	11
LR-35 (04.07.95)	< 2,2	27 ± 1	2,5 ± 0,2	12
LR-36 (04.07.95)	71 ± 5	71 ± 7	62 ± 4	1,0
LR-37 (05.07.95)	< 2,2	26 ± 1	1,8 ± 0,4	12
LR-38 (05.07.95)	< 2,2	25 ± 2	2,0 ± 0,4	11

Limites inferiores de detecção: $^{226}\text{Ra} = 2,2$ mBq/L; $^{228}\text{Ra} = 3,7$ mBq/L; $^{222}\text{Rn} = 0,19$ Bq/L.

*Representa apenas 1 determinação

ND = nenhuma determinação

Continuação/TABELA 1-C.

Local e data de coleta	^{226}Ra (mBq/L)	^{228}Ra (mBq/L)	^{222}Rn (Bq/L)	$^{228}\text{Ra}/^{226}\text{Ra}$
LR-39 (05.07.95)	< 2,2	25 ± 1	2,2 ± 0,3	11
LR-40 (05.07.95)	< 2,2	22 ± 2	1,7 ± 0,1	10
LR-41 (05.07.95)	< 2,2	24 ± 2	2,0 ± 0,1	11
LR-42 (05.07.95)	< 2,2	22 ± 0	2,1 ± 0	10
LR-43 (05.07.95)	< 2,2	23 ± 1	2,6 ± 0,3	11
LR-44 (06.07.95)	< 2,2	27 ± 1	1,5 ± 0,1	12
LR-45 (06.07.95)	14 ± 2	40 ± 5	41 ± 3	3,0
LR-46 (06.07.95)	6,3*	25 ± 3	1,7 ± 0,5	3,9
LR-47 (06.07.95)	4,7 ± 2,3	22 ± 4	58 ± 8	4,7
LR-48 (06.07.95)	< 2,2	28 ± 0	1,1 ± 0,4	13
LR-49 (06.07.95)	18 ± 2	26 ± 3	2,9 ± 0,1	1,5
LR-50 (06.07.95)	< 2,2	22 ± 0	1,1 ± 0	10
LR-51 (06.07.95)	2,2 ± 0	25 ± 1	1,0 ± 1,0	11
LR-52 (07.07.95)	169 ± 12	81 ± 19	300 ± 27	0,48
LR-53 (07.07.95)	< 2,2	21 ± 3	3,8 ± 0,3	9,5
LR-54 (07.07.95)	22 ± 1	34 ± 3	124 ± 9	1,6
LR-55 (11.07.95)	< 2,2	27 ± 1	1,2 ± 0,6	12
LR-56 (11.07.95)	2,6 ± 0,3	24 ± 1	1,8 ± 0,6	9,2
LR-57 (11.07.95)	< 2,2	25 ± 1	0,9 ± 0,8	11
LR-58 (11.07.95)	6,0 ± 0,2	29 ± 1	0,7 ± 0,6	4,8
LR-59 (12.07.95)	118 ± 6	131 ± 12	34 ± 2	1,1
LR-60 (12.07.95)	< 2,2	25 ± 3	0,9 ± 0,3	11
LR-61 (12.07.95)	68 ± 4	84 ± 0	54 ± 1	1,3
LR-62 (12.07.95)	3,5 ± 1,1	26 ± 2	0,4 ± 0,4	7,3
LR-63 (12.07.95)	3,2 ± 1,5	25 ± 1	1,2 ± 0,5	7,6
LR-64 (12.07.95)	20 ± 8	41 ± 11	315 ± 11	2,1
LR-65 (13.07.95)	33 ± 6	56 ± 11	82 ± 7	1,7
IV-66 (22.08.95)	4,4 ± 0,4	27 ± 3	2,4 ± 0,6	6,2
IV-67 (22.08.95)	4,4 ± 0,9	26 ± 1	9,4 ± 1,0	6,0

Limites inferiores de detecção: ^{226}Ra = 2,2 mBq/L; ^{228}Ra = 3,7 mBq/L; ^{222}Rn = 0,19 Bq/L.

*Representa apenas 1 determinação

ND = nenhuma determinação

Continuação/TABELA 1-C.

Local e data de coleta	^{226}Ra (mBq/L)	^{228}Ra (mBq/L)	^{222}Rn (Bq/L)	$^{228}\text{Ra}/^{226}\text{Ra}$
IV-68 (22.08.95)	36 ± 3	62 ± 2	26 ± 4	1,7
IV-69 (22.08.95)	14 ± 5	37 ± 6	12 ± 0	2,5
IV-70 (22.08.95)	25 ± 3	38 ± 3	6,3 ± 0,2	1,5
IV-71 (23.08.95)	< 2,2	22 ± 0	2,4 ± 0	10
IV-72 (23.08.95)	< 2,2	22 ± 2	2,7 ± 0,2	10
IV-73 (23.08.95)	< 2,2	24 ± 4	2,8 ± 0	11
IV-74 (23.08.95)	2,7 ± 0,6	21 ± 0	50 ± 1	8,0
IV-75 (23.08.95)	< 2,2	25 ± 1	2,1 ± 0,4	11
IV-76 (23.08.95)	48 ± 3	30 ± 4	7,5 ± 0,9	0,62
IV-77 (23.08.95)	16 ± 1	34 ± 6	25 ± 0	2,2
IV-78 (24.08.95)	< 2,2	21 ± 1	3,5 ± 0,1	9,5
IV-79 (24.08.95)	< 2,2	22 ± 0	2,9 ± 1,2	10
IV-80 (24.08.95)	9,6*	13 ± 8	3,8 ± 0	1,3
IV-81 (24.08.95)	< 2,2	21 ± 3	2,5 ± 0,5	9,5
IV-82 (24.08.95)	4,2 ± 1,4	18 ± 0	3,5 ± 0,9	4,3
IV-83 (24.08.95)	< 2,2	23 ± 0	3,4 ± 1,4	11
IV-84 (24.08.95)	< 2,2	20 ± 1	2,4 ± 0,7	9,1
IV-85 (24.08.95)	< 2,2	20 ± 3	2,1 ± 0	9,1
IV-86 (25.08.95)	5,0 ± 1,6	22 ± 4	17 ± 0	4,4
IV-87 (25.08.95)	6,5*	18 ± 3	2,6 ± 0	2,8
IV-88 (25.08.95)	7,5 ± 4,4	14 ± 8	24 ± 1	1,8
IV-89 (25.08.95)	42 ± 2	62 ± 2	23 ± 1	1,5
IV-90 (25.08.95)	213 ± 12	50 ± 13	274 ± 5	0,23
IV-91 (25.08.95)	< 2,2	23 ± 5	3,1 ± 0,7	11
IV-92 (29.08.95)	< 2,2	23 ± 0	1,2 ± 0,3	11
IV-93 (29.08.95)	3,5 ± 0,7	25 ± 1	11 ± 0	7,1
IV-94 (29.08.95)	3,8 ± 1,3	26 ± 3	5,8 ± 0,5	6,8
IV-95 (29.08.95)	4,0 ± 0,8	23 ± 2	7,1 ± 0,7	5,8

Limites inferiores de detecção: $^{226}\text{Ra} = 2,2$ mBq/L; $^{228}\text{Ra} = 3,7$ mBq/L; $^{222}\text{Rn} = 0,19$ Bq/L.

*Representa apenas 1 determinação

ND = nenhuma determinação

Continuação/TABELA 1-C.

Local e data de coleta	^{226}Ra (mBq/L)	^{228}Ra (mBq/L)	^{222}Rn (Bq/L)	$^{228}\text{Ra}/^{226}\text{Ra}$
IT-96 (12.09.95)	3,4 ± 0,4	22 ± 1	2,3 ± 0,6	6,3
IT-97 (12.09.95)	3,6*	22 ± 4	2,7 ± 0,3	6,1
IT-98 (12.09.95)	< 2,2	24 ± 3	5,7 ± 0,2	11
IT-99 (12.09.95)	3,9 ± 0,9	19 ± 2	4,5 ± 0,8	4,9
IT-100 (12.09.95)	14 ± 3	9*	3,8 ± 0,3	0,66
IT-101 (12.09.95)	< 2,2	22 ± 0	3,2 ± 0,2	10
IT-102 (12.09.95)	2,4 ± 0,5	23 ± 2	1,6 ± 0,2	9,7
IT-103 (12.09.95)	< 2,2	21 ± 0	4,5 ± 0,4	9,5
IT-104 (12.09.95)	< 2,2	20 ± 2	3,3 ± 0,6	9,1
IT-105 (12.09.95)	2,3 ± 0,7	22 ± 4	5,0 ± 0,6	9,6
IT-106 (12.09.95)	< 2,2	24 ± 3	2,6 ± 0,3	11
IT-107 (12.09.95)	< 2,2	28 ± 1	2,6 ± 1,0	13
IT-108 (12.09.95)	< 2,2	25 ± 2	4,6 ± 0,6	11
IT-109 (13.09.95)	< 2,2	24 ± 0	7,6 ± 0,4	11
IT-110 (13.09.95)	< 2,2	25 ± 1	3,7 ± 0,2	11
IT-111 (13.09.95)	22 ± 6	92 ± 6	3,9 ± 1,0	4,2
IT-112 (13.09.95)	< 2,2	23 ± 4	12 ± 1	11
IT-113 (13.09.95)	< 2,2	20 ± 1	5,6 ± 0,2	9,1
IT-114 (13.09.95)	< 2,2	23 ± 1	5,1 ± 0,3	11
IT-115 (13.09.95)	< 2,2	22 ± 2	7,6 ± 0,3	10
IT-116 (13.09.95)	< 2,2	22 ± 1	11 ± 1	10
IT-117 (13.09.95)	< 2,2	25 ± 0	2,7 ± 0,3	11
IT-118 (13.09.95)	< 2,2	21 ± 3	5,8 ± 1,2	9,5
IT-119 (13.09.95)	< 2,2	25 ± 2	5,2 ± 1,2	11
IT-120 (14.09.95)	< 2,2	26 ± 4	3,0 ± 0,3	12
IT-121 (14.09.95)	< 2,2	24 ± 2	7,6 ± 0,1	11
IT-122 (14.09.95)	< 2,2	21 ± 2	6,8 ± 0,3	9,5
IT-123 (14.09.95)	< 2,2	23 ± 1	5,8 ± 0,5	11
IT-124 (14.09.95)	< 2,2	19 ± 3	5,2 ± 0,3	8,6

Limites inferiores de detecção: ^{226}Ra = 2,2 mBq/L; ^{228}Ra = 3,7 mBq/L; ^{222}Rn = 0,19 Bq/L.

* Representa apenas 1 determinação

ND = nenhuma determinação

Continuação/TABELA 1-C.

Local e data de coleta	^{226}Ra (mBq/L)	^{228}Ra (mBq/L)	^{222}Rn (Bq/L)	$^{228}\text{Ra}/^{226}\text{Ra}$
IT-125 (14.09.95)	< 2,2	22 ± 3	3,9 ± 0,2	10
IT-126 (14.09.95)	< 2,2	26 ± 1	4,4 ± 0,8	12
IT-127 (14.09.95)	< 2,2	20 ± 2	5,0 ± 0,2	9,1
IT-128 (14.09.95)	< 2,2	21 ± 2	5,8 ± 0,5	9,5
IT-129 (14.09.95)	< 2,2	23 ± 1	11 ± 2	11
IT-130 (14.09.95)	< 2,2	20 ± 0	8,1 ± 0,9	9,1
IT-131 (14.09.95)	< 2,2	21 ± 1	7,4 ± 0,8	9,5
IT-132 (14.09.95)	< 2,2	20 ± 2	5,8 ± 1,1	9,1
IM-133 (22.09.95)	7,8 ± 0,4	29 ± 0	21 ± 0	3,8
IM-134 (22.09.95)	37 ± 7	61 ± 6	8,0 ± 0,2	1,7
IM-135 (22.09.95)	66 ± 6	64 ± 3	6,8 ± 0,4	0,97
IM-136 (22.09.95)	36 ± 2	61 ± 7	4,3 ± 0,5	1,7
IM-137 (22.09.95)	40 ± 4	64 ± 8	5,2 ± 0,1	1,6
IM-138 (22.09.95)	62 ± 13	44 ± 20	13 ± 1	0,71
IM-139 (22.09.95)	9,1 ± 0,5	24 ± 2	7,1 ± 0,2	2,6
IM-140 (22.09.95)	12 ± 2	24 ± 5	7,5 ± 0,9	2,1
IT-141 (03.10.95)	< 2,2	25 ± 1	5,7 ± 1,1	11
IT-142 (03.10.95)	< 2,2	23 ± 1	3,2 ± 0,7	11
IT-143 (03.10.95)	3,3 ± 0,8	28 ± 1	2,6 ± 0,8	8,4
IT-144 (03.10.95)	2,3 ± 0,6	22 ± 3	4,5 ± 0,4	9,8
IT-145 (04.10.95)	2,2 ± 0,8	20 ± 3	1,6 ± 0,2	10
IT-146 (04.10.95)	< 2,2	22 ± 1	3,9 ± 0,2	10
IT-147 (04.10.95)	< 2,2	23 ± 1	1,6 ± 0,2	11
IT-148 (04.10.95)	< 2,2	20 ± 1	5,6 ± 0,2	9,1
IT-149 (04.10.95)	< 2,2	23 ± 3	5,8 ± 0,2	11
IT-150 (04.10.95)	2,7 ± 0,3	26 ± 2,5	2,1 ± 0,8	9,6
IT-151 (04.10.95)	2,3 ± 0,6	24 ± 2	4,1 ± 0,7	10
IT-152 (04.10.95)	4,9 ± 0,3	33 ± 1	6,8 ± 0,5	6,9
IT-153 (04.10.95)	< 2,2	30 ± 0	6,2 ± 0,3	14

Limites inferiores de detecção: $^{226}\text{Ra} = 2,2$ mBq/L; $^{228}\text{Ra} = 3,7$ mBq/L; $^{222}\text{Rn} = 0,19$ Bq/L.

* Representa apenas 1 determinação

ND = nenhuma determinação

Continuação/TABELA 1-C.

Local e data de coleta	^{226}Ra (mBq/L)	^{228}Ra (mBq/L)	^{222}Rn (Bq/L)	$^{228}\text{Ra}/^{226}\text{Ra}$
IT-154 (05.10.95)	2,3 ± 0,1	27 ± 3	8,0 ± 1,5	12
IT-155 (05.10.95)	3,9 ± 2,6	27 ± 4	1,8 ± 0,7	6,8
IT-156 (05.10.95)	< 2,2	30 ± 2	7,6 ± 0,1	14
IT-157 (05.10.95)	2,3 ± 1,1	25 ± 0	9,4 ± 0,2	11
IT-158 (05.10.95)	3,1 ± 0,6	25 ± 0	5,1 ± 1,2	7,9
IT-159 (05.10.95)	3,8 ± 0,4	36 ± 2	5,5 ± 0,1	9,4
IT-160 (05.10.95)	2,7 ± 0,4	17 ± 0	4,8 ± 0,5	6,2
IT-161 (05.10.95)	2,4 ± 0,8	20 ± 1	7,4 ± 0	8,4
IT-162 (05.10.95)	< 2,2	21 ± 3	11 ± 0	9,5
IT-163 (17.10.95)	< 2,2	21 ± 1	1,6 ± 0	9,5
IT-164 (17.10.95)	< 2,2	20 ± 2	13 ± 0	9,1
IT-165 (17.10.95)	7,9 ± 0,3	29 ± 4	2,2 ± 0,5	3,6
IT-166 (17.10.95)	6,8 ± 4,8	19 ± 8	4,2 ± 0,3	2,8
IT-167 (17.10.95)	4,9 ± 0,4	26 ± 3	3,6 ± 0,6	5,3
IT-168 (17.10.95)	8,5 ± 5,3	20 ± 1	5,1 ± 0,3	2,3
IT-169 (17.10.95)	3,1 ± 2,0	17 ± 3	3,8 ± 1,5	5,6
IT-170 (17.10.95)	4,3 ± 3,5	15 ± 6	8,2 ± 1,1	3,4
IT-171 (18.10.95)	2,3 ± 0,7	22 ± 1	1,4 ± 0,2	9,8
IT-172 (18.10.95)	9,6 ± 0,7	30 ± 1	4,7 ± 0,7	3,1
IT-173 (18.10.95)	5,3 ± 2,1	28 ± 0	4,6 ± 0,2	5,2
IT-174 (18.10.95)	22 ± 0	41 ± 2	9,6 ± 0,3	1,9
IT-175 (18.10.95)	5,1 ± 2,0	22 ± 0	3,6 ± 0,6	4,4
IT-176 (18.10.95)	< 2,2	20 ± 1	13 ± 1	9,1
IT-177 (18.10.95)	11 ± 7	19 ± 9	14 ± 0	1,6
IT-178 (18.10.95)	10*	36*	4,2 ± 0,1	3,6
IT-179 (18.10.95)	7,8 ± 0,5	20 ± 0	5,1 ± 1,1	2,6
IT-180 (18.10.95)	6,2 ± 0,9	26 ± 0	7,1 ± 0,4	4,2
IT-181 (19.10.95)	ND	ND	3,1 ± 0	-
IT-182 (19.10.95)	< 2,2	20 ± 0	3,6 ± 0	9,1

Límites inferiores de detecção: $^{226}\text{Ra} = 2,2$ mBq/L; $^{228}\text{Ra} = 3,7$ mBq/L; $^{222}\text{Rn} = 0,19$ Bq/L.

*Representa apenas 1 determinação

ND = nenhuma determinação

Continuação/TABELA 1-C.

Local e data de coleta	²²⁶ Ra (mBq/L)	²²⁸ Ra (mBq/L)	²²² Rn (Bq/L)	²²⁸ Ra/ ²²⁶ Ra
IT-183 (19.10.95)	< 2,2	22 ± 2	4,9 ± 0,5	10
IT-184 (19.10.95)	2,4 ± 0,9	22 ± 2	23 ± 0	9,4
IT-185 (19.10.95)	2,7 ± 1,5	27 ± 5	4,8 ± 0,3	10
IT-186 (19.10.95)	< 2,2	22 ± 2	7,0 ± 0,8	10
IT-187 (19.10.95)	4,4 ± 0,6	25 ± 5	1,8 ± 0,4	5,8
IT-188 (19.10.95)	< 2,2	21 ± 2	3,3 ± 0,1	9,1
IT-189 (19.10.95)	2,3 ± 0,5	24 ± 1	3,3 ± 0	11
IT-190 (12.12.95)	< 2,2	24 ± 4	6,4 ± 0,4	11
IT-191 (12.12.95)	< 2,2	17 ± 1	3,4 ± 1,2	7,7
IT-192 (12.12.95)	3,1 ± 0,3	25 ± 1	3,8 ± 0,7	8,0
IT-193 (12.12.95)	< 2,2	24 ± 0	3,8 ± 0,5	11
IT-194 (12.12.95)	< 2,2	23 ± 2	4,0 ± 1,1	11
IT-195 (12.12.95)	< 2,2	20 ± 2	2,4 ± 0,4	9,1
IT-196 (12.12.95)	< 2,2	21 ± 0	4,6 ± 0,6	9,5
IT-197 (12.12.95)	< 2,2	21 ± 0	6,2 ± 0,9	9,5
IT-198 (12.12.95)	< 2,2	20 ± 0	4,8 ± 1,1	9,1
IT-199 (12.12.95)	< 2,2	21 ± 1	6,4 ± 0,8	9,5
IT-200 (13.12.95)	3,3 ± 0,1	21 ± 3	1,8 ± 0,1	6,4
IT-201 (13.12.95)	< 2,2	20 ± 2	3,6 ± 0,4	9,1
IT-202 (13.12.95)	< 2,2	22 ± 0	5,6 ± 0,2	10
IT-203 (13.12.95)	< 2,2	26 ± 2	6,9 ± 1,4	12
IT-204 (13.12.95)	< 2,2	25 ± 6	2,5 ± 0,3	11
IT-205 (13.12.95)	2,5 ± 0,7	28 ± 8	6,3 ± 0,4	11
IT-206 (14.12.95)	4,7 ± 0,8	24 ± 1	1,5 ± 0,5	5,1
IT-207 (14.12.95)	< 2,2	19 ± 1	2,9 ± 0,2	8,6
IT-208 (14.12.95)	2,2 ± 1,7	22 ± 4	8,6 ± 0,4	10
IT-209 (14.12.95)	2,8 ± 0,6	18 ± 2	16,3 ± 0,4	6,2
IT-210 (14.12.95)	3,2 ± 0,9	17 ± 0	6,6 ± 0,3	5,4
IT-211 (14.12.95)	3,1 ± 0,4	27 ± 0	1,8 ± 0	8,6

Limites inferiores de detecção: ²²⁶Ra = 2,2 mBq/L; ²²⁸Ra = 3,7 mBq/L; ²²²Rn = 0,19 Bq/L.

*Representa apenas 1 determinação

ND = nenhuma determinação

Continuação/TABELA 1-C.

Local e data de coleta	^{226}Ra (mBq/L)	^{228}Ra (mBq/L)	^{222}Rn (Bq/L)	$^{228}\text{Ra}/^{226}\text{Ra}$
IT-212 (14.12.95)	2,7 ± 0	31 ± 1	8,1 ± 0,8	12
LR-213 (03.01.96)	4,7 ± 0,3	30 ± 3	4,1 ± 0,4	6,3
LR-214 (03.01.96)	169 ± 1	58 ± 21	122 ± 1	0,35
LR-215 (03.01.96)	7,2 ± 0,9	23 ± 1	44 ± 0	3,2
LR-216 (03.01.96)	13 ± 1	27 ± 2	140 ± 8	2,1
LR-217 (03.01.96)	36 ± 1	21 ± 7	19 ± 1	0,58
LR-218 (03.01.96)	235 ± 1	< 3,7	230 ± 2	0,02
LR-219 (03.01.96)	27 ± 3	47 ± 5	15 ± 1	1,7
IB-220 (26.03.96)	< 2,2	19 ± 0	3,3 ± 0,5	8,6
IB-221 (26.03.96)	< 2,2	24 ± 4	2,9 ± 0,2	11
IB-222 (26.03.96)	2,5 ± 0,9	22 ± 0	3,4 ± 0,3	8,9
IB-223 (26.03.96)	3,0*	21 ± 2	5,3 ± 1,4	6,9
IB-224 (26.03.96)	< 2,2	20 ± 1	4,1 ± 1,0	9,1
IB-225 (26.03.96)	< 2,2	23 ± 3	5,1 ± 0,6	11
IB-226 (26.03.96)	< 2,2	24 ± 1	4,1 ± 0,3	11
IB-227 (27.03.96)	< 2,2	22 ± 1	6,4 ± 0,3	10
IB-228 (27.03.96)	< 2,2	21 ± 2	8,3 ± 3,8	9,5
IB-229 (27.03.96)	30 ± 1	73 ± 7	9,0 ± 4,1	2,5
IB-230 (27.03.96)	< 2,2	20 ± 1	5,7 ± 0,4	9,1
IB-231 (27.03.96)	15 ± 0	40 ± 1	7,2 ± 0,2	2,7
IB-232 (27.03.96)	< 2,2	22 ± 0	6,9 ± 0,5	10
IB-233 (27.03.96)	< 2,2	19 ± 1	3,4 ± 0,9	8,6
IB-234 (27.03.96)	< 2,2	23 ± 1	4,3 ± 1,0	11
IB-235 (27.03.96)	< 2,2	22 ± 1	3,9 ± 1,0	10
IB-236 (27.03.96)	3,1 ± 1,4	19 ± 1	6,6 ± 0,5	6,1
IB-237 (28.03.96)	3,1 ± 0,4	18 ± 1	7,4 ± 0,4	5,9
IB-238 (28.03.96)	7,3 ± 0,5	21 ± 0	5,7 ± 0,4	2,9
IB-239 (28.03.96)	2,9 ± 0,4	18 ± 2	3,9 ± 0,3	6,1
IB-240 (28.03.96)	3,0 ± 1,5	19 ± 2	4,4 ± 0,2	6,3

Limites inferiores de detecção: $^{226}\text{Ra} = 2,2$ mBq/L; $^{228}\text{Ra} = 3,7$ mBq/L; $^{222}\text{Rn} = 0,19$ Bq/L.

*Representa apenas 1 determinação

ND = nenhuma determinação

Continuação/TABELA 1-C.

Local e data de coleta	^{226}Ra (mBq/L)	^{228}Ra (mBq/L)	^{222}Rn (Bq/L)	$^{228}\text{Ra}/^{226}\text{Ra}$
IB-241 (28.03.96)	< 2,2	24 ± 2	5,4 ± 0,8	11
IB-242 (28.03.96)	< 2,2	26 ± 0	4,3 ± 0,2	12
IB-243 (21.05.96)	< 2,2	21 ± 1	4,3 ± 0,7	9,5
IB-244 (21.05.96)	4,2 ± 2	20 ± 4	4,1 ± 0,3	4,7
IB-245 (21.05.96)	30 ± 1	63 ± 1	3,4 ± 0,8	2,1
IB-246 (21.05.96)	2,3 ± 1,6	25 ± 3	3,3 ± 0,4	11
IB-247 (21.05.96)	3,8 ± 0,7	29 ± 2	4,0 ± 0,5	7,7
IB-248 (21.05.96)	< 2,2	22 ± 0	3,0 ± 0,3	10
IB-249 (21.05.96)	< 2,2	23 ± 1	5,7 ± 0,4	11
IB-250 (22.05.96)	< 2,2	23 ± 1	3,7 ± 0,2	11
IB-251 (22.05.96)	< 2,2	23 ± 3	3,4 ± 0,3	11
IB-252 (22.05.96)	2,7 ± 0,6	24 ± 2	4,2 ± 0,4	8,9
IB-253 (22.05.96)	< 2,2	22 ± 1	7,6 ± 0,6	10
IB-254 (22.05.96)	5,4 ± 0,1	22 ± 3	4,2 ± 0,3	4,0
IB-255 (22.05.96)	< 2,2	25 ± 1	3,3 ± 0,6	11
IB-256 (22.05.96)	< 2,2	21 ± 2	5,2 ± 0,7	9,5
IB-257 (22.05.96)	2,8 ± 0,1	22 ± 0	1,3 ± 0,5	7,9
IB-258 (22.05.96)	5,3 ± 0,5	35 ± 1	1,3 ± 0,2	6,5
IB-259 (22.05.96)	< 2,2	22 ± 1	3,4 ± 1,0	10
IB-260 (22.05.96)	2,3 ± 0,5	26 ± 2	3,9 ± 0,6	11
IB-261 (22.05.96)	< 2,2	22 ± 4	5,0 ± 0,5	10
IB-262 (23.05.96)	9,6 ± 1,2	35 ± 4	3,6 ± 5,1	3,7
IB-263 (23.05.96)	< 2,2	24 ± 2	2,6 ± 0,5	11
IB-264 (23.05.96)	2,4 ± 0,4	27 ± 1	2,9 ± 0,1	11
IB-265 (23.05.96)	7,8 ± 1,0	30 ± 2	3,5 ± 0,5	3,9
IB-266 (23.05.96)	< 2,2	24 ± 1	2,1 ± 0,3	11
IB-267 (23.05.96)	4,3 ± 0,2	32 ± 0	2,7 ± 0,3	7,5
IB-268 (23.05.96)	< 2,2	25 ± 1	3,2 ± 0,2	11
IB-269 (23.05.96)	< 2,2	22 ± 2	4,8 ± 0,4	10

Limites inferiores de detecção: $^{226}\text{Ra} = 2,2$ mBq/L; $^{228}\text{Ra} = 3,7$ mBq/L; $^{222}\text{Rn} = 0,19$ Bq/L.

* Representa apenas 1 determinação

ND = nenhuma determinação

Continuação/TABELA 1-C.

Local e data de coleta	^{226}Ra (mBq/L)	^{228}Ra (mBq/L)	^{222}Rn (Bq/L)	$^{228}\text{Ra}/^{226}\text{Ra}$
IB-270 (28.05.96)	2,2 ± 0,4	25 ± 1	4,2 ± 0,2	11
IB-271 (28.05.96)	2,6 ± 0,6	25 ± 1	3,5 ± 0,2	9,7
IB-272 (28.05.96)	2,7 ± 0,2	25 ± 1	4,9 ± 0,2	9,3
IB-273 (28.05.96)	< 2,2	25 ± 1	6,1 ± 0,5	11
IB-274 (28.05.96)	< 2,2	24 ± 2	5,0 ± 0,6	11
IB-275 (28.05.96)	3,5 ± 1,9	34 ± 4	4,3 ± 1,1	9,7
IB-276 (28.05.96)	< 2,2	25 ± 1	6,3 ± 0,9	11
IB-277 (28.05.96)	4,5 ± 0,6	36 ± 2	6,5 ± 0,2	8,2
IB-278 (28.05.96)	< 2,2	21 ± 1	6,8 ± 0,3	9,5
IB-279 (29.05.96)	< 2,2	21 ± 2	8,6 ± 0,3	9,5
IB-280 (29.05.96)	< 2,2	26 ± 4	3,7 ± 1,4	12
IB-281 (29.05.96)	< 2,2	25 ± 3	19 ± 1	11
IB-282 (29.05.96)	3,7 ± 1,2	27 ± 0	6,2 ± 0,6	7,2
IB-283 (29.05.96)	< 2,2	25 ± 2	15 ± 0	11
IB-284 (29.05.96)	3,0 ± 1,0	29 ± 0	2,2 ± 0,1	9,6
IB-285 (29.05.96)	< 2,2	27 ± 3	4,5 ± 0,2	12
IB-286 (29.05.96)	3,0 ± 0,6	29 ± 1	7,6 ± 0,2	9,6
IB-287 (29.05.96)	2,6 ± 0,3	22 ± 2	8,6 ± 1,6	8,2
IB-288 (30.05.96)	< 2,2	21 ± 2	2,4 ± 0,1	9,5
IB-289 (30.05.96)	< 2,2	23 ± 0	4,7 ± 0,6	11
IB-290 (30.05.96)	4,8*	28*	4,5 ± 0,2	5,9
IB-291 (30.05.96)	2,4 ± 0,3	28 ± 2	5,8 ± 0,2	12
IB-292 (30.05.96)	3,9 ± 0,4	23 ± 3	4,0 ± 0,3	5,9
IB-293 (30.05.96)	< 2,2	20 ± 1	6,2 ± 0,4	9,1
IB-294 (30.05.96)	2,8 ± 0,3	20 ± 4	2,6 ± 0,1	7,3
IB-295 (30.05.96)	2,9 ± 0,2	28 ± 1	4,2 ± 0,2	9,5
IB-296 (30.05.96)	4,8 ± 1,9	32 ± 1	5,6 ± 0,3	6,7
IB-297 (11.06.96)	< 2,2	25 ± 0	4,5 ± 0,1	11
IB-298 (11.06.96)	< 2,2	24 ± 1	8,0 ± 0,6	11

Limites inferiores de detecção: $^{226}\text{Ra} = 2,2$ mBq/L; $^{228}\text{Ra} = 3,7$ mBq/L; $^{222}\text{Rn} = 0,19$ Bq/L.

*Representa apenas 1 determinação

ND = nenhuma determinação

Continuação/TABELA 1-C.

Local e data de coleta	²²⁶ Ra (mBq/L)	²²⁸ Ra (mBq/L)	²²² Rn (Bq/L)	²²⁸ Ra/ ²²⁶ Ra
IB-299 (11.06.96)	< 2,2	22 ± 1	9,8 ± 0,3	10
IB-300 (11.06.96)	5,0 ± 0,5	27 ± 3	6,2 ± 0,6	5,3
IB-301 (11.06.96)	3,7 ± 2,9	37 ± 8	7,6 ± 0,7	10
IB-302 (11.06.96)	< 2,2	25 ± 0	4,6 ± 0,4	11
IB-303 (12.06.96)	< 2,2	22 ± 0	11 ± 1	10
IB-304 (12.06.96)	4,0 ± 1,4	22 ± 0	4,9 ± 0,3	5,6
IB-305 (12.06.96)	7,2 ± 1,8	33 ± 3	4,9 ± 0,6	4,6
IB-306 (12.06.96)	3,3 ± 0,6	29 ± 3	4,8 ± 0,9	8,9
IB-307 (12.06.96)	< 2,2	24 ± 0	4,4 ± 0	11
IB-308 (12.06.96)	< 2,2	23 ± 1	8,1 ± 1,1	11
IB-309 (12.06.96)	2,5 ± 0,6	29 ± 6	4,9 ± 0,6	11
IB-310 (12.06.96)	2,2 ± 0,3	28 ± 2	3,3 ± 0,2	12
IB-311 (12.06.96)	7,7 ± 0	38 ± 2	3,8 ± 0,4	5,0
IB-312 (12.06.96)	2,7 ± 0,1	34 ± 13	3,6 ± 0,5	12
IB-313 (12.06.96)	2,6 ± 1,0	26 ± 1	4,2 ± 0,5	10
IB-314 (12.06.96)	< 2,2	23 ± 2	2,5 ± 0,1	11
IB-315 (13.06.96)	< 2,2	22 ± 2	5,2 ± 0,8	10
IB-316 (13.06.96)	< 2,2	23 ± 1	5,5 ± 0,6	11
IB-317 (13.06.96)	< 2,2	25 ± 1	15 ± 1,5	11
IB-318 (13.06.96)	< 2,2	22 ± 2	8,1 ± 0,7	10
IB-319 (13.06.96)	< 2,2	21 ± 1	5,9 ± 0,2	9,5
IB-320 (13.06.96)	< 2,2	23 ± 1	3,8 ± 0,5	11
IB-321 (13.06.96)	< 2,2	25 ± 1	5,9 ± 0,5	11
IB-322 (13.06.96)	< 2,2	22 ± 2	1,8 ± 0,1	10
IB-323 (25.06.96)	< 2,2	27 ± 3	7,3 ± 0,2	12
IB-324 (25.06.96)	3,0 ± 0,6	23 ± 0	7,1 ± 1,1	7,6
IB-325 (25.06.96)	2,7 ± 1,1	27 ± 4	5,1 ± 0,6	9,8
IB-326 (25.06.96)	< 2,2	24 ± 0	10,4 ± 0,6	11
IM-327(26.06.96)	< 2,2	24 ± 0	12 ± 1	11

Limites inferiores de detecção: ²²⁶Ra = 2,2 mBq/L; ²²⁸Ra = 3,7 mBq/L; ²²²Rn = 0,19 Bq/L.

*Representa apenas 1 determinação

ND = nenhuma determinação

Continuação/TABELA 1-C.

Local e data de coleta	^{226}Ra (mBq/L)	^{228}Ra (mBq/L)	^{222}Rn (Bq/L)	$^{228}\text{Ra}/^{226}\text{Ra}$
IM-328 (26.06.96)	4,3 ± 0,9	29 ± 1	3,9 ± 0,3	6,7
IM-329 (26.06.96)	< 2,2	28 ± 2	4,9 ± 0,9	13
IM-330 (26.06.96)	< 2,2	25 ± 0	19 ± 0	11
IM-331 (26.06.96)	< 2,2	27 ± 1	10 ± 0	12
IM-332 (26.06.96)	3,9 ± 1,9	17 ± 4	3,7 ± 0,4	4,3
IM-333 (26.06.96)	4,0 ± 0	20 ± 1	4,7 ± 0,7	4,9
IM-334 (26.06.96)	2,9 ± 0,3	21 ± 1	4,5 ± 1,1	7,3
IM-335 (26.06.96)	3,3 ± 1,1	22 ± 4	4,2 ± 0,1	6,7
IM-336 (27.06.96)	< 2,2	21 ± 0	4,6 ± 0,7	9,5
IM-337 (27.06.96)	< 2,2	24 ± 1	8,5 ± 1,2	11
IM-338 (27.06.96)	< 2,2	25 ± 5	5,3 ± 0,6	11
IM-339 (27.06.96)	< 2,2	22 ± 1	7,3 ± 1,0	10
IM-340 (27.06.96)	< 2,2	21 ± 0	12 ± 1	9,5
IM-341 (27.06.96)	< 2,2	22 ± 5	24 ± 1	10
IM-342 (27.06.96)	< 2,2	23 ± 0	3,5 ± 0,9	11
IM-343 (28.06.96)	2,2 ± 1,0	25 ± 1	2,6 ± 1,1	11
IM-344 (28.06.96)	< 2,2	25 ± 2	16 ± 1	11
IM-345 (28.06.96)	4,1 ± 0,4	25 ± 0	4,8 ± 0,8	6,2
IM-346 (28.06.96)	2,7 ± 1,5	23 ± 2	18 ± 1	8,7
IA-347 (20.08.96)	23*	25*	2,4 ± 0,1	1,1
IA-348 (20.08.96)	8,0*	24 ± 8	6,1 ± 0,3	3,0
IA-349 (20.08.96)	< 2,2	26 ± 2	3,1 ± 0,5	12
IA-350 (20.08.96)	< 2,2	27 ± 2	3,8 ± 0,4	12
IA-351 (21.08.96)	< 2,2	28 ± 0	3,0 ± 0,9	13
IA-352 (21.08.96)	11 ± 2	35 ± 6	55 ± 0	3,3
IA-353 (21.08.96)	29*	29*	39 ± 1	1,0
IA-354 (21.08.96)	< 2,2	24 ± 2	2,5 ± 0,3	11
IA-355 (21.08.96)	7,3 ± 2,1	34 ± 5	15 ± 1	4,7
IA-356 (21.08.96)	4,4 ± 0,8	20 ± 3	1,8 ± 0	4,6

Limites inferiores de detecção: ^{226}Ra = 2,2 mBq/L; ^{228}Ra = 3,7 mBq/L; ^{222}Rn = 0,19 Bq/L.

*Representa apenas 1 determinação

ND = nenhuma determinação

Continuação/TABELA 1-C.

Local e data de coleta	^{226}Ra (mBq/L)	^{228}Ra (mBq/L)	^{222}Rn (Bq/L)	$^{228}\text{Ra}/^{226}\text{Ra}$
IA-357 (21.08.96)	< 2,2	20 ± 2	2,1 ± 0	9,1
IA-358 (21.08.96)	< 2,2	26 ± 1	2,6 ± 0,8	12
IA-359 (22.08.96)	< 2,2	23 ± 0	5,4 ± 0,5	11
IA-360 (22.08.96)	< 2,2	24 ± 1	2,8 ± 0,3	11
IA-361 (22.08.96)	< 2,2	24 ± 1	2,4 ± 0,9	11
IA-362 (22.08.96)	6,7 ± 0,2	27 ± 1	15 ± 0,5	4,0
IA-363 (22.08.96)	2,9 ± 0,6	31 ± 4	135 ± 1	11
IA-364 (22.08.96)	5,2 ± 0,5	29 ± 4	53 ± 1	5,7
IA-365 (22.08.96)	6,0 ± 0,8	27 ± 1	4,3 ± 0	4,4
IA-366 (22.08.96)	< 2,2	24 ± 2	4,0 ± 1,1	11
IA-367 (23.08.96)	52 ± 8	50 ± 11	19 ± 0	0,96
IA-368 (23.08.96)	2,6 ± 1,6	20 ± 3	10 ± 0	7,7
IA-369 (23.08.96)	2,2 ± 1,2	25 ± 4	2,6 ± 0,6	11
IA-370 (23.08.96)	2,6 ± 0,2	22 ± 0	2,2 ± 0,3	8,5
IA-371 (23.08.96)	3,1 ± 1,0	25 ± 4	2,5 ± 0,4	8,0
IA-372 (27.08.96)	30 ± 4	28 ± 1	3,9 ± 0,6	0,94
IA-373 (27.08.96)	54 ± 2	53 ± 1	58 ± 1	0,97
IA-374 (27.08.96)	74 ± 8	61 ± 7	21 ± 1	0,82
IA-375 (27.08.96)	< 2,2	23 ± 1	4,8 ± 0,3	11
IA-376 (27.08.96)	2,6 ± 0,2	24 ± 2	2,7 ± 0,7	9,4
IA-377 (27.08.96)	2,6 ± 1,7	23 ± 1	2,1 ± 0,1	8,7

Limites inferiores de detecção: $^{226}\text{Ra} = 2,2$ mBq/L; $^{228}\text{Ra} = 3,7$ mBq/L; $^{222}\text{Rn} = 0,19$ Bq/L.

*Representa apenas 1 determinação

ND = nenhuma determinação

APÊNDICE D
Identificação dos locais de amostragem

IDENTIFICAÇÃO DOS LOCAIS DE AMOSTRAGEM**UNIDADE DE NEGÓCIO VALE DO PARAÍBA - IV**

- IV-1** 205-BR-001 Rio Paraíba do Sul - ETA I
- IV-2** 206-BR-001 Rio Una - ETA II
- IV-3** 208-BR-001 Tremembé - Rio Paraíba do Sul
- IV-4** 014-BR-001 Pindamonhangaba - Rio Paraíba do Sul
- IV-6** Poço Mondesir - Rua Piauí s/n° -Lorena
- IV-7** Poço Praça do Rosendo s/n° - Lorena -Sistema B
- IV-8** Poço Ipê - Rua J.A.Almeida Gonzales s/n° - Lorena
- IV-9** 202-BR-001 Água Benta- Rio Bananal- Bananal
- IV-10** 001-BR-001 Rio Grajaú - Arapeí
- IV-11** Poço Rancho Grande- Bananal-Rua Vicente de Paula Almeida s/n°
- IV-12** 016-BR-001 Queluz- Ribeirão do Entupido
- IV-13** 007-BR-001 Capela do Jacú- Ribeirão do Braço- Lavrinhas
- IV-14** Poço Embaú -Rua Profa. Maria Aparecida Godoy Valente- Cachoeira Paulista
- IV-15A** 004-BR-001 Rio Bocaina - Cachoeira Paulista
- IV-15B** São José dos Campos - Poço 35 - Satélite
- IV-16** São José dos Campos - Poço 115- Vila São Bento
- IV-17** São José dos Campos - Poço 58- Vista Verde
- IV-18** São José dos Campos- Poço 120-Jardim das Indústrias
- IV-19** São José dos Campos- Rio Paraíba- ETA
- IV-20** São José dos Campos- São Judas Tadeu
- IV-21** São José dos Campos- Poço 89- Lavapés
- IV-22** São José dos Campos - Santana
- IV-23** São José dos Campos - Boquerinha
- IV-24** Caçapava - Poço 20
- IV-25** Caçapava - Poço 03

Continuação/Identificação dos locais de amostragem

- IV-26** Caçapava - Captação Fazenda Arquimedes
- IV-66** ETA Urbanova - São José dos Campos
- IV-67** Poço n°5- Estrada Deodésio- Guamirim (Profundidade 170 m)
- IV-68** Poço n°2- Estrada Januzi- Guamirim (Profundidade 49 m)
- IV-69** ETA Jambeiro- captação e poço
- IV-70** Poço n°1- Caçapava Velha (Profundidade 150 m)
- IV-71** Captação Catuçaba- São Luís do Paraitinga
- IV-72** ETA São Luís do Paraitinga
- IV-73** ETA Lagoinha- Captação
- IV-74** ETA Redenção da Serra
- IV-75** Rio Paraitinga- Represa
- IV-76** Poço P4- Jardim Primavera- Roseira (Profundidade 196 m)
- IV-77** Poço P2- Roseira Velha (Profundidade 160 m)
- IV-78** ETA Monteiro Lobato
- IV-79** ETA São Francisco Xavier
- IV-80** Captação São Benedito- Monteiro Lobato
- IV-81** Campos do Jordão- Captação Forjo
- IV-82** Campos do Jordão- Captação Salto
- IV-83** Campos do Jordão- Bairro José da Rosa
- IV-84** ETA São Bento do Sapucaí
- IV-85** ETA Santo Antônio do Pinhal
- IV-86** Poço E- Canas, Distrito de Lorena (Profundidade 152 m)
- IV-87** Silveiras- ETA, Captação superficial
- IV-88** Silveiras- Poço (Profundidade 88 m)
- IV-89** Silveiras- Poço Bairro dos Macacos (Profundidade 160 m)
- IV-90** Poço Rancho Grande- Bananal (Profundidade 102 m/RECOLETA)
- IV-91** ETA Cachoeira Paulista
- IV-92** ETA Igaratá- Rua 1-A, n°3

Continuação/Identificação dos locais de amostragem

- IV-93** Eugênio de Melo- Poço Rua Nelson Dávila,44 (Profundidade 160 m)
- IV-94** Eugênio de Melo- Poço Estrada Velha Rio-São Paulo (Profundidade 224 m)
- IV-95** Eugênio de Melo- Poço n°63, Jardim das Flores (Profundidade 220 m)

UNIDADE DE NEGÓCIO BAIXO TIETÊ/GRANDE - IT

- IT-1** Poço n°5 - Urânia
- IT-2** Poço n°6 - Urânia
- IT-3** Poço n°8 - Urânia
- IT-4** Poço n°1 - Fernandópolis
- IT-5** Poço n°2/3 - Fernandópolis
- IT-6** Poço n°2 - Fernandópolis
- IT-7** Poço n°1 - Aspásia
- IT-8** Poço n°1 - Santa Salete
- IT-10** Poço n°1 - Rubinéia (Profundidade 122 m)
- IT-11** Poço n°2 - Santa Clara D'Oeste (Profundidade 180 m)
- IT-12** Poço n°1 - Santa Clara D'Oeste (Profundidade 120 m)
- IT-13** ETA de Três Fronteiras
- IT-14** Poço n°2 - Santana da Ponte Pensa (Profundidade 185 m)
- IT-15** Poço n°3 - Santana da Ponte Pensa (Profundidade 220 m)
- IT-16** Poço n°5 - Santa Albertina (Profundidade 100 m)
- IT-17** Poço n°3 - Paranapuã (Profundidade 180 m)
- IT-18** Poço n°1 - Dolcinópolis (Profundidade 80 m)
- IT-19** Poço n°2 - Dolcinópolis (Profundidade 160 m)
- IT-20** Poço n°3 - Dolcinópolis (Profundidade 176 m)
- IT-21** Poço n°1 - Turmalina (Profundidade 120 m)
- IT-22** Poço n°3 - Turmalina (Profundidade 180 m)

Continuação/Identificação dos locais de amostragem

- IT-23** Poço nº2 - Turmalina (Profundidade 165 m)
- IT-24** Poço nº2 - Populina (Profundidade 133 m)
- IT-25** Poço nº3 - Populina (Profundidade 180 m)
- IT-26** Poço nº1 - Mesópolis (Profundidade 200 m)
- IT-27** Poço nº1 - Povoado do Sol (Profundidade 59 m)
- IT-28** Poço nº1 - Fátima Paulista (Profundidade 220 m)
- IT-29** Poço nº1 - Vitória Brasil (Profundidade 104 m)
- IT-30** Poço nº3 - Pontalinda (Profundidade 73 m)
- IT-31** Poço nº2 - Pontalinda (Profundidade 67 m)
- IT-32** Poço nº2 - Dirce Reis (Profundidade 101 m)
- IT-33** Poço nº5 - Jales (Profundidade 120 m)
- IT-34** Poço nº9 - Jales (Profundidade 120 m)
- IT-35** Poço nº1 - Jales (Profundidade 1.322 m)
- IT-36** Poço P52 - Jales (Profundidade 102 m)
- IT-37** Poço nº2 - Jales (Profundidade 1.205 m)
- IT-38** Poço nº1 - Dulcelina (Profundidade 113 m)
- IT-39** Poço nº1 - Pedranópolis (Profundidade 141 m)
- IT-40** Poço nº2 - Pedranópolis (Profundidade 172 m)
- IT-41** Poço nº3 - Pedranópolis (Profundidade 150 m)
- IT-42** Poço nº1 - Santa Isabel do Marinheiro (Profundidade 131 m)
- IT-43** Poço nº3 - Macedônia (Profundidade 178 m)
- IT-44** Poço nº1 - Macedônia (Profundidade 172 m)
- IT-45** Poço nº1 - Mira Estrela (Profundidade 150 m)
- IT-46** Poço nº4 - Mira Estrela (Profundidade 143 m)
- IT-47** Poço nº5 - Indiaporã (Profundidade 112 m)
- IT-48** Poço nº2 - Indiaporã (Profundidade 115 m)
- IT-49** Poço nº4 - Indiaporã (Profundidade 162 m)

Continuação/Identificação dos locais de amostragem

- IT-50** Poço nº1 - Tupinambá (Profundidade 98 m)
- IT-96** ETA Auriflama
- IT-97** Poço nº12- Auriflama (Profundidade 251 m)
- IT-98** Poço nº3- Guzolândia (Profundidade 189 m)
- IT-99** Poço nº1- Bandeirantes D'Oeste (Profundidade 147 m)
- IT-100** Poço nº1- Sud Menucci (Profundidade 124 m)
- IT-101** Poço nº1- Dalas (Profundidade 151 m)
- IT-102** ETA Palmeiras D'Oeste
- IT-103** Poço nº1- São Francisco (Profundidade 150 m)
- IT-104** Poço nº4- Marinópolis (Profundidade 230 m)
- IT-105** Poço nº1- Aparecida D'Oeste (Profundidade 178 m)
- IT-106** Poço nº1- Socimbra (Profundidade 96 m)
- IT-107** Poço nº1- Nova Canaã Paulista (Profundidade 111 m)
- IT-108** Poço nº1- Vila Esmeralda (Profundidade 150 m)
- IT-109** Poço nº1- São João das Duas Pontes (Profundidade 120 m)
- IT-110** Poço nº3- São João das Duas Pontes(Profundidade 221 m)
- IT-111** Poço nº1- Vila Aparecida (Profundidade 64 m)
- IT-112** Poço nº5- Estrela D'Oeste (Profundidade 201 m)
- IT-113** Poço nº6- Estrela D'Oeste (Profundidade 196 m)
- IT-114** Poço nº1- Guarani D'Oeste (Profundidade 157 m)
- IT-115** Poço nº1- Arabá (Profundidade 120 m)
- IT-116** Poço nº1- São João do Marinheiro (Profundidade 160 m)
- IT-117** ETA Cardoso
- IT-118** Poço nº1- Cardoso (Profundidade 145 m)
- IT-119** Poço nº1- Vila Alves (Profundidade 220 m)
- IT-120** ETA Nhandeara
- IT-121** Poço nº1- Ida Iolanda (Profundidade 172 m)

Continuação/Identificação dos locais de amostragem

- IT-122** Poço nº3- Sebastianópolis do Sul (Profundidade 181 m)
- IT-123** Poço nº1- Itaiuba (Profundidade 108 m)
- IT-124** Poço nº4- Floreal (Profundidade 214 m)
- IT-125** Poço nº5- Gastão Vidigal (Profundidade 207 m)
- IT-126** Poço nº6- Gastão Vidigal (Profundidade 83 m)
- IT-127** Poço nº6- Nova Luzitânia (Profundidade 230 m)
- IT-128** Poço nº1- Lourdes (Profundidade 132 m)
- IT-129** Poço nº1-Turiubá (Profundidade 214 m)
- IT-130** Poço nº1- Monções (Profundidade 203 m)
- IT-131** Poço nº1- Alvares Florence (Profundidade 154 m)
- IT-132** Poço nº1- Boa Vista dos Andradas (Profundidade 157 m)
- IT-141** Poço nº6- Valentim Gentil (Profundidade 95 m)
- IT-142** Poço nº1- Valentim Gentil (Profundidade 126 m)
- IT-143** Poço nº5- Valentim Gentil (Profundidade 132 m)
- IT-144** Poço nº1- Pontes Gestal (Profundidade 100 m)
- IT-145** ETA Riolândia
- IT-146** Poço nº3- Riolândia (Profundidade 150 m)
- IT-147** ETA Paulo de Faria
- IT-148** Poço nº1- Orindiúva (Profundidade 152 m)
- IT-149** Poço nº2- Icém (Profundidade 151 m)
- IT-150** ETA Icém
- IT-151** Poço nº1- Altair (Profundidade 147 m)
- IT-152** Poço nº1- Suinana (Profundidade 74 m)
- IT-153** Poço Rua Inácio G. Oliveira s/nº- O. Verde(Profundidade 150 m)
- IT-154** Poço nº1- Engenheiro Balduino (Profundidade 156 m)
- IT-155** ETA Monte Aprazível
- IT-156** Poço nº3- Poloni (Profundidade 125 m)

Continuação/Identificação dos locais de amostragem

- IT-157** Poço n°4- Poloni (Profundidade 155 m)
- IT-158** Poço Rua Benedito Passarin s/n°- Junqueira (Profundidade 104 m)
- IT-159** Poço n°2- União Paulista (Profundidade 170 m)
- IT-160** Poço n°1- Nipoã (Profundidade 208 m)
- IT-161** Poço n°2- Planalto (Profundidade 215 m)
- IT-162** Poço n°1- Zacarias (Profundidade 119 m)
- IT-163** Poço n°7- Piratininga (Profundidade 140 m)
- IT-164** Poço n°4- Avaí (Profundidade 150 m)
- IT-165** Poço n°1- Nogueira (Profundidade 62 m)
- IT-166** Poço n°1- São Luís do Guaricanga (Profundidade 80 m)
- IT-167** Poço n°1- Presidente Alves (Profundidade 118 m)
- IT-168** Poço n°1- Balbinos (Profundidade 103 m)
- IT-169** Poço n°1- Uru (Profundidade 111 m)
- IT-170** Poço n°2- Pongai (Profundidade 141 m)
- IT-171** Poço n°4- Alto Alegre (Profundidade 170 m)
- IT-172** Poço n°2- Jatobá (Profundidade 202 m)
- IT-173** Poço n°1- São Martinho D'Oeste (Profundidade 153 m)
- IT-174** Poço n°1- Coroados (Profundidade 205 m)
- IT-175** Poço Amazonas n°2- Coroados (Profundidade 61 m)
- IT-176** Poço n°1- Brejo Alegre (Profundidade 210 m)
- IT-177** Poço n°1- Rubiácea (Profundidade 145 m)
- IT-178** Poço n°2- Rubiácea (Profundidade 132 m)
- IT-179** Poço n°1- Caramuru (Profundidade 126 m)
- IT-180** Poço n°1- Bento de Abreu (Profundidade 115 m)
- IT-181** Poço n°10 DAEE- Lins (Profundidade 937 m)
- IT-182** Poço n°1- Lins (Profundidade 150 m)
- IT-183** Poço n°9- Lins (Profundidade 160 m)

Continuação/Identificação dos locais de amostragem

- IT-184** Poço nº5- Lins (Profundidade 170 m)
- IT-185** Poço nº2- Nova Granada (Profundidade 120 m)
- IT-186** Poço nº5- Nova Granada (Profundidade 210 m)
- IT-187** ETA Nova Granada
- IT-188** Poço nº1- Mangaratu (Profundidade 85 m)
- IT-189** Poço nº2- Onda Branca (Profundidade 152 m)
- IT-190** Poço nº5-Cajobi (Profundidade 123 m)
- IT-191** Poço nº6 - Cajobi (Profundidade 133 m)
- IT-192** Poço nº1 - Monte Verde Paulista (Profundidade 124 m)
- IT-193** Poço nº1 - Embaúba (Profundidade 104 m)
- IT-194** Poço nº1 - Palmares Paulista (Profundidade 90 m)
- IT-195** Poço nº4 - Palmares Paulista (Profundidade 120 m)
- IT-196** Poço nº2 - Candido Rodrigues (Profundidade 152 m)
- IT-197** Poço nº5 - Candido Rodrigues (Profundidade 156 m)
- IT-198** Poço nº1 - Agulha (Profundidade 157 m)
- IT-199** Poço Rua Pedro Paulo Foggi - F.Prestes (Profundidade 157 m)
- IT-200** Manancial Superior - Dreno - Monte Alto - Sistema Trevo
- IT-201** Poço nº1 - Monte Alto (Profundidade 147 m)
- IT-202** Poço nº2 - Aparecida Monte Alto (Profundidade 145 m)
- IT-203** Poço nº2 - Santa Ernestina (Profundidade 117 m)
- IT-204** Poço nº6 - Santa Ernestina (Profundidade 234 m)
- IT-205** Poço nº1 - Ibitirama (Profundidade 140 m)
- IT-206** ETA Novo Horizonte - Manancial Superficial
- IT-207** Poço nº1 - Novo Horizonte - DAEE (Profundidade 600 m)
- IT-208** Poço nº1 - Vale Formoso (Profundidade 122 m)
- IT-209** Poço nº1 - Adolfo (Profundidade 75 m)
- IT-210** Poço nº3 - Irapuã (Profundidade 150 m)

Continuação/Identificação dos locais de amostragem**IT-211** ETA Ibirá**IT-212** Poço nº1 - Vila Ventura (Profundidade 100 m)**UNIDADE DE NEGÓCIO BAIXADA SANTISTA - LB****LB-1** Posto de cloração Rio Branco**LB-2** Posto de cloração Jardim Melvi**LB-3** Posto de cloração Poço das Antas**LB-4** Posto de cloração Moenda Matão**LB-5** ETA - Mambú**LB-6** Guaráu 2 - Barragem**LB-7** Peruíbe - Captação São João**LB-8** Peruíbe - Captação Cabuçu**LB-9** ETA 3 - Cubatão - Barragem Subalvea**LB-10** ETA 3 - Cubatão - Barragem Billings**LB-11** Posto de cloração - Piassaguera**LB-12** Barragem Caruará**LB-13** Posto de cloração Bertioiga**UNIDADE DE NEGÓCIO LITORAL NORTE - LN****LN-14** Posto de cloração Barra do Una**LN-15** Posto de cloração Juqueí - São Sebastião**LN-16** Barragem Boissucanga**LN-17** Barragem Maresias**LN-18** Barragem de Pauba**LN-19** Barragem Toque-Toque Grande

Continuação/Identificação dos locais de amostragem

- LN-20** ETA Guaecá
- LN-21** Barragem São Francisco
- LN-22** Barragem Água Branca - Ilha Bela
- LN-23** Barragem da Armação - Ilha Bela
- LN-24** Barragem Pombo - Ilha Bela
- LN-25** Barragem Rio Mococa - Massaguaçu
- LN-26** Barragem Rio Guaxinduba
- LN-27** Captação do Rio do Ouro
- LN-28** Barragem do Rio Claro
- LN-29** Captação de Itamambuca
- LN-30** Captação dos Macacos
- LN-31** Captação do Sertão da Quina
- LN-32** Praia Vermelha do Sul - Rua 14
- LN-33** Praia Vermelha do Sul - Rua 11

UNIDADE DE NEGÓCIO VALE DO RIBEIRA - LR

- LR-34** Captação Jacupiranga
- LR-35** Captação Cajati
- LR-36** Poço profundo Barra do Azeite
- LR-37** ETA Juquiá - Captação
- LR-38** ETA Juquiá - Barragem
- LR-39** Captação Miracatu
- LR-40** Captação Pedro de Toledo
- LR-41** ETA Itariri
- LR-42** Captação Ana Dias
- LR-43** ETA Oliveira Barros
- LR-44** ETA Sete Barras

Continuação/Identificação dos locais de amostragem

- LR-45** Poço profundo Ribeirão da Serra
- LR-46** ETA Eldorado
- LR-47** Poço profundo Barra do Braço
- LR-48** ETA Iporanga
- LR-49** Poço profundo Bairro da Serra
- LR-50** ETA Barra do Turvo
- LR-51** ETA de Registro
- LR-52** Poço profundo Barra do Engano
- LR-53** ETA Juquitiba
- LR-54** Poço profundo São Lourenço da Serra
- LR-55** ETA Pariquerá Açú
- LR-56** ETA Itapitangui
- LR-57** Captação Rio Ariri
- LR-58** Captação de Iguape
- LR-59** Poço profundo Musácea
- LR-60** Barragem de Pedro Barros
- LR-61** Poço profundo Martim Afonso
- LR-62** Captação Colonização
- LR-63** Captação Bairro do Turvo
- LR-64** Poço profundo de Tapiraí (Profundidade 150 m)
- LR-65** Poço profundo Arapongal (Profundidade 162 m)
- LR-213** Poço nº1 - Santa Rita (Profundidade 81 m)
- LR-214** Poço nº1 - Barra do Engano (Profundidade 130 m)
- LR-215** Poço nº1 - Bairro Barnabés (Profundidade 150 m)
- LR-216** Poço nº2 - Bairro Barnabés (Profundidade 150 m)
- LR-217** Poço nº1 - Senhorinha (Profundidade 125 m)
- LR-218** Poço nº1 - Bairro das Palmeiras (Profundidade 157 m)
- LR-219** Poço nº1 - Bairro Paiol do Meio (Profundidade 150 m)

Continuação/Identificação dos locais de amostragem**UNIDADE DE NEGÓCIO MÉDIO TIETÊ - IM**

- IM-133** Poço nº2- Araçoiabinha (Profundidade 200 m)
- IM-134** Poço nº4- Araçoiabinha (Profundidade 180 m)
- IM-135** Poço nº3- George Oetterer (Profundidade 220 m)
- IM-136** Poço nº1- George Oetterer (Profundidade 152 m)
- IM-137** Poço nº1- Bacaetava (Profundidade 181 m)
- IM-138** Poço nº4- Iperó (Profundidade 282 m)
- IM-139** Poço nº2- Iperó (Profundidade 280 m)
- IM-140** Poço nº6- Iperó (Profundidade 355 m)
- IM-327** Poço nº1 – Cataneo Ângelo – São Manuel (Profundidade 100 m)
- IM-328** Captação Paraíso – São Manuel
- IM-329** Poço nº2 – São Manuel (Profundidade 386 m)
- IM-330** Poço nº2 – Aparecida de São Manuel (Profundidade 120 m)
- IM-331** Poço nº1 – Pratania (Profundidade 60 m)
- IM-332** Poço nº5 – Areiópolis (Profundidade 356 m)
- IM-333** Poço nº2 – Macatuba (Profundidade 228 m)
- IM-334** Poço nº9 – Pederneiras (Profundidade 298 m)
- IM-335** Poço nº1 – Distrito Vanglória (Profundidade 170 m)
- IM-336** Poço nº1 – Distrito Guaianas (Profundidade 120 m)
- IM-337** Poço nº1 – Distrito Santelmo (Profundidade 150 m)
- IM-338** Poço nº1 – Distrito Lago dos Paturis (Profundidade 96 m)
- IM-339** Poço nº1 – Boracéia (Profundidade 200 m)
- IM-340** Poço nº2 – Arealva (Profundidade 126 m)
- IM-341** Mina – Distrito Marilândia
- IM-342** Poço nº1 – Distrito Jacuba (Profundidade 114 m)
- IM-343** Poço R. Assis de Vasconcelos – Bocaina (Profundidade 312 m)

Continuação/Identificação dos locais de amostragem

IM-344 Mina – Distrito de Alexandrino

IM-345 Poço nº6 – Dourado (Profundidade 294 m)

IM-346 Poço nº1 – Distrito de Santa Clara (Profundidade 80 m)

UNIDADE DE NEGÓCIO BAIXO PARANAPANEMA - IB

IB-220 Poço Av.Nishiro Shiguematsu - Campinal (Profundidade 81 m)

IB-221 ETA - Presidente Epitácio

IB-222 Poço nº1 - Piquerobi (Profundidade 221 m)

IB-223 Poço nº17 -Santo Anastácio (Profundidade 188 m)

IB-224 Poço nº15 - Santo Anastácio (Profundidade 196 m)

IB-225 Poço nº18 - Santo Anastácio (Profundidade 217 m)

IB-226 Poço nº1 - Ribeirão dos Índios (Profundidade 151 m)

IB-227 Poço nº11 - Presidente Bernardes (Profundidade 242 m)

IB-228 Poço nº6 - Presidente Bernardes (Profundidade 250 m)

IB-229 Poço nº1 - Nova Pátria (Profundidade 252 m)

IB-230 Poço nº1 - Araxans (Profundidade 170 m)

IB-231 Poço nº1 - Emilianópolis (Profundidade 116 m)

IB-232 Poço nº1 - Santo Expedito (Profundidade 230 m)

IB-233 Poço nº3 - Alfredo Marcondes (Profundidade 210 m)

IB-234 Poço nº8 - Álvares Machado (Profundidade 260 m)

IB-235 Poço nº10 - Álvares Machado (Profundidade 110 m)

IB-236 Poço nº1 - Coronel Goulart (Profundidade 231 m)

IB-237 Poço nº2 - Rosana (Profundidade 122 m)

IB-238 Poço nº4 - Rosana (Profundidade 200 m)

Continuação/Identificação dos locais de amostragem

- IB-239** Poço nº1 - Santa Rita do Pontal (Profundidade 105 m)
- IB-240** Poço nº2 – Euclides da Cunha Paulista (Profundidade 101 m)
- IB-241** Poço nº4 – Teodoro Sampaio (Profundidade 160 m)
- IB-242** Poço nº1 – Planalto do Sul (Profundidade 199 m)
- IB-243** Poço nº1 – Itororó do Paranapanema (Profundidade 151 m)
- IB-244** Poço nº2 – Estrela do Norte (Profundidade 169 m)
- IB-245** Poço nº1 – Narandiba (Profundidade 217 m)
- IB-246** Poço nº1 – Tarabaí (Profundidade 236 m)
- IB-247** Poço nº5 – Pirapozinho (Profundidade 229 m)
- IB-248** Poço nº10 – Pirapozinho (Profundidade 264 m)
- IB-249** Poço nº8 – Pirapozinho (Profundidade 279 m)
- IB-250** Poço nº1 – Montalvão (Profundidade 201 m)
- IB-251** Poço nº1 – Floresta do Sul (Profundidade 145 m)
- IB-252** Poço nº1 – Eneida (Profundidade 200 m)
- IB-253** Poço nº1 – Ameliópolis (Profundidade 202 m)
- IB-254** Poço nº2 – Presidente Prudente (Profundidade 1.795 m)
- IB-255** Poço nº1 – Presidente Prudente (Profundidade 1.800 m)
- IB-256** Poço nº1 – Presidente Prudente (Profundidade 204 m)
- IB-257** Captação do Rio Santo Anastácio
- IB-258** Captação do Balneário
- IB-259** Poço nº11 – Presidente Prudente (Profundidade 223 m)
- IB-260** Poço nº6 – Presidente Prudente (Profundidade 184 m)
- IB-261** Poço nº3 – Presidente Prudente (Profundidade 222 m)
- IB-262** Poço nº1 – Taciba (Profundidade 110 m)
- IB-263** Poço nº1 – Anhumas (Profundidade 180 m)
- IB-264** Poço nº11 – Regente Feijó (Profundidade 251 m)
- IB-265** Poço nº9 – Regente Feijó (Profundidade 251 m)

Continuação/Identificação dos locais de amostragem

- IB-266** Poço nº8 – Regente Feijó (Profundidade 201 m)
- IB-267** Poço nº1 – Bairro do Espigão (Profundidade 180 m)
- IB-268** Poço nº2 – Caiabu (Profundidade 190 m)
- IB-269** Poço nº1 – Distrito de Iubatinga (Profundidade 267 m)
- IB-270** Poço nº1 – Santa Mercedes (Profundidade 160 m)
- IB-271** Poço nº1 – Terra Nova D'Oeste (Profundidade 198 m)
- IB-272** Poço nº1 – Nova Guataporanga (Profundidade 94 m)
- IB-273** Poço nº2 – Flora Rica (Profundidade 146 m)
- IB-274** Poço nº1 – Indaiá do Aguapeí (Profundidade 81 m)
- IB-275** Poço nº2 – Atlântida (Profundidade 155 m)
- IB-276** Poço nº2 – Flórida Paulista (Profundidade 85 m)
- IB-277** Poço nº6 – Flórida Paulista (Profundidade 250 m)
- IB-278** Poço nº10 – Flórida Paulista (Profundidade 280 m)
- IB-279** Poço nº1 – Mariápolis (Profundidade 200 m)
- IB-280** Poço nº1 – Mourão (Profundidade 138 m)
- IB-281** Poço nº11 – Adamantina (Profundidade 300 m)
- IB-282** Poço nº10 – Adamantina (Profundidade 215 m)
- IB-283** Poço nº17 – Adamantina (Profundidade 301 m)
- IB-284** Poço nº1 – Lagoa Seca (Profundidade 120 m)
- IB-285** Poço nº1 – Pracinha (Profundidade 166 m)
- IB-286** Poço nº4 – Lucélia (Profundidade 154 m)
- IB-287** Poço nº10 – Lucélia (Profundidade 184 m)
- IB-288** ETA Santópolis do Aguapeí
- IB-289** Poço nº1 – Piacatu (Profundidade 136 m)
- IB-290** Poço nº5 – Parapuã (Profundidade 180 m)
- IB-291** Poço nº3 – Parapuã (Profundidade 150 m)
- IB-292** Poço nº1 – Lagoa Azul (Profundidade 150 m)

Continuação/Identificação dos locais de amostragem

- IB-293** Poço nº6 – Salmourão (Profundidade 200 m)
- IB-294** ETA Oswaldo Cruz
- IB-295** Poço Av. Francisco Pereira – Sagres (Profundidade 150 m)
- IB-296** Poço nº3 – Inúbia Paulista (Profundidade 261 m)
- IB-297** Poço nº1 – Queiroz (Profundidade 144 m)
- IB-298** Poço nº1 – Luiziana (Profundidade 183 m)
- IB-299** Poço nº5 Luiziana (Profundidade 252 m)
- IB-300** Poço nº3 – Álvaro de Carvalho (Profundidade 200 m)
- IB-301** Poço nº1 – Borá (Profundidade 6 m)
- IB-302** Poço nº3 – Quatá (Profundidade 144 m)
- IB-303** Poço nº1 – Bastos (Profundidade 240 m)
- IB-304** Poço nº3 – Iacri (Profundidade 145 m)
- IB-305** Poço nº1 – Distrito Universo (Profundidade 123 m)
- IB-306** Poço nº1 – Distrito Varpa (Profundidade 160 m)
- IB-307** Poço nº1 – Distrito Parnaso (Profundidade 151 m)
- IB-308** Poço nº1 – Distrito de Arco-Íris (Profundidade 142 m)
- IB-309** Poço nº2 – Parque Universitário – Tupã (Profundidade 132 m)
- IB-310** Poço nº25 – Parque Industrial – Tupã (Profundidade 222 m)
- IB-311** Poço nº1 – Vila Indústria – Tupã (Profundidade 108 m)
- IB-312** Poço nº59 – Vila Inglesa – Tupã (Profundidade 178 m)
- IB-313** Poço nº1 – Parque Ipiranga – Tupã (Profundidade 162 m)
- IB-314** Poço Vila Marabá – Tupã (Profundidade 1.479 m)
- IB-315** Poço nº1 – Maracá (Profundidade 65 m)
- IB-316** Poço nº1 – Santa Cruz da Boa Vista (Profundidade 182 m)
- IB-317** Poço nº1 – São José das Laranjeiras (Profundidade 122 m)
- IB-318** Poço nº1 – Cruzália (Profundidade 154 m)
- IB-319** Poço nº1 – Pedrinhas Paulista (Profundidade 150 m)

Continuação/Identificação dos locais de amostragem

IB-320 Poço nº2 – Florínea (Profundidade 151 m)

IB-321 Poço nº5 – Tarumã (Profundidade 124 m)

IB-322 ETA Assis

IB-323 Mina - Lutécia

IB-324 Mina – Oscar Bressane

IB-325 Mina – Echaporã(Capt. Mandaguari)

IB-326 Poço nº1 - Platina (Profundidade 74 m)

UNIDADE DE NEGÓCIO ALTO PARANAPANEMA - IA

IA-347 ETA Ribeira

IA-348 Poço nº2 – Itapirapuã Paulista (Profundidade 118 m)

IA-349 Barragem Ribeirão da Várzea

IA-350 ETA Apiaí

IA-351 Barragem Distrito Araçaíba

IA-352 Poço nº1 – Bairro Lageado do Araçaíba (Profundidade 150 m)

IA-353 Poço nº1 – Encapoeirado (Profundidade 180 m)

IA-354 Barragem Ponte Alta

IA-355 Poço nº2 – Barra do Chapéu (Profundidade 160 m)

IA-356 Barragem Morro Agudo

IA-357 Barragem Bairro do Pavão

IA-358 Barragem Itaoca

IA-359 Barragem Caximba

IA-360 Barragem Fazendinha

IA-361 ETA Guapiará

IA-362 Poço nº1 – Bairro Elias (Profundidade 100 m)

IA-363 Poço nº1 – Distrito Monjolado (Profundidade 108 m)

Continuação/Identificação dos locais de amostragem

- IA-364** Poço nº1 – Distrito Capuavada (Profundidade 126 m)
- IA-365** ETA Ribeirão Branco
- IA-366** Poço nº1 – Bairro Campina de Fora (Profundidade 124 m)
- IA-367** Poço nº1 – Bairro Alto do Brancal (Profundidade 150 m)
- IA-368** Poço nº1 – Bairro do Itaboa (Profundidade 135 m)
- IA-369** ETA Nova Campina
- IA-370** ETA II Pilão(Itapeva)
- IA-371** ETA I Córrego Aranha (Itapeva)
- IA-372** Poço nº1 – Sarapuí (Profundidade 152 m)
- IA-373** Poço nº1 – Ressaca (Profundidade 200 m)
- IA-374** Poço nº1 – Bairro dos Cocais (Profundidade 177 m)
- IA-375** ETA Pilar do Sul
- IA-376** ETA São Miguel Arcanjo
- IA-377** Manancial superficial – Bairro Turvinho

APÊNDICE E

Determinação dos parâmetros físico-químicos pH, temperatura do ar (Tar), temperatura da água (Tágua), condutividade (COND.) e sólidos totais dissolvidos (STD) nas amostras de água de abastecimento do Estado de São Paulo.

TABELA 1-E. Determinação dos parâmetros físico-químicos pH, temperatura do ar (Tar), temperatura da água (Tágua), condutividade (COND.) e sólidos totais dissolvidos (STD) nas amostras de água de abastecimento do Estado de São Paulo.

LOCAL	pH	Tar (°C)	Tágua (°C)	COND. (µS/cm)	STD (mg/L)
IV-1	6,8	27,0	21,0	54	35
IV-2	7,6	28,0	22,0	70	46
IV-3	6,9	28,0	22,0	54	35
IV-4	6,8	28,0	21,0	56	36
IV-6	6,8	27,0	22,0	103	67
IV-7	8,5	27,0	23,0	409	266
IV-8	8,3	26,0	23,0	172	112
IV-9	7,4	27,0	22,0	39	25
IV-10	7,5	27,0	17,0	35	23
IV-11	6,7	27,0	22,0	243	158
IV-12	7,2	28,0	21,0	18	12
IV-13	6,8	26,0	21,0	17	11
IV-14	8,4	28,0	23,0	264	172
IV-15A	6,7	28,0	23,0	24	16
IV-15B	6,7	28,0	22,0	24	16
IV-16	6,8	29,0	22,0	42	27
IV-17	7,2	29,0	22,0	78	51
IV-18	6,8	29,0	21,0	96	62
IV-19	6,8	29,0	22,0	52	34

Continuação/TABELA 1-E.

LOCAL	pH	Tar (°C)	Tágua (°C)	COND. (μ S/cm)	STD (mg/L)
IV-20	5,2	30,0	22,0	33	22
IV-21	6,7	30,0	22,0	52	34
IV-22	6,4	30,0	21,0	172	112
IV-23	7,0	30,0	22,0	23	15
IV-24	7,8	26,0	24,0	0,5	0,3
IV-25	7,7	26,0	24,0	160	104
IV-26	6,2	24,0	19,0	33	22
IT-1	8,8	30,0	22,8	152	99
IT-2	7,4	25,0	26,0	153	100
IT-3	7,9	26,0	26,0	128	83
IT-4	9,0	31,0	34,0	0,4	0,3
IT-5	9,3	33,0	50,0	0,5	0,3
IT-6	9,3	33,0	53,0	0,5	0,3
IT-7	7,8	32,0	27,0	0,3	0,2
IT-8	9,1	32,5	27,0	175	114
IT-10	8,9	32,0	26,5	0,3	0,2
IT-11	7,6	35,0	28,0	0,4	0,3
IT-12	9,0	35,0	27,5	0,3	0,2
IT-13	7,1	34,0	33,0	77	50

Continuação/TABELA 1-E.

LOCAL	pH	Tar (°C)	Tágua (°C)	COND. (µS/cm)	STD (mg/L)
IT-14	7,5	36,5	27,5	0,3	0,2
IT-15	9,4	36,5	27,0	0,5	0,3
IT-16	7,2	36,0	27,0	0,3	0,2
IT-17	6,8	36,0	28,0	0,3	0,2
IT-18	6,8	35,0	26,0	135	88
IT-19	7,7	35,0	26,0	0,3	0,2
IT-20	8,9	34,0	26,0	188	122
IT-21	7,3	25,0	24,0	0,3	0,2
IT-22	9,6	25,0	24,0	0,4	0,2
IT-23	9,3	25,0	27,0	0,3	0,2
IT-24	6,6	31,0	24,0	168	109
IT-25	7,6	31,0	26,0	0,3	0,2
IT-26	7,0	32,0	26,0	181	118
IT-27	7,4	34,0	24,0	0,2	0,1
IT-28	7,4	35,0	27,0	177	115
IT-29	5,8	32,0	25,0	57	37
IT-30	7,4	35,0	26,0	163	106
IT-31	8,2	35,0	24,0	120	78
IT-32	7,8	33,0	25,0	0,3	0,2

Continuação/TABELA 1-E.

LOCAL	pH	Tar (°C)	Tágua (°C)	COND. (μS/cm)	STD (mg/L)
IT-33	6,9	34,0	26,0	0,6	0,4
IT-34	6,4	32,0	26,0	0,2	0,1
IT-35	8,1	30,0	46,0	0,4	0,3
IT-36	7,2	30,0	25,0	0,4	0,2
IT-37	9,1	30,0	45,0	0,3	0,2
IT-38	6,6	37,0	24,0	88	57
IT-39	7,1	37,0	24,0	118	76
IT-40	6,5	37,0	26,0	92	60
IT-41	6,6	37,0	25,0	104	68
IT-42	7,5	38,0	26,0	157	102
IT-43	7,7	38,0	26,0	158	103
IT-44	7,0	38,0	26,0	144	94
IT-45	8,7	34,0	25,0	0,9	0,6
IT-46	8,7	39,0	25,0	0,2	0,1
IT-47	8,2	35,0	24,0	0,2	0,2
IT-48	9,6	37,0	24,0	0,3	0,2
IT-49	9,2	37,0	24,0	0,3	0,2
IT-50	7,8	37,0	26,0	188	122
LB-1	6,8	23,0	18,0	31	20

Continuação/TABELA 1-E.

LOCAL	pH	Tar (°C)	Tágua (°C)	COND. (µS/cm)	STD (mg/L)
LB-2	7,1	24,0	20,5	28	18
LB-3	6,7	21,0	20,0	36	23
LB-4	6,6	23,0	19,1	43	28
LB-5	7,2	23,0	17,1	19	12
LB-6	7,3	19,0	18,3	46	30
LB-7	7,3	20,0	18,7	84	55
LB-8	7,4	19,0	17,3	31	20
LB-9	7,2	24,0	18,5	44	29
LB-10	7,7	23,0	20,1	170	111
LB-11	7,2	22,5	18,4	28	18
LB-12	7,3	20,0	19,3	33	21
LB-13	7,1	24,5	18,7	35	23
LN-14	7,2	26,0	22,3	44	28
LN-15	7,4	14,0	18,9	31	20
LN-16	6,8	20,0	20,3	48	31
LN-17	7,3	18,0	18,0	30	20
LN-18	7,2	20,0	20,3	58	38
LN-19	7,3	20,0	19,1	41	27
LN-20	7,5	20,0	18,8	52	34

Continuação/TABELA 1-E.

LOCAL	pH	Tar (°C)	Tágua (°C)	COND. (μS/cm)	STD (mg/L)
LN-21	7,3	22,0	19,2	49	32
LN-22	7,2	17,0	17,7	37	24
LN-23	7,9	18,0	18,7	103	67
LN-24	7,5	18,0	18,2	33	22
LN-25	7,4	19,0	18,2	26	17
LN-26	7,1	20,0	17,7	21	14
LN-27	6,7	23,0	20,7	36	24
LN-28	7,2	25,0	18,6	35	23
LN-29	7,1	17,0	18,3	32	21
LN-30	7,1	15,0	17,2	51	33
LN-31	6,7	18,5	18,0	35	23
LN-32	6,8	22,0	18,5	42	27
LN-33	6,8	20,0	18,8	37	24
LR-34	6,8	18,0	19,0	66	43
LR-35	8,0	18,0	19,2	41	26
LR-36	7,6	17,0	22,0	330	215
LR-37	7,1	19,0	20,3	38	25
LR-38	7,3	19,0	20,3	38	25
LR-39	7,0	21,0	20,9	34	22

Continuação/TABELA 1-E.

LOCAL	pH	Tar (°C)	Tágua (°C)	COND. (µS/cm)	STD (mg/L)
LR-40	7,6	24,0	22,9	79	52
LR-41	7,4	21,0	20,8	48	31
LR-42	7,2	23,0	21,0	32	21
LR-43	7,6	20,0	20,6	68	44
LR-44	8	17,0	19,9	77	50
LR-45	7,3	20,0	23,4	200	130
LR-46	7,8	22,0	21,0	97	63
LR-47	7,2	25,0	24,7	183	119
LR-48	8,3	26,0	22,6	109	71
LR-49	8,1	24,0	21,7	207	135
LR-50	8,2	20,0	20,7	93	60
LR-51	7,6	24,0	22,5	70	46
LR-52	6,6	20,0	21,1	177	115
LR-53	6,5	20,0	18,3	28	18
LR-54	6,5	20,0	22,3	146	95
LR-55	6,9	16,0	18,0	62	41
LR-56	6,8	18,0	18,0	41	30
LR-57	6,4	20,0	18,8	59	38
LR-58	6,9	19,0	18,8	68	44

Continuação/TABELA 1-E.

LOCAL	pH	Tar (°C)	Tágua (°C)	COND. (µS/cm)	STD (mg/L)
LR-59	7,7	18,0	23,7	325	211
LR-60	7,7	18,0	19,1	80	52
LR-61	7,1	19,0	23,1	223	145
LR-62	7,2	21,0	19,9	52	34
LR-63	6,9	21,0	16,7	23	15
LR-64	6,5	21,0	20,6	74	48
LR-65	6,9	17,0	22,4	149	100
IV-66	6,6	21,0	21,0	19	12
IV-67	7,1	26,0	24,0	64	42
IV-68	7,2	24,0	23,0	311	202
IV-69	7,6	24,0	20,0	78	50
IV-70	5,7	23,0	24,0	40	26
IV-71	7,0	22,0	18,3	21	14
IV-72	6,8	25,0	20,5	29	19
IV-73	6,8	29,0	20,5	35	23
IV-74	6,8	23,0	23,1	173	112
IV-75	7,5	23,0	22,1	44	29
IV-76	7,9	25,0	27,1	23	15
IV-77	8,5	24,0	25,8	260	169

Continuação/TABELA 1-E.

LOCAL	pH	Tar (°C)	Tágua (°C)	COND. (µS/cm)	STD (mg/L)
IV-78	6,7	22,0	18,0	20	13
IV-79	7,1	23,0	17,5	14	9
IV-80	7,2	25,0	18,0	32	21
IV-81	6,6	11,0	13,7	13	8
IV-82	6,5	11,0	12,6	9,9	6,4
IV-83	7,2	17,0	17,9	29	19
IV-84	7,1	18,0	17,2	21	14
IV-85	6,8	13,0	16,6	20	13
IV-86	8,1	18,0	22,1	176	114
IV-87	7,1	20,0	19,8	30	20
IV-88	6,5	20,0	22,7	113	73
IV-89	7,8	20,0	21,4	210	137
IV-90	6,6	25,0	24,4	215	140
IV-91	4,5	25,0	22,0	44	29
IV-92	7,2	30,0	22,0	–	–
IV-93	6,8	29,0	23,0	–	–
IV-94	6,9	25,0	23,0	–	–
IV-95	6,4	24,0	22,5	–	–
IT-96	7,9	30,0	24,4	119	77

Continuação/TABELA 1-E.

LOCAL	pH	Tar (°C)	Tágua (°C)	COND. (μS/cm)	STD (mg/L)
IT-97	10,1	32,0	29,1	931	605
IT-98	8,6	33,5	27,8	140	91
IT-99	8,6	34,0	27,7	152	99
IT-100	7,9	34,0	27,7	403	262
IT-101	8,6	37,0	28,9	189	123
IT-102	8,2	36,0	27,1	158	103
IT-103	8,9	35,5	27,5	153	99
IT-104	10,4	35,0	28,2	360	234
IT-105	8,4	35,0	27,0	172	112
IT-106	8,2	34,0	27,2	305	199
IT-107	8,1	32,0	26,6	383	249
IT-108	6,5	29,0	28,2	93	60
IT-109	9,0	22,0	25,0	139	91
IT-110	9,3	24,0	24,5	148	96
IT-111	7,1	26,0	25,7	320	208
IT-112	9,5	23,0	25,5	219	142
IT-113	9,9	27,0	25,4	229	150
IT-114	8,7	30,0	26,0	196	128
IT-115	8,0	33,0	25,9	169	110

Continuação/TABELA 1-E.

LOCAL	pH	Tar (°C)	Tágua (°C)	COND. (µS/cm)	STD (mg/L)
IT-116	9,8	33,0	26,3	197	128
IT-117	7,5	32,0	25,3	70	45
IT-118	7,8	32,0	26,6	170	110
IT-119	7,1	30,0	26,7	118	77
IT-120	7,2	27,0	24,3	81	53
IT-121	7,3	26,0	25,4	200	130
IT-122	9,9	29,0	27,4	391	254
IT-123	8,0	31,0	25,6	135	88
IT-124	9,7	31,0	28,9	271	176
IT-125	9,0	33,0	29,0	129	84
IT-126	7,8	24,5	28,0	604	393
IT-127	8,0	31,0	26,0	227	148
IT-128	7,8	34,0	26,2	181	118
IT-129	10,0	34,5	28,4	465	302
IT-130	8,9	33,0	27,0	165	108
IT-131	7,4	28,5	26,0	267	174
IT-132	9,6	29,0	26,6	236	153
IM-133	8,1	27,0	27,6	214	139
IM-134	8,4	28,0	27,2	247	161

Continuação/TABELA 1-E.

LOCAL	pH	Tar (°C)	Tágua (°C)	COND. (μS/cm)	STD (mg/L)
IM-135	8,3	27,0	26,9	219	142
IM-136	8,8	31,0	25,3	238	155
IM-137	8,2	25,0	24,4	308	200
IM-138	8,1	21,0	27,1	276	180
IM-139	7,5	19,0	25,2	450	293
IM-140	9,0	20,0	26,1	794	516
IT-141	7,7	33,0	27,6	217	141
IT-142	7,8	36,0	26,7	160	104
IT-143	6,9	33,0	27,4	164	107
IT-144	7,5	31,0	28,3	160	104
IT-145	6,7	31,0	28,7	41	27
IT-146	6,6	32,0	27,2	248	161
IT-147	7,0	34,0	27,2	75	49
IT-148	5,0	35,0	28,3	146	95
IT-149	8,5	30,0	29,5	270	176
IT-150	6,3	30,0	30,2	79	51
IT-151	6,0	29,0	26,7	238	155
IT-152	5,6	33,0	27,3	149	97
IT-153	5,9	31,0	26,3	183	119

Continuação/TABELA 1-E.

LOCAL	pH	Tar (°C)	Tágua (°C)	COND. (µS/cm)	STD (mg/L)
IT-154	7,1	29,0	25,9	183	119,2
IT-155	7,3	28,0	25,8	104	67
IT-156	6,1	30,0	26,4	151	98
IT-157	6,3	30,0	26,4	164	107
IT-158	6,1	32,0	27,9	147	96
IT-159	6,6	31,0	26,9	151	98
IT-160	9,0	29,0	30,3	330	215
IT-161	9,0	30,0	27,2	345	224
IT-162	8,8	27,0	26,7	361	235
IT-163	8,2	17,0	21,6	213	139
IT-164	9,0	20,0	24,4	233	152
IT-165	5,1	19,0	23,1	88	57
IT-166	5,1	20,0	23,8	79	51
IT-167	5,0	24,0	22,6	141	91
IT-168	5,4	19,0	23,7	93	60
IT-169	8,9	18,0	24,0	384	250
IT-170	9,0	18,0	24,5	397	258
IT-171	7,6	20,0	23,8	172	112
IT-172	6,7	20,0	24,2	197	128

Continuação/TABELA 1-E.

LOCAL	pH	Tar (°C)	Tágua (°C)	COND. (μS/cm)	STD (mg/L)
IT-173	6,2	22,0	24,7	262	170
IT-174	5,2	25,0	27,3	144	94
IT-175	4,7	26,0	26,3	14	9,4
IT-176	8,4	25,0	26,3	411	267
IT-177	5,0	24,0	26,4	60	39
IT-178	5,4	24,0	26,3	143	93
IT-179	5,6	23,0	25,1	75	48
IT-180	5,0	21,0	24,8	134	87
IT-181	10,0	20,0	34,6	479	311
IT-182	10,2	21,0	38,4	452	294
IT-183	10,1	21,0	26,8	323	210
IT-184	7,2	23,0	26,5	258	168
IT-185	8,0	28,0	26,2	267	174
IT-186	9,5	28,0	26,2	149	97
IT-187	8,2	28,0	29,0	67	44
IT-188	8,8	30,0	28,4	118	77
IT-189	7,3	30,0	27,2	38	25
IT-190	7,4	23,0	24,0	150	98
IT-191	7,9	26,0	25,0	200	130

Continuação/TABELA 1-E.

LOCAL	pH	Tar (°C)	Tágua (°C)	COND. (µS/cm)	STD (mg/L)
IT-192	7,1	27,0	26,0	300	195
IT-193	7,0	22,0	25,0	200	130
IT-194	7,3	22,0	24,0	220	143
IT-195	8,4	23,0	25,0	180	117
IT-196	7,6	22,0	24,0	210	137
IT-197	7,6	21,0	25,0	200	130
IT-198	7,6	23,0	25,0	170	111
IT-199	7,5	21,0	24,0	160	104
IT-200	–	21,0	23,0	110	72
IT-201	7,4	29,0	31,0	190	124
IT-202	6,6	22,0	24,0	170	112
IT-203	6,4	20,0	24,0	150	98
IT-204	6,6	20,0	24,0	160	104
IT-205	6,7	20,0	23,0	200	130
IT-206	5,1	25,0	25,0	40	26
IT-207	6,3	24,0	33,0	370	24
IT-208	5,0	25,0	27,0	550	358
IT-209	5,3	28,0	27,0	270	176
IT-210	5,3	28,0	30,0	–	–

Continuação/TABELA 1-E.

LOCAL	pH	Tar (°C)	Tágua (°C)	COND. (µS/cm)	STD (mg/L)
IT-211	4,7	27,0	25,0	–	–
IT-212	4,5	25,0	30,0	–	–
LR-213	7,7	26,0	24,0	270	176
LR-214	7,0	22,0	21,0	210	137
LR-215	7,1	25,0	21,0	110	72
LR-216	6,9	23,0	21,0	80	52
LR-217	7,3	23,0	21,0	150	98
LR-218	7,3	23,0	22,0	150	98
LR-219	8,4	23,0	22,0	280	182
IB-220	7,7	30,0	27,0	210	137
IB-221	7,3	29,0	31,0	50	33
IB-222	8,7	29,0	25,0	180	117
IB-223	10,2	30,0	25,0	210	137
IB-224	9,6	25,0	26,0	180	117
IB-225	8,0	25,0	26,0	180	117
IB-226	8,2	23,0	24,0	130	85
IB-227	10,4	27,0	28,0	240	156
IB-228	11,0	27,0	25,0	180	117
IB-229	8,6	28,0	25,0	260	169

Continuação/TABELA 1-E.

LOCAL	pH	Tar (°C)	Tágua (°C)	COND. (µS/cm)	STD (mg/L)
IB-230	10,6	30,0	26,0	230	150
IB-231	7,1	31,0	25,0	430	280
IB-232	9,8	31,0	25,0	230	150
IB-233	10,8	31,0	25,0	180	117
IB-234	10,4	29,0	26,0	220	143
IB-235	10,8	26,0	25,0	280	182
IB-236	10,1	24,0	24,0	320	208
IB-237	7,4	34,0	28,0	340	221
IB-238	7,1	33,0	27,0	140	91
IB-239	7,3	31,0	24,0	90	59
IB-240	7,2	31,0	24,0	20	13
IB-241	7,2	28,0	23,0	30	20
IB-242	7,0	27,0	25,0	20	13
IB-243	7,3	20,0	23,0	130	85
IB-244	8,0	20,0	24,0	170	111
IB-245	5,4	23,0	25,0	110	72
IB-246	7,1	27,0	24,0	150	98
IB-247	6,8	24,0	25,0	220	143
IB-248	9,7	27,0	26,0	290	189

Continuação/TABELA 1-E.

LOCAL	pH	Tar (°C)	Tágua (°C)	COND. (µS/cm)	STD (mg/L)
IB-249	8,4	27,0	25,0	240	156
IB-250	6,6	18,0	23,0	240	156
IB-251	6,8	19,0	24,0	330	215
IB-252	6,6	19,0	25,0	470	306
IB-253	5,8	20,0	25,0	130	85
IB-254	6,6	21,0	55,0	–	–
IB-255	6,8	21,0	54,0	–	–
IB-256	7,9	21,0	26,0	280	182
IB-257	6,5	22,0	23,0	260	169
IB-258	6,2	21,0	23,0	140	91
IB-259	7,7	20,0	24,0	250	163
IB-260	6,0	20,0	25,0	330	215
IB-261	7,5	21,0	24,0	260	169
IB-262	6,1	20,0	24,0	270	176
IB-263	7,9	20,0	24,0	180	117
IB-264	7,6	20,0	25,0	190	124
IB-265	6,8	22,0	25,0	220	143
IB-266	8,3	23,0	25,0	150	98
IB-267	7,2	24,0	25,0	410	267

Continuação/TABELA 1-E.

LOCAL	pH	Tar (°C)	Tágua (°C)	COND. (µS/cm)	STD (mg/L)
IB-268	9,0	22,0	24,0	220	143
IB-269	9,2	24,0	25,0	270	176
IB-270	6,4	20,0	25,0	110	72
IB-271	7,3	21,0	25,0	160	104
IB-272	6,6	23,0	25,0	190	124
IB-273	7,6	23,0	26,0	170	111
IB-274	7,5	26,0	26,0	240	156
IB-275	7,5	21,0	25,0	510	332
IB-276	7,4	23,0	25,0	310	202
IB-277	7,6	25,0	25,0	370	241
IB-278	9,5	21,0	25,0	240	156
IB-279	8,9	18,0	22,0	220	143
IB-280	8,1	21,0	25,0	210	137
IB-281	10,2	21,0	26,0	530	345
IB-282	8,0	20,0	25,0	210	137
IB-283	10,2	21,0	29,0	590	384
IB-284	6,7	22,0	24,0	150	98
IB-285	8,5	22,0	24,0	190	124
IB-286	7,4	21,0	24,0	270	176

Continuação/TABELA 1-E.

LOCAL	pH	Tar (°C)	Tágua (°C)	COND. (μS/cm)	STD (mg/L)
IB-287	7,5	21,0	25,0	290	189
IB-288	6,9	15,0	18,0	140	91
IB-289	6,9	19,0	25,0	110	72
IB-290	6,3	19,0	25,0	150	98
IB-291	7,0	20,0	25,0	210	137
IB-292	7,7	22,0	25,0	200	130
IB-293	10,5	20,0	26,0	270	176
IB-294	7,6	22,0	20,0	130	85
IB-295	7,5	22,0	24,0	200	130
IB-296	7,3	24,0	24,0	260	169
IB-297	6,4	16,0	23,0	150	98
IB-298	10,4	18,0	25,0	420	273
IB-299	10,4	18,0	25,0	510	332
IB-300	8,3	20,0	24,0	220	143
IB-301	6,0	19,0	22,0	160	104
IB-302	6,8	12,0	20,0	280	182
IB-303	9,7	16,0	22,0	450	293
IB-304	7,1	18,0	21,0	250	163
IB-305	5,8	19,0	21,0	170	111

Continuação/TABELA 1-E.

LOCAL	pH	Tar (°C)	Táguas (°C)	COND. (µS/cm)	STD (mg/L)
IB-306	6,6	19,0	22,0	100	65
IB-307	6,6	19,0	21,0	90	59
IB-308	10,7	20,0	24,0	360	234
IB-309	7,6	22,0	22,0	150	98
IB-310	7,6	24,0	22,0	160	104
IB-311	6,5	23,0	22,0	220	143
IB-312	6,6	22,0	23,0	100	65
IB-313	7,3	19,0	22,0	160	104
IB-314	10,3	22,0	37,0	640	416
IB-315	7,2	23,0	22,0	220	143
IB-316	7,3	21,0	22,0	120	78
IB-317	7,4	22,0	22,0	90	59
IB-318	8,9	21,0	23,0	140	91
IB-319	7,5	20,0	22,0	140	91
IB-320	9,4	22,0	24,0	190	124
IB-321	7,4	17,0	21,0	150	98
IB-322	7,6	21,0	18,0	40	26
IB-323	5,9	22,0	23,5	60	39
IB-324	6,4	22,0	24,0	110	72

Continuação/TABELA 1-E.

LOCAL	pH	Tar (°C)	Tágua (°C)	COND. (μS/cm)	STD (mg/L)
IB-325	6,6	23,0	24,0	130	85
IB-326	10,0	25,0	24,0	200	130
IM-327	6,5	18,0	22,0	110	72
IM-328	7,0	19,0	18,0	80	52
IM-329	7,7	20,0	25,5	170	111
IM-330	6,5	21,0	23,0	100	65
IM-331	6,9	23,0	23,0	150	98
IM-332	8,5	25,0	27,0	140	91
IM-333	6,5	26,0	23,5	140	91
IM-334	7,3	27,0	25,0	210	137
IM-335	7,5	25,0	26,0	150	98
IM-336	8,1	20,0	24,0	220	143
IM-337	7,3	20,0	24,0	180	117
IM-338	9,0	18,0	27,5	160	104
IM-339	8,7	15,0	26,0	230	150
IM-340	7,0	15,0	23,5	330	215
IM-341	5,3	14,0	22,0	60	39
IM-342	9,7	13,0	22,0	200	130
IM-343	7,4	11,0	25,0	380	247

Continuação/TABELA 1-E.

LOCAL	pH	Tar (°C)	Tágua (°C)	COND. (µS/cm)	STD (mg/L)
IM-344	6,1	11,0	21,5	120	78
IM-345	6,8	10,0	23,0	290	189
IM-346	6,0	10,0	22,0	310	202
IA-347	8,1	25,0	20,0	100	65
IA-348	7,9	20,0	21,0	210	137
IA-349	7,5	21,0	17,0	50	33
IA-350	7,7	25,0	16,0	140	91
IA-351	8,0	15,0	17,0	120	78
IA-352	6,7	20,0	21,0	80	52
IA-353	7,9	22,0	20,0	190	124
IA-354	7,7	21,0	16,0	40	26
IA-355	7,2	24,0	21,0	170	111
IA-356	7,8	21,0	17,0	60	39
IA-357	7,6	18,0	20,0	60	39
IA-358	7,4	19,0	16,0	40	26
IA-359	6,2	13,0	14,0	30	20
IA-360	7,3	16,0	14,0	50	33
IA-361	7,9	16,0	20,0	120	78
IA-362	7,6	21,0	19,0	330	215

Continuação/TABELA 1-E.

LOCAL	pH	Tar (°C)	Tágua (°C)	COND. (μS/cm)	STD (mg/L)
IA-363	6,4	21,0	20,0	60	39
IA-364	6,8	18,0	20,0	98	64
IA-365	7,3	24,0	18,0	90	59
IA-366	8,2	18,0	20,0	160	104
IA-367	7,7	21,0	20,0	190	124
IA-368	7,2	20,0	21,0	140	91
IA-369	7,8	20,0	17,0	120	78
IA-370	7,5	22,0	20,0	70	46
IA-371	7,1	20,0	19,0	130	85
IA-372	7,7	23,0	22,0	240	156
IA-373	8,2	22,0	24,0	230	150
IA-374	7,7	27,0	23,0	260	169
IA-375	7,0	29,0	19,0	40	26
IA-376	6,3	31,0	19,0	50	33
IA-377	6,9	28,0	21,0	30	20

APÊNDICE F

Determinação de cátions e ânions específicos nas águas de abastecimento público do Estado de São Paulo/Parte 1 e Parte 2

Tabela 1-F. Determinação de cátions e ânions específicos nas águas de abastecimento público do Estado de São Paulo/Parte 1

Local	Ca²⁺ (mg/L)	Mg²⁺ (mg/L)	Fe_{total} (mg/L)	Mn²⁺ (mg/L)	Al³⁺ (mg/L)	Ba²⁺ (mg/L)	Sr²⁺ (mg/L)	Ni²⁺ (mg/L)	Pb²⁺ (mg/L)	Cu²⁺ (mg/L)	Zn²⁺ (mg/L)	Cr_{total} (mg/L)
LID	0,02	0,003	0,05	0,02	0,55	0,18	0,05	0,04	0,05	0,025	0,008	0,02
IV-66	1,4	0,36	2,0	< 0,02	1,0	< 0,18	< 0,05	< 0,04	< 0,05	< 0,025	< 0,008	< 0,02
IV-67	4,7	0,39	0,09	< 0,02	< 0,55	< 0,18	0,06	< 0,04	< 0,05	< 0,025	< 0,008	< 0,02
IV-68	52	2,8	< 0,05	< 0,02	< 0,55	< 0,18	0,35	< 0,04	< 0,05	< 0,025	< 0,008	< 0,02
IV-69	6,0	2,8	2,4	0,05	< 0,55	< 0,18	< 0,05	< 0,04	< 0,05	< 0,025	< 0,008	< 0,02
IV-70	1,0	0,60	< 0,05	< 0,02	< 0,55	< 0,18	< 0,05	< 0,04	< 0,05	< 0,025	0,030	< 0,02
IV-71	0,54	0,11	0,12	< 0,02	< 0,55	< 0,18	< 0,05	< 0,04	< 0,05	< 0,025	< 0,008	< 0,02
IV-72	2,1	1,0	1,9	0,05	< 0,55	< 0,18	< 0,05	< 0,04	< 0,05	< 0,025	< 0,008	< 0,02
IV-73	3,0	1,7	1,3	0,04	< 0,55	< 0,18	< 0,05	< 0,04	< 0,05	< 0,025	0,050	< 0,02
IV-74	24	3,8	< 0,05	< 0,02	< 0,55	< 0,18	0,13	< 0,04	< 0,05	< 0,025	< 0,008	< 0,02
IV-75	2,6	1,1	0,30	0,03	< 0,55	< 0,18	< 0,05	< 0,04	< 0,05	< 0,025	< 0,008	< 0,02
IV-76	34	8,4	0,21	0,10	< 0,55	0,41	0,56	< 0,04	< 0,05	< 0,025	0,010	< 0,02

LID = limite inferior de detecção

Continuação/Tabela 1-F. Parte 1

Local	Ca ²⁺ (mg/L)	Mg ²⁺ (mg/L)	Fe _{total} (mg/L)	Mn ²⁺ (mg/L)	Al ³⁺ (mg/L)	Ba ²⁺ (mg/L)	Sr ²⁺ (mg/L)	Ni ²⁺ (mg/L)	Pb ²⁺ (mg/L)	Cu ²⁺ (mg/L)	Zn ²⁺ (mg/L)	Cr _{Total} (mg/L)
LID	0,02	0,003	0,05	0,02	0,55	0,18	0,05	0,04	0,05	0,025	0,008	0,02
IV-77	14	1,0	< 0,05	< 0,02	< 0,55	< 0,18	0,26	< 0,04	< 0,05	< 0,025	< 0,008	< 0,02
IV-78	0,78	0,34	0,51	< 0,02	< 0,55	< 0,18	< 0,05	< 0,04	< 0,05	< 0,025	< 0,008	< 0,02
IV-79	1,1	0,31	0,09	< 0,02	< 0,55	< 0,18	< 0,05	< 0,04	< 0,05	< 0,025	< 0,008	< 0,02
IV-80	1,9	1,2	0,12	< 0,02	< 0,55	< 0,18	< 0,05	< 0,04	< 0,05	< 0,025	< 0,008	< 0,02
IV-81	1,3	0,21	0,81	< 0,02	< 0,55	< 0,18	< 0,05	< 0,04	< 0,05	< 0,025	< 0,008	< 0,02
IV-82	0,69	0,20	0,11	< 0,02	< 0,55	< 0,18	< 0,05	< 0,04	< 0,05	< 0,025	< 0,008	< 0,02
IV-83	3,5	1,1	1,3	0,07	< 0,55	< 0,18	< 0,05	< 0,04	< 0,05	< 0,025	< 0,008	< 0,02
IV-84	1,7	0,51	0,25	< 0,02	< 0,55	< 0,18	< 0,05	< 0,04	< 0,05	< 0,025	< 0,008	< 0,02
IV-85	1,4	0,46	0,69	0,03	< 0,55	< 0,18	< 0,05	< 0,04	< 0,05	< 0,025	< 0,008	< 0,02
IV-86	4,4	0,39	< 0,05	< 0,02	< 0,55	< 0,18	0,08	< 0,04	< 0,05	< 0,025	< 0,008	< 0,02
IV-87	1,7	1,1	1,9	< 0,02	< 0,55	< 0,18	< 0,05	< 0,04	< 0,05	< 0,025	< 0,008	< 0,02

LID = limite inferior de detecção

Continuação/Tabela 1-F. Parte 1

Local	Ca ²⁺ (mg/L)	Mg ²⁺ (mg/L)	Fe _{total} (mg/L)	Mn ²⁺ (mg/L)	Al ³⁺ (mg/L)	Ba ²⁺ (mg/L)	Sr ²⁺ (mg/L)	Ni ²⁺ (mg/L)	Pb ²⁺ (mg/L)	Cu ²⁺ (mg/L)	Zn ²⁺ (mg/L)	Ct _{total} (mg/L)
LID	0,02	0,003	0,05	0,02	0,55	0,18	0,05	0,04	0,05	0,025	0,008	0,02
IV-88	12	2,6	< 0,05	0,12	< 0,55	< 0,18	0,08	< 0,04	< 0,05	< 0,025	0,010	< 0,02
IV-89	20	5,1	2,4	0,05	< 0,55	< 0,18	0,16	< 0,04	< 0,05	< 0,025	2,0	< 0,02
IV-90	23	7,7	4,0	0,31	< 0,55	< 0,18	0,11	< 0,04	< 0,05	< 0,025	< 0,008	< 0,02
IV-91	1,6	0,59	1,4	0,04	< 0,55	< 0,18	< 0,05	< 0,04	< 0,05	0,030	0,040	< 0,02
IV-92	1,4	0,49	1,6	0,06	0,65	< 0,18	< 0,05	< 0,04	< 0,05	< 0,025	< 0,008	< 0,02
IV-93	5,5	0,51	< 0,05	< 0,02	< 0,55	< 0,18	< 0,05	< 0,04	< 0,05	< 0,025	< 0,008	< 0,02
IV-94	5,7	0,56	< 0,05	< 0,02	< 0,55	< 0,18	< 0,05	< 0,04	< 0,05	< 0,025	< 0,008	< 0,02
IV-95	3,6	0,58	< 0,05	< 0,02	< 0,55	< 0,18	< 0,05	< 0,04	< 0,05	< 0,025	< 0,008	< 0,02
IT-96	8,7	3,5	0,52	< 0,02	< 0,55	< 0,18	< 0,05	< 0,04	< 0,05	< 0,025	< 0,008	< 0,02
IT-97	0,98	0,02	< 0,05	< 0,02	< 0,55	< 0,18	< 0,05	< 0,04	< 0,05	< 0,025	< 0,008	< 0,02
IT-98	6,0	2,9	< 0,05	< 0,02	< 0,55	< 0,18	0,06	< 0,04	< 0,05	< 0,025	0,010	0,08

LID = limite inferior de detecção

INSTITUTO BRASILEIRO DE ENERGIA NUCLEAR - IBR
 LABORATÓRIO DE ANÁLISES QUÍMICAS
 Av. das Nações Unidas, 14.043 - CEP: 05508-900 - São Paulo, SP

Continuação/Tabela 1-F. Parte 1

Local	Ca ²⁺ (mg/L)	Mg ²⁺ (mg/L)	Fe _{total} (mg/L)	Mn ²⁺ (mg/L)	Al ³⁺ (mg/L)	Ba ²⁺ (mg/L)	Sr ²⁺ (mg/L)	Ni ²⁺ (mg/L)	Pb ²⁺ (mg/L)	Cu ²⁺ (mg/L)	Zn ²⁺ (mg/L)	Cr _{total} (mg/L)
LID	0,02	0,003	0,05	0,02	0,55	0,18	0,05	0,04	0,05	0,025	0,008	0,02
IT-99	16	5,9	< 0,05	< 0,02	< 0,55	< 0,18	0,13	< 0,04	< 0,05	< 0,025	< 0,008	0,07
IT-100	21	20	< 0,05	< 0,02	< 0,55	0,30	0,19	< 0,04	< 0,05	< 0,025	0,010	0,06
IT-101	19	7,2	< 0,05	< 0,02	< 0,55	< 0,18	0,11	< 0,04	< 0,05	< 0,025	< 0,008	0,04
IT-102	19	9,2	1,3	0,41	0,99	0,23	0,11	< 0,04	< 0,05	< 0,025	< 0,008	< 0,02
IT-103	9,3	3,7	< 0,05	< 0,02	< 0,55	< 0,18	0,10	< 0,04	< 0,05	0,040	0,290	0,07
IT-104	3,5	1,3	< 0,05	< 0,02	< 0,55	< 0,18	< 0,05	< 0,04	< 0,05	< 0,025	< 0,008	0,07
IT-105	21	7,2	< 0,05	< 0,02	< 0,55	0,25	0,19	< 0,04	< 0,05	< 0,025	< 0,008	0,04
IT-106	36	19	< 0,05	< 0,02	< 0,55	0,23	0,15	< 0,04	< 0,05	< 0,025	< 0,008	0,04
IT-107	41	16	< 0,05	< 0,02	< 0,55	0,24	0,11	< 0,04	< 0,05	< 0,025	< 0,008	< 0,02
IT-108	4,4	3,8	< 0,05	< 0,02	< 0,55	0,28	< 0,05	< 0,04	< 0,05	< 0,025	< 0,008	0,03
IT-109	6,9	2,2	< 0,05	< 0,02	< 0,55	< 0,18	0,08	< 0,04	< 0,05	< 0,025	< 0,008	0,08

LID = limite inferior de detecção

Continuação/Tabela 1-F. Parte 1

Local	Ca ²⁺ (mg/L)	Mg ²⁺ (mg/L)	Fe _{total} (mg/L)	Mn ²⁺ (mg/L)	Al ³⁺ (mg/L)	Ba ²⁺ (mg/L)	Sr ²⁺ (mg/L)	Ni ²⁺ (mg/L)	Pb ²⁺ (mg/L)	Cu ²⁺ (mg/L)	Zn ²⁺ (mg/L)	Cr _{total} (mg/L)
LID	0,02	0,003	0,05	0,02	0,55	0,18	0,05	0,04	0,05	0,025	0,008	0,02
IT-110	7,6	1,2	< 0,05	< 0,02	< 0,55	< 0,18	0,18	< 0,04	< 0,05	< 0,025	< 0,008	0,08
IT-111	14	15	< 0,05	0,42	< 0,55	1,1	0,10	0,05	< 0,05	< 0,025	0,040	< 0,02
IT-112	9,8	2,8	< 0,05	< 0,02	< 0,55	< 0,18	0,06	< 0,04	< 0,05	< 0,025	< 0,008	0,04
IT-113	1,0	0,05	< 0,05	< 0,02	< 0,55	< 0,18	< 0,05	< 0,04	< 0,05	< 0,025	< 0,008	0,06
IT-114	15	4,0	< 0,05	< 0,02	< 0,55	< 0,18	0,08	< 0,04	< 0,05	< 0,025	< 0,008	0,03
IT-115	19	7,6	< 0,05	< 0,02	< 0,55	< 0,18	0,09	< 0,04	< 0,05	< 0,025	< 0,008	< 0,02
IT-116	1,0	0,03	< 0,05	< 0,02	< 0,55	< 0,18	< 0,05	< 0,04	< 0,05	< 0,025	< 0,008	< 0,02
IT-117	7,3	3,7	1,6	1,6	< 0,55	< 0,18	< 0,05	< 0,04	< 0,05	< 0,025	< 0,008	< 0,02
IT-118	23	3,5	< 0,05	< 0,02	< 0,55	< 0,18	0,29	< 0,04	< 0,05	< 0,025	< 0,008	< 0,02
IT-119	10	5,8	< 0,05	< 0,02	< 0,55	0,21	0,08	< 0,04	< 0,05	< 0,025	< 0,008	0,06
IT-120	8,4	3,1	0,88	0,05	< 0,55	< 0,18	0,08	< 0,04	< 0,05	< 0,025	< 0,008	< 0,02

LID = limite inferior de detecção

Continuação/Tabela 1-F. Parte 1

Local	Ca ²⁺ (mg/L)	Mg ²⁺ (mg/L)	Fe total (mg/L)	Mn ²⁺ (mg/L)	Al ³⁺ (mg/L)	Ba ²⁺ (mg/L)	Sr ²⁺ (mg/L)	Ni ²⁺ (mg/L)	Pb ²⁺ (mg/L)	Cu ²⁺ (mg/L)	Zn ²⁺ (mg/L)	Cr _{total} (mg/L)
LID	0,02	0,003	0,05	0,02	0,55	0,18	0,05	0,04	0,05	0,025	0,008	0,02
IT-121	31	4,9	< 0,05	< 0,02	< 0,55	< 0,18	0,23	< 0,04	< 0,05	< 0,025	0,020	0,04
IT-122	0,49	< 0,003	< 0,05	< 0,02	< 0,55	< 0,18	< 0,05	< 0,04	< 0,05	< 0,025	< 0,008	< 0,02
IT-123	17	5,4	< 0,05	< 0,02	< 0,55	< 0,18	0,44	< 0,04	< 0,05	< 0,025	< 0,008	0,06
IT-124	3,0	1,5	< 0,05	< 0,02	< 0,55	< 0,18	< 0,05	< 0,04	< 0,05	< 0,025	< 0,008	0,07
IT-125	9,8	0,36	< 0,05	< 0,02	< 0,55	< 0,18	0,09	< 0,04	< 0,05	< 0,025	< 0,008	< 0,02
IT-126	17	5,8	< 0,05	< 0,02	< 0,55	< 0,18	0,21	< 0,04	< 0,05	< 0,025	< 0,008	0,03
IT-127	26	7,8	< 0,05	< 0,02	< 0,55	< 0,18	0,43	< 0,04	< 0,05	< 0,025	< 0,008	< 0,02
IT-128	22	5,4	< 0,05	< 0,02	< 0,55	< 0,18	0,13	< 0,04	< 0,05	< 0,025	0,010	< 0,02
IT-129	0,56	0,03	< 0,05	< 0,02	< 0,55	< 0,18	< 0,05	< 0,04	< 0,05	< 0,025	< 0,008	< 0,02
IT-130	3,3	0,20	< 0,05	< 0,02	< 0,55	< 0,18	0,08	< 0,04	< 0,05	< 0,025	< 0,008	< 0,02

LID = limite inferior de detecção

Continuação/TABELA 1-F. Parte 1

Local	Ca ²⁺ (mg/L)	Mg ²⁺ (mg/L)	Fe _{total} (mg/L)	Mn ²⁺ (mg/L)	Al ³⁺ (mg/L)	Ba ²⁺ (mg/L)	Si ²⁺ (mg/L)	Ni ²⁺ (mg/L)	Pb ²⁺ (mg/L)	Cu ²⁺ (mg/L)	Zn ²⁺ (mg/L)	Cr _{total} (mg/L)
LID	0,02	0,003	0,05	0,02	0,55	0,18	0,05	0,04	0,05	0,025	0,008	0,02
IT-131	40	8,3	<0,05	<0,02	<0,55	<0,18	0,63	<0,04	<0,05	<0,025	<0,008	<0,02
IT-132	4,8	1,6	<0,05	<0,02	<0,55	<0,18	0,09	<0,04	<0,05	<0,025	<0,008	<0,02
IM-133	10	4,6	0,41	0,11	<0,55	<0,18	0,11	<0,04	<0,05	0,070	0,080	<0,02
IM-134	10	4,6	<0,05	<0,02	<0,55	<0,18	0,20	<0,04	<0,05	<0,025	<0,008	<0,02
IM-135	18	7,9	<0,05	<0,02	<0,55	0,49	0,14	<0,04	<0,05	<0,025	<0,008	<0,02
IM-136	17	7,8	<0,05	<0,02	<0,55	0,25	0,21	<0,04	<0,05	<0,025	<0,008	<0,02
IM-137	20	13	0,09	<0,02	<0,55	0,38	0,66	<0,04	<0,05	<0,025	<0,008	<0,02
IM-138	19	4,0	<0,05	0,03	<0,55	0,23	0,30	<0,04	<0,05	<0,025	<0,008	<0,02
IM-139	16	4,5	<0,05	0,04	<0,55	<0,18	0,19	<0,04	<0,05	<0,025	0,140	<0,02
IM-140	4,3	0,70	<0,05	<0,02	<0,55	<0,18	0,21	<0,04	<0,05	<0,025	0,030	<0,02
IT-141	24	7,6	<0,05	<0,02	<0,55	0,23	0,51	<0,04	<0,05	0,070	0,010	<0,02

LID = limite inferior de detecção

Continuação/TABELA 1-F. Parte 1

Local	Ca ²⁺ (mg/L)	Mg ²⁺ (mg/L)	Fe _{total} (mg/L)	Mn ²⁺ (mg/L)	Al ³⁺ (mg/L)	Ba ²⁺ (mg/L)	Si ²⁺ (mg/L)	Ni ²⁺ (mg/L)	Pb ²⁺ (mg/L)	Cu ²⁺ (mg/L)	Zn ²⁺ (mg/L)	Cr _{total} (mg/L)
LID	0,02	0,003	0,05	0,02	0,55	0,18	0,05	0,04	0,05	0,025	0,008	0,02
IT-142	18	6,5	< 0,05	< 0,02	< 0,55	< 0,18	0,39	< 0,04	< 0,05	< 0,025	< 0,008	0,05
IT-143	17	3,2	< 0,05	< 0,02	< 0,55	0,24	0,28	< 0,04	< 0,05	< 0,025	0,010	0,03
IT-144	15	2,2	< 0,05	< 0,02	< 0,55	< 0,18	0,13	< 0,04	< 0,05	< 0,025	< 0,008	< 0,02
IT-145	2,6	1,1	0,43	0,03	< 0,55	< 0,18	< 0,05	< 0,04	< 0,05	< 0,025	< 0,008	< 0,02
IT-146	25	4,0	< 0,05	< 0,02	< 0,55	< 0,18	0,15	< 0,04	< 0,05	< 0,025	0,010	< 0,02
IT-147	9,8	3,8	1,8	0,05	< 0,55	< 0,18	0,10	< 0,04	< 0,05	< 0,025	< 0,008	< 0,02
IT-148	17	5,3	< 0,05	< 0,02	< 0,55	< 0,18	0,14	< 0,04	< 0,05	< 0,025	0,260	< 0,02
IT-149	8,1	2,3	< 0,05	< 0,02	< 0,55	< 0,18	< 0,05	< 0,04	< 0,05	< 0,025	< 0,008	< 0,02
IT-150	8,4	3,0	0,45	< 0,02	< 0,55	< 0,18	0,08	< 0,04	< 0,05	< 0,025	< 0,008	< 0,02
IT-151	38	5,2	< 0,05	< 0,02	< 0,55	< 0,18	0,19	< 0,04	< 0,05	< 0,025	< 0,008	< 0,02
IT-152	18	5,3	< 0,05	< 0,02	< 0,55	0,24	0,14	< 0,04	< 0,05	< 0,025	0,010	0,04

LID = limite inferior de detecção

Continuação/TABELA 1-F. Parte 1

Local	Ca ²⁺ (mg/L)	Mg ²⁺ (mg/L)	Fe _{total} (mg/L)	Mn ²⁺ (mg/L)	Al ³⁺ (mg/L)	Ba ²⁺ (mg/L)	Sr ²⁺ (mg/L)	Ni ²⁺ (mg/L)	Pb ²⁺ (mg/L)	Cu ²⁺ (mg/L)	Zn ²⁺ (mg/L)	Cr _{total} (mg/L)
LID	0,02	0,003	0,05	0,02	0,55	0,18	0,05	0,04	0,05	0,025	0,008	0,02
IT-153	26	5,7	<0,05	<0,02	<0,55	0,25	0,25	<0,04	<0,05	<0,025	0,040	0,04
IT-154	34	4,1	<0,05	<0,02	<0,55	0,20	0,23	<0,04	<0,05	<0,025	0,020	0,03
IT-155	12	3,8	1,2	0,05	<0,55	<0,18	0,15	<0,04	<0,05	<0,025	<0,008	<0,02
IT-156	21	4,4	<0,05	<0,02	<0,55	<0,18	0,16	<0,04	<0,05	<0,025	<0,008	0,04
IT-157	21	5,9	<0,05	<0,02	<0,55	<0,18	0,24	<0,04	<0,05	<0,025	<0,008	0,04
IT-158	15	3,9	<0,05	<0,02	<0,55	0,28	0,23	<0,04	<0,05	<0,025	0,030	0,07
IT-159	20	4,9	<0,05	<0,02	<0,55	0,20	0,18	<0,04	<0,05	<0,025	<0,008	0,03
IT-160	1,1	0,13	<0,05	<0,02	<0,55	<0,18	0,15	<0,04	<0,05	<0,025	<0,008	0,05
IT-161	0,93	0,08	<0,05	<0,02	<0,55	<0,18	<0,05	<0,04	<0,05	<0,025	<0,008	0,04
IT-162	0,79	0,01	<0,05	<0,02	<0,55	<0,18	<0,05	<0,04	<0,05	<0,025	<0,008	<0,02
IT-163	4,7	0,70	<0,05	<0,02	<0,55	<0,18	0,80	<0,04	<0,05	<0,025	<0,008	<0,02

LID = limite inferior de detecção

Continuação/TABELA 1-F. Parte 1

Local	Ca ²⁺ (mg/L)	Mg ²⁺ (mg/L)	Fe _{total} (mg/L)	Mn ²⁺ (mg/L)	Al ³⁺ (mg/L)	Ba ²⁺ (mg/L)	Sr ²⁺ (mg/L)	Ni ²⁺ (mg/L)	Pb ²⁺ (mg/L)	Cu ²⁺ (mg/L)	Zn ²⁺ (mg/L)	Cr _{total} (mg/L)
LID	0,02	0,003	0,05	0,02	0,55	0,18	0,05	0,04	0,05	0,025	0,008	0,02
IT-164	0,89	0,04	< 0,05	< 0,02	< 0,55	< 0,18	< 0,05	< 0,04	< 0,05	< 0,025	< 0,008	< 0,02
IT-165	3,3	2,3	0,11	< 0,02	< 0,55	0,28	0,08	< 0,04	< 0,05	< 0,025	0,080	< 0,02
IT-166	4,3	1,8	< 0,05	< 0,02	< 0,55	0,19	0,06	< 0,04	< 0,05	< 0,025	0,020	< 0,02
IT-167	14	2,4	< 0,05	< 0,02	< 0,55	< 0,18	0,06	< 0,04	< 0,05	< 0,025	< 0,008	< 0,02
IT-168	6,4	1,4	< 0,05	< 0,02	< 0,55	< 0,18	0,06	< 0,04	< 0,05	< 0,025	< 0,008	< 0,02
IT-169	1,0	0,75	< 0,05	< 0,02	< 0,55	< 0,18	< 0,05	< 0,04	< 0,05	< 0,025	0,030	< 0,02
IT-170	2,8	0,16	< 0,05	< 0,02	< 0,55	< 0,18	< 0,05	< 0,04	< 0,05	< 0,025	< 0,008	< 0,02
IT-171	17	3,4	< 0,05	< 0,02	< 0,55	< 0,18	0,15	< 0,04	< 0,05	< 0,025	0,020	< 0,02
IT-172	15	4,4	< 0,05	< 0,02	< 0,55	0,38	0,11	< 0,04	< 0,05	< 0,025	0,040	< 0,02
IT-173	36	4,4	0,07	< 0,02	< 0,55	0,29	0,26	< 0,04	< 0,05	< 0,025	0,050	< 0,02
IT-174	7,3	2,2	< 0,05	0,10	< 0,55	0,26	0,26	< 0,04	< 0,05	< 0,025	0,020	< 0,02

LID = limite inferior de detecção

Continuação/TABELA 1-F. Parte 1

Local	Ca ²⁺ (mg/L)	Mg ²⁺ (mg/L)	Fe _{total} (mg/L)	Mn ²⁺ (mg/L)	Al ³⁺ (mg/L)	Ba ²⁺ (mg/L)	Si ²⁺ (mg/L)	Ni ²⁺ (mg/L)	Pb ²⁺ (mg/L)	Cu ²⁺ (mg/L)	Zn ²⁺ (mg/L)	Cr _{total} (mg/L)
LID	0,02	0,003	0,05	0,02	0,55	0,18	0,05	0,04	0,05	0,025	0,008	0,02
IT-175	2,0	0,39	0,06	<0,02	<0,55	<0,18	<0,05	<0,04	<0,05	<0,025	0,060	<0,02
IT-176	2,4	0,10	0,16	<0,02	<0,55	<0,18	<0,05	<0,04	<0,05	<0,025	0,010	<0,02
IT-177	2,3	1,4	<0,05	0,04	<0,55	<0,18	0,06	<0,04	<0,05	<0,025	0,010	<0,02
IT-178	4,1	2,3	<0,05	<0,02	<0,55	0,30	0,08	<0,04	<0,05	0,070	0,130	<0,02
IT-179	10	2,2	<0,05	<0,02	<0,55	<0,18	0,14	<0,04	<0,05	<0,025	0,020	<0,02
IT-180	8,7	2,4	<0,05	<0,02	<0,55	<0,18	0,06	<0,04	<0,05	<0,025	0,020	<0,02
IT-181	4,0	0,50	0,13	<0,02	<0,55	<0,18	<0,05	<0,04	<0,05	<0,025	0,100	<0,02
IT-182	1,6	0,06	<0,05	<0,02	<0,55	<0,18	<0,05	<0,04	<0,05	<0,025	<0,008	<0,02
IT-183	4,5	0,80	<0,05	<0,02	<0,55	<0,18	0,14	<0,04	<0,05	<0,025	<0,008	0,04
IT-184	19	4,7	0,12	<0,02	<0,55	<0,18	0,40	<0,04	<0,05	<0,025	0,070	<0,02
IT-185	26	4,5	<0,05	<0,02	<0,55	<0,18	0,33	<0,04	<0,05	<0,025	0,010	<0,02

LID = limite inferior de detecção

Continuação/TABELA 1-F. Parte 1

Local	Ca²⁺ (mg/L)	Mg²⁺ (mg/L)	Fe_{total} (mg/L)	Mn²⁺ (mg/L)	Al³⁺ (mg/L)	Ba²⁺ (mg/L)	Sr²⁺ (mg/L)	Ni²⁺ (mg/L)	Pb²⁺ (mg/L)	Cu²⁺ (mg/L)	Zn²⁺ (mg/L)	C_{r total} (mg/L)
LID	0,02	0,003	0,05	0,02	0,55	0,18	0,05	0,04	0,05	0,025	0,008	0,02
IT-186	9,4	2,2	<0,05	<0,02	<0,55	<0,18	0,38	<0,04	<0,05	<0,025	<0,008	0,05
IT-187	7,5	2,6	1,4	0,08	1,0	<0,18	0,08	<0,04	<0,05	<0,025	<0,008	<0,02
IT-188	10	2,1	<0,05	<0,02	<0,55	<0,18	0,31	<0,04	<0,05	<0,025	0,010	0,10
IT-189	1,5	0,65	<0,05	<0,02	<0,55	<0,18	<0,05	<0,04	<0,05	<0,025	<0,008	<0,02
IT-190	15	6,5	<0,05	<0,02	<0,55	<0,18	0,55	<0,04	<0,05	<0,025	<0,008	0,03
IT-191	7,3	1,5	<0,05	<0,02	<0,55	<0,18	0,11	<0,04	<0,05	<0,025	<0,008	<0,02
IT-192	45	9,0	<0,05	<0,02	<0,55	0,24	0,34	<0,04	<0,05	<0,025	<0,008	0,03
IT-193	26	6,0	<0,05	<0,02	<0,55	<0,18	0,18	<0,04	<0,05	<0,025	<0,008	<0,02
IT-194	26	5,3	<0,05	<0,02	<0,55	<0,18	0,66	<0,04	<0,05	<0,025	<0,008	<0,02
IT-195	0,70	0,03	<0,05	<0,02	<0,55	<0,18	<0,05	<0,04	<0,05	<0,025	<0,008	0,04
IT-196	18	9,3	<0,05	<0,02	<0,55	<0,18	0,98	<0,04	<0,05	<0,025	<0,008	<0,02

LID = limite inferior de detecção

Continuação/TABELA 1-F. Parte 1

Local	Ca ²⁺ (mg/L)	Mg ²⁺ (mg/L)	Fe _{total} (mg/L)	Mn ²⁺ (mg/L)	Al ³⁺ (mg/L)	Ba ²⁺ (mg/L)	Sr ²⁺ (mg/L)	Ni ²⁺ (mg/L)	Pb ²⁺ (mg/L)	Cu ²⁺ (mg/L)	Zn ²⁺ (mg/L)	Cr _{total} (mg/L)
LID	0,02	0,003	0,05	0,02	0,55	0,18	0,05	0,04	0,05	0,025	0,008	0,02
IT-197	12	7,6	<0,05	<0,02	<0,55	<0,18	1,4	<0,04	<0,05	<0,025	<0,008	0,04
IT-198	15	2,4	<0,05	<0,02	<0,55	<0,18	0,29	<0,04	<0,05	<0,025	<0,008	0,04
IT-199	13	4,0	<0,05	<0,02	<0,55	<0,18	0,71	<0,04	<0,05	<0,025	<0,008	0,04
IT-200	12	3,2	0,07	<0,02	<0,55	<0,18	0,06	<0,04	<0,05	<0,025	<0,008	<0,02
IT-201	21	1,1	<0,05	<0,02	<0,55	<0,18	0,20	<0,04	<0,05	<0,025	<0,008	<0,02
IT-202	16	4,1	<0,05	<0,02	<0,55	<0,18	0,34	<0,04	<0,05	<0,025	<0,008	<0,02
IT-203	15	5,2	<0,05	<0,02	<0,55	0,26	0,09	<0,04	<0,05	<0,025	0,030	<0,02
IT-204	24	3,6	<0,05	<0,02	<0,55	<0,18	0,18	<0,04	<0,05	<0,025	0,010	<0,02
IT-205	17	9,4	4,4	<0,02	<0,55	<0,18	2,1	<0,04	<0,05	<0,025	0,060	<0,02
IT-206	1,8	0,90	<0,05	0,06	6,7	<0,18	<0,05	<0,04	<0,05	<0,025	<0,008	<0,02
IT-207	1,0	0,18	<0,05	<0,02	<0,55	<0,18	<0,05	<0,04	<0,05	<0,025	<0,008	<0,02

LID = limite inferior de detecção

Continuação/TABELA 1-F. Parte 1

Local	Ca ²⁺ (mg/L)	Mg ²⁺ (mg/L)	Fe _{total} (mg/L)	Mn ²⁺ (mg/L)	Al ³⁺ (mg/L)	Ba ²⁺ (mg/L)	Sr ²⁺ (mg/L)	Ni ²⁺ (mg/L)	Pb ²⁺ (mg/L)	Cu ²⁺ (mg/L)	Zn ²⁺ (mg/L)	C _{r total} (mg/L)
LID	0,02	0,003	0,05	0,02	0,55	0,18	0,05	0,04	0,05	0,025	0,008	0,02
IT-208	18	0,88	<0,05	<0,02	<0,55	<0,18	0,25	<0,04	<0,05	<0,025	<0,008	0,12
IT-209	0,71	0,05	<0,05	<0,02	<0,55	<0,18	<0,05	<0,04	<0,05	<0,025	<0,008	0,03
IT-210	2,3	0,13	<0,05	<0,02	<0,55	<0,18	<0,05	<0,04	<0,05	<0,025	<0,008	0,04
IT-211	12	3,3	2,3	0,14	3,3	<0,18	<0,05	<0,04	<0,05	<0,025	<0,008	<0,02
IT-212	8,8	2,8	<0,05	<0,02	<0,55	<0,18	0,08	<0,04	<0,05	<0,025	0,080	<0,02
LR-213	26	5,3	3,5	0,31	<0,55	<0,18	0,06	<0,04	<0,05	<0,025	0,010	<0,02
LR-214	13	3,8	1,9	0,15	<0,55	<0,18	<0,05	<0,04	<0,05	<0,025	0,240	<0,02
LR-215	4,8	2,4	<0,05	0,05	<0,55	<0,18	<0,05	<0,04	<0,05	<0,025	0,040	<0,02
LR-216	3,6	2,0	0,17	0,07	<0,55	<0,18	<0,05	<0,04	<0,05	<0,025	<0,008	<0,02
LR-217	7,5	2,2	<0,05	0,09	<0,55	<0,18	<0,05	<0,04	<0,05	<0,025	<0,008	<0,02
LR-218	8,9	2,7	2,0	0,18	<0,55	<0,18	<0,05	<0,04	<0,05	<0,025	0,030	<0,02

LID = limite inferior de detecção

Continuação/TABELA 1-F. Parte 1

Local	Ca ²⁺ (mg/L)	Mg ²⁺ (mg/L)	Fe _{total} (mg/L)	Mn ²⁺ (mg/L)	Al ³⁺ (mg/L)	Ba ²⁺ (mg/L)	Sr ²⁺ (mg/L)	Ni ²⁺ (mg/L)	Pb ²⁺ (mg/L)	Cu ²⁺ (mg/L)	Zn ²⁺ (mg/L)	Cr _{total} (mg/L)
LID	0,02	0,003	0,05	0,02	0,055	0,18	0,05	0,04	0,05	0,025	0,008	0,02
LR-219	2,4	4,7	2,7	0,33	<0,55	<0,18	0,09	<0,04	<0,05	<0,025	0,030	<0,02
IB-220	25	3,3	<0,05	<0,02	<0,55	<0,18	0,14	<0,04	<0,05	<0,025	<0,008	<0,02
IB-221	4,9	1,8	1,0	<0,02	0,70	<0,18	<0,05	<0,04	<0,05	<0,025	<0,008	<0,02
IB-222	25	3,9	<0,05	<0,02	<0,55	<0,18	0,08	<0,04	<0,05	<0,025	<0,008	<0,02
IB-223	4,9	0,53	<0,05	<0,02	<0,55	<0,18	0,29	<0,04	<0,05	<0,025	<0,008	0,07
IB-224	9,1	1,1	<0,05	<0,02	<0,55	<0,18	0,21	<0,04	<0,05	<0,025	<0,008	0,03
IB-225	18	2,8	<0,05	<0,02	<0,55	<0,18	0,5	<0,04	<0,05	<0,025	<0,008	0,03
IB-226	19	3,9	<0,05	<0,02	<0,55	<0,18	0,08	<0,04	<0,05	<0,025	<0,008	<0,02
IB-227	5,8	1,3	<0,05	<0,02	<0,55	<0,18	0,06	<0,04	<0,05	<0,025	<0,008	0,07
IB-228	2,2	0,14	<0,05	<0,02	<0,55	0,24	<0,05	<0,04	<0,05	<0,025	<0,008	0,06
IB-229	19	7,5	0,07	0,54	<0,55	<0,18	0,20	<0,04	<0,05	<0,025	0,020	0,03

LID = limite inferior de detecção

Continuação/TABELA 1-F. Parte 1

Local	Ca ²⁺ (mg/L)	Mg ²⁺ (mg/L)	Fe total (mg/L)	Mn ²⁺ (mg/L)	Al ³⁺ (mg/L)	Ba ²⁺ (mg/L)	Sr ²⁺ (mg/L)	Ni ²⁺ (mg/L)	Pb ²⁺ (mg/L)	Cu ²⁺ (mg/L)	Zn ²⁺ (mg/L)	Cr total (mg/L)
LID	0,02	0,003	0,05	0,02	0,55	0,18	0,05	0,04	0,05	0,025	0,008	0,02
IB-230	0,84	0,05	< 0,05	< 0,02	< 0,55	< 0,18	< 0,05	< 0,04	< 0,05	< 0,025	< 0,008	0,09
IB-231	35	18	< 0,05	0,04	< 0,55	0,68	0,34	< 0,04	< 0,05	< 0,025	< 0,008	< 0,02
IB-232	3,1	0,48	< 0,05	< 0,02	< 0,55	< 0,18	0,16	< 0,04	< 0,05	< 0,025	< 0,008	0,04
IB-233	0,65	< 0,003	< 0,05	< 0,02	< 0,55	< 0,18	< 0,05	< 0,04	< 0,05	< 0,025	< 0,008	0,08
IB-234	7,2	1,9	< 0,05	< 0,02	< 0,55	< 0,18	0,11	< 0,04	< 0,05	< 0,025	< 0,008	0,08
IB-235	0,86	0,14	< 0,05	< 0,02	< 0,55	< 0,18	< 0,05	< 0,04	< 0,05	< 0,025	< 0,008	0,08
IB-236	7,2	1,0	< 0,05	< 0,02	< 0,55	< 0,18	0,15	< 0,04	< 0,05	0,040	0,010	0,06
IB-237	15	2,5	< 0,05	< 0,02	< 0,55	< 0,18	< 0,05	< 0,04	< 0,05	< 0,025	< 0,008	< 0,02
IB-238	8,1	3,9	< 0,05	< 0,02	< 0,55	0,31	< 0,05	< 0,04	< 0,05	< 0,025	0,010	< 0,02
IB-239	11	1,7	< 0,05	< 0,02	< 0,55	< 0,18	< 0,05	< 0,04	< 0,05	< 0,025	0,070	0,01
IB-240	1,4	0,75	< 0,05	< 0,02	< 0,55	< 0,18	< 0,05	< 0,04	< 0,05	< 0,025	< 0,008	< 0,02

LID = limite inferior de detecção

Continuação/TABELA 1-F. Parte 1

Local	Ca ²⁺ (mg/L)	Mg ²⁺ (mg/L)	Fe _{total} (mg/L)	Mn ²⁺ (mg/L)	Al ³⁺ (mg/L)	Ba ²⁺ (mg/L)	Sr ²⁺ (mg/L)	Ni ²⁺ (mg/L)	Pb ²⁺ (mg/L)	Cu ²⁺ (mg/L)	Zn ²⁺ (mg/L)	Cr _{total} (mg/L)
LID	0,02	0,003	0,05	0,02	0,55	0,18	0,05	0,04	0,05	0,025	0,008	0,02
IB-241	1,5	0,80	< 0,05	< 0,02	< 0,55	< 0,18	< 0,05	< 0,04	< 0,05	< 0,025	< 0,008	< 0,02
IB-242	0,16	0,21	< 0,05	< 0,02	< 0,55	< 0,18	< 0,05	< 0,04	< 0,05	< 0,025	0,02	< 0,02
IB-243	13	3,4	< 0,05	< 0,02	< 0,55	< 0,18	< 0,05	< 0,04	< 0,05	< 0,025	0,10	< 0,02
IB-244	15	2,3	< 0,05	< 0,02	< 0,55	< 0,18	0,09	< 0,04	< 0,05	< 0,025	< 0,008	< 0,02
IB-245	3,2	3,2	< 0,05	0,06	< 0,55	0,28	< 0,05	< 0,04	< 0,05	< 0,025	< 0,008	< 0,02
IB-246	7,5	3,3	< 0,05	< 0,02	< 0,55	< 0,18	< 0,05	< 0,04	< 0,05	< 0,025	< 0,008	0,03
IB-247	17	5,6	< 0,05	< 0,02	< 0,55	0,36	0,23	< 0,04	< 0,05	< 0,025	< 0,008	< 0,02
IB-248	3,9	0,85	< 0,05	< 0,02	< 0,55	< 0,18	< 0,05	< 0,04	< 0,05	< 0,025	< 0,008	0,05
IB-249	15	2,1	< 0,05	< 0,02	< 0,55	< 0,18	0,23	< 0,04	< 0,05	< 0,025	< 0,008	0,04
IB-250	17	2,5	< 0,05	< 0,02	< 0,55	< 0,18	0,18	< 0,04	< 0,05	< 0,025	< 0,008	< 0,02
IB-251	6,2	1,3	< 0,05	< 0,02	< 0,55	< 0,18	0,14	< 0,04	< 0,05	< 0,025	< 0,008	0,05

LID = limite inferior de detecção

Continuação/TABELA 1-F. Parte 1

Local	Ca ²⁺ (mg/L)	Mg ²⁺ (mg/L)	Fe ^{total} (mg/L)	Mn ²⁺ (mg/L)	Al ³⁺ (mg/L)	Ba ²⁺ (mg/L)	Sr ²⁺ (mg/L)	Ni ²⁺ (mg/L)	Pb ²⁺ (mg/L)	Cu ²⁺ (mg/L)	Zn ²⁺ (mg/L)	Cr ^{total} (mg/L)
LID	0,02	0,003	0,05	0,02	0,55	0,18	0,05	0,04	0,05	0,025	0,008	0,02
IB-252	15	5,1	<0,05	<0,02	<0,55	0,24	1,4	<0,04	<0,05	<0,025	<0,008	<0,02
IB-253	4,0	0,60	<0,05	<0,02	<0,55	<0,18	<0,05	<0,04	<0,05	<0,025	<0,008	0,03
IB-254	1,9	0,04	<0,05	<0,02	<0,55	<0,18	0,06	<0,04	<0,05	<0,025	<0,008	<0,02
IB-255	3,1	0,25	<0,05	<0,02	<0,55	<0,18	<0,05	<0,04	<0,05	<0,025	<0,008	<0,02
IB-256	0,94	0,13	<0,05	<0,02	<0,55	<0,18	<0,05	<0,04	<0,05	<0,025	<0,008	0,06
IB-257	26	4,8	1,1	0,15	1,2	<0,18	0,23	<0,04	<0,05	<0,025	<0,008	0,07
IB-258	14	4,6	2,2	0,05	21	<0,18	<0,05	<0,04	<0,05	<0,025	<0,008	<0,02
IB-259	6,5	0,50	<0,05	<0,02	<0,55	<0,18	<0,05	<0,04	<0,05	<0,025	<0,008	0,03
IB-260	11	2,1	0,06	<0,02	<0,55	<0,18	0,18	<0,04	<0,05	<0,025	<0,008	<0,02
IB-261	3,2	0,68	<0,05	<0,02	<0,55	<0,18	0,06	<0,04	<0,05	<0,025	<0,008	0,04
IB-262	15	11	<0,05	<0,02	<0,55	0,55	0,94	<0,04	<0,05	<0,025	<0,008	<0,02

LID = limite inferior de detecção

Continuação/TABELA 1-F. Parte 1

Local	Ca ²⁺ (mg/L)	Mg ²⁺ (mg/L)	Fe _{total} (mg/L)	Mn ²⁺ (mg/L)	Al ³⁺ (mg/L)	Ba ²⁺ (mg/L)	Sr ²⁺ (mg/L)	Ni ²⁺ (mg/L)	Pb ²⁺ (mg/L)	Cu ²⁺ (mg/L)	Zn ²⁺ (mg/L)	Cr _{total} (mg/L)
LID	0,02	0,003	0,05	0,02	0,55	0,18	0,05	0,04	0,05	0,025	0,008	0,02
IB-263	5,3	0,60	< 0,05	< 0,02	< 0,55	< 0,18	0,29	< 0,04	< 0,05	< 0,025	< 0,008	0,04
IB-264	18	4,2	< 0,05	< 0,02	< 0,55	0,29	0,49	< 0,04	< 0,05	< 0,025	< 0,008	< 0,02
IB-265	17	4,8	< 0,05	< 0,02	< 0,55	0,38	0,83	< 0,04	< 0,05	< 0,025	< 0,008	< 0,02
IB-266	8,0	1,2	< 0,05	< 0,02	< 0,55	< 0,18	0,51	< 0,04	< 0,05	< 0,025	< 0,008	< 0,02
IB-267	50	8,2	< 0,05	< 0,02	< 0,55	0,40	0,56	< 0,04	< 0,05	< 0,025	0,04	< 0,02
IB-268	6,5	0,85	< 0,05	< 0,02	< 0,55	< 0,18	0,30	< 0,04	< 0,05	< 0,025	< 0,008	0,07
IB-269	3,6	1,0	< 0,05	< 0,02	< 0,55	< 0,18	0,08	< 0,04	< 0,05	< 0,025	< 0,008	0,07
IB-270	3,9	3,9	0,07	< 0,02	< 0,55	0,19	< 0,05	< 0,04	< 0,05	< 0,025	< 0,008	< 0,02
IB-271	9,8	3,8	0,08	< 0,02	< 0,55	0,23	0,11	< 0,04	0,07	< 0,025	< 0,008	< 0,02
IB-272	19	6,2	< 0,05	< 0,02	< 0,55	0,31	0,14	< 0,04	< 0,05	< 0,025	< 0,008	< 0,02
IB-273	18	5,1	< 0,05	< 0,02	< 0,55	< 0,18	0,36	< 0,04	< 0,05	< 0,025	< 0,008	< 0,02

LID = limite inferior de detecção

Continuação/TABELA 1-F. Parte 1

Local	Ca ²⁺ (mg/L)	Mg ²⁺ (mg/L)	Fe _{total} (mg/L)	Mn ²⁺ (mg/L)	Al ³⁺ (mg/L)	Ba ²⁺ (mg/L)	Sr ²⁺ (mg/L)	Ni ²⁺ (mg/L)	Pb ²⁺ (mg/L)	Cu ²⁺ (mg/L)	Zn ²⁺ (mg/L)	Cr _{total} (mg/L)
LID	0,02	0,003	0,05	0,02	0,55	0,18	0,05	0,04	0,05	0,025	0,008	0,02
IB-274	34	6,7	< 0,05	< 0,02	< 0,55	< 0,18	0,29	< 0,04	< 0,05	< 0,025	< 0,008	< 0,02
IB-275	96	8,0	< 0,05	< 0,02	< 0,55	0,46	0,34	< 0,04	< 0,05	0,06	0,03	< 0,02
IB-276	39	5,7	< 0,05	< 0,02	< 0,55	< 0,18	0,44	< 0,04	< 0,05	< 0,025	< 0,008	0,08
IB-277	61	7,5	< 0,05	< 0,02	< 0,55	0,35	0,31	< 0,04	< 0,05	< 0,025	< 0,008	< 0,02
IB-278	13	3,4	< 0,05	< 0,02	< 0,55	< 0,18	0,20	< 0,04	< 0,05	< 0,025	< 0,008	0,07
IB-279	5,1	1,1	< 0,05	< 0,02	< 0,55	< 0,18	< 0,05	< 0,04	< 0,05	< 0,025	< 0,008	0,07
IB-280	20	7,6	< 0,05	< 0,02	< 0,55	< 0,18	0,33	< 0,04	< 0,05	< 0,025	< 0,008	< 0,02
IB-281	0,71	0,09	< 0,05	< 0,02	< 0,55	< 0,18	< 0,05	< 0,04	< 0,05	< 0,025	< 0,008	0,04
IB-282	15	5,8	< 0,05	< 0,02	< 0,55	0,24	0,36	< 0,04	< 0,05	< 0,025	0,01	< 0,02
IB-283	0,85	0,03	< 0,05	< 0,02	< 0,55	< 0,18	< 0,05	< 0,04	< 0,05	< 0,025	< 0,008	0,05
IB-284	8,6	3,8	0,21	< 0,02	< 0,55	< 0,18	< 0,05	< 0,04	< 0,05	< 0,025	< 0,008	< 0,02

LID = limite inferior de detecção

Continuação/TABELA 1-F. Parte 1

Local	Ca ²⁺ (mg/L)	Mg ²⁺ (mg/L)	Fe _{total} (mg/L)	Mn ²⁺ (mg/L)	Al ³⁺ (mg/L)	Ba ²⁺ (mg/L)	Sr ²⁺ (mg/L)	Ni ²⁺ (mg/L)	Pb ²⁺ (mg/L)	Cu ²⁺ (mg/L)	Zn ²⁺ (mg/L)	Cr _{total} (mg/L)
LID	0,02	0,003	0,05	0,02	0,55	0,18	0,05	0,04	0,05	0,025	0,008	0,02
IB-285	14	4,8	< 0,05	< 0,02	< 0,55	< 0,18	0,10	< 0,04	< 0,05	< 0,025	< 0,008	0,05
IB-286	20	4,1	< 0,05	< 0,02	< 0,55	< 0,18	0,19	< 0,04	< 0,05	< 0,025	< 0,008	0,04
IB-287	20	3,1	< 0,05	< 0,02	< 0,55	< 0,18	0,30	< 0,04	< 0,05	< 0,025	< 0,008	0,04
IB-288	11	3,9	1,2	< 0,02	< 0,55	< 0,18	0,14	< 0,04	< 0,05	< 0,025	< 0,008	< 0,02
IB-289	1,6	0,58	< 0,05	< 0,02	< 0,55	< 0,18	< 0,05	< 0,04	< 0,05	< 0,025	< 0,008	< 0,02
IB-290	10	3,8	< 0,05	0,06	< 0,55	0,30	0,06	< 0,04	< 0,05	< 0,025	< 0,008	< 0,02
IB-291	30	3,2	< 0,05	< 0,02	< 0,55	0,23	0,14	< 0,04	< 0,05	< 0,025	< 0,008	< 0,02
IB-292	19	6,6	< 0,05	< 0,02	< 0,55	0,23	0,35	< 0,04	< 0,05	< 0,025	0,01	0,05
IB-293	0,66	0,03	< 0,05	< 0,02	< 0,55	< 0,18	< 0,05	< 0,04	< 0,05	< 0,025	< 0,008	0,04
IB-294	12	3,5	1,7	0,08	< 0,55	< 0,18	0,06	< 0,04	0,07	< 0,025	0,01	< 0,02
IB-295	17	4,4	< 0,05	< 0,02	< 0,55	< 0,18	0,20	< 0,04	< 0,05	< 0,025	< 0,008	< 0,02

LID = limite inferior de detecção

Continuação/TABELA 1-F. Parte 1

Local	Ca ²⁺ (mg/L)	Mg ²⁺ (mg/L)	Fe _{total} (mg/L)	Mn ²⁺ (mg/L)	Al ³⁺ (mg/L)	Ba ²⁺ (mg/L)	Sr ²⁺ (mg/L)	Ni ²⁺ (mg/L)	Pb ²⁺ (mg/L)	Cu ²⁺ (mg/L)	Zn ²⁺ (mg/L)	Cr _{total} (mg/L)
LID	0,02	0,003	0,05	0,02	0,55	0,18	0,05	0,04	0,05	0,025	0,008	0,02
IB-296	9	3,4	< 0,05	< 0,02	< 0,55	0,21	0,15	< 0,04	< 0,05	< 0,025	< 0,008	< 0,02
IB-297	21	4,0	< 0,05	< 0,02	< 0,55	0,21	0,15	< 0,04	< 0,05	< 0,025	< 0,008	< 0,02
IB-298	0,55	0,04	< 0,05	< 0,02	< 0,55	< 0,18	< 0,05	< 0,04	< 0,05	< 0,025	< 0,008	< 0,02
IB-299	1,1	0,28	< 0,05	< 0,02	< 0,55	< 0,18	< 0,05	< 0,04	< 0,05	< 0,025	< 0,008	< 0,02
IB-300	20	7,4	< 0,05	< 0,02	< 0,55	0,60	0,63	< 0,04	< 0,05	< 0,025	< 0,008	< 0,02
IB-301	18	4,9	< 0,05	< 0,02	< 0,55	< 0,18	0,08	< 0,04	< 0,05	< 0,025	< 0,008	< 0,02
IB-302	36	5,1	< 0,05	< 0,02	< 0,55	< 0,18	0,14	< 0,04	< 0,05	< 0,025	< 0,008	< 0,02
IB-303	1,6	0,71	< 0,05	< 0,02	< 0,55	< 0,18	< 0,05	< 0,04	< 0,05	< 0,025	< 0,008	< 0,02
IB-304	31	3,4	< 0,05	< 0,02	< 0,55	< 0,18	0,15	< 0,04	< 0,05	< 0,025	< 0,008	< 0,02
IB-305	12	4,2	< 0,05	< 0,02	< 0,55	0,31	< 0,05	< 0,04	< 0,05	< 0,025	< 0,008	< 0,02
IB-306	6,4	2,0	< 0,05	< 0,02	< 0,55	< 0,18	< 0,05	< 0,04	< 0,05	< 0,025	< 0,008	< 0,02

LID = limite inferior de detecção

Continuação/TABELA 1-F. Parte 1

Local	Ca ²⁺ (mg/L)	Mg ²⁺ (mg/L)	Fe _{total} (mg/L)	Mn ²⁺ (mg/L)	Al ³⁺ (mg/L)	Ba ²⁺ (mg/L)	Sr ²⁺ (mg/L)	Ni ²⁺ (mg/L)	Pb ²⁺ (mg/L)	Cu ²⁺ (mg/L)	Zn ²⁺ (mg/L)	Cr _{total} (mg/L)
LID	0,02	0,003	0,05	0,02	0,55	0,18	0,05	0,04	0,05	0,025	0,008	0,02
IB-307	7,9	1,6	< 0,05	< 0,02	< 0,55	< 0,18	< 0,05	< 0,04	< 0,05	< 0,025	< 0,008	< 0,02
IB-308	0,46	< 0,003	< 0,05	< 0,02	< 0,55	< 0,18	< 0,05	< 0,04	< 0,05	< 0,025	< 0,008	< 0,02
IB-309	20	4,1	< 0,05	< 0,02	< 0,55	< 0,18	0,11	< 0,04	< 0,05	< 0,025	< 0,008	< 0,02
IB-310	20	3,9	< 0,05	< 0,02	< 0,55	< 0,18	0,15	< 0,04	< 0,05	< 0,025	< 0,008	< 0,02
IB-311	24	5,1	< 0,05	< 0,02	< 0,55	0,60	0,13	< 0,04	< 0,05	< 0,025	< 0,008	< 0,02
IB-312	8,2	2,4	< 0,05	< 0,02	< 0,55	0,23	< 0,05	< 0,04	< 0,05	< 0,025	< 0,008	< 0,02
IB-313	20	3,2	< 0,05	< 0,02	< 0,55	< 0,18	0,10	< 0,04	< 0,05	< 0,025	< 0,008	< 0,02
IB-314	0,35	< 0,003	< 0,05	< 0,02	< 0,55	< 0,18	< 0,05	< 0,04	< 0,05	< 0,025	< 0,008	< 0,02
IB-315	20	5,2	< 0,05	< 0,02	< 0,55	< 0,18	< 0,05	< 0,04	< 0,05	< 0,025	< 0,008	< 0,02
IB-316	10	3,9	< 0,05	< 0,02	< 0,55	< 0,18	< 0,05	< 0,04	< 0,05	< 0,025	< 0,008	< 0,02
IB-317	6,5	3,2	< 0,05	< 0,02	< 0,55	< 0,18	< 0,05	< 0,04	< 0,05	< 0,025	< 0,008	< 0,02

LID = limite inferior de detecção

Continuação/TABELA 1-F. Parte 1

Local	Ca ²⁺ (mg/L)	Mg ²⁺ (mg/L)	Fe _{total} (mg/L)	Mn ²⁺ (mg/L)	Al ³⁺ (mg/L)	Ba ²⁺ (mg/L)	Sr ²⁺ (mg/L)	Ni ²⁺ (mg/L)	Pb ²⁺ (mg/L)	Cu ²⁺ (mg/L)	Zn ²⁺ (mg/L)	Cr _{total} (mg/L)
LID	0,02	0,003	0,05	0,02	0,55	0,18	0,05	0,04	0,05	0,025	0,008	0,02
IB-318	9,3	0,5	<0,05	<0,02	<0,55	<0,18	<0,05	<0,04	<0,05	<0,025	<0,008	<0,02
IB-319	14	2,4	<0,05	<0,02	<0,55	<0,18	<0,05	<0,04	<0,05	<0,025	<0,008	<0,02
IB-320	4,5	1,3	<0,05	<0,02	<0,55	<0,18	<0,05	<0,04	<0,05	<0,025	<0,008	<0,02
IB-321	13	4,9	<0,05	<0,02	<0,55	<0,18	<0,05	<0,04	<0,05	<0,025	<0,008	<0,02
IB-322	2,4	0,65	0,60	<0,02	<0,55	<0,18	<0,05	<0,04	<0,05	<0,025	<0,008	<0,02
IB-323	5,4	1,6	<0,05	<0,02	<0,55	<0,18	<0,05	<0,04	<0,05	<0,025	<0,008	<0,02
IB-324	11	3,2	<0,05	<0,02	<0,55	<0,18	0,06	<0,04	<0,05	<0,025	<0,008	<0,02
IB-325	15	3,6	0,07	<0,02	<0,55	<0,18	0,09	<0,04	<0,05	<0,025	<0,008	<0,02
IB-326	1,1	<0,003	<0,05	<0,02	<0,55	<0,18	<0,05	<0,04	<0,05	<0,025	<0,008	<0,02
IM-327	7,8	4,1	<0,05	<0,02	<0,55	<0,18	<0,05	<0,04	<0,05	<0,025	<0,008	<0,02
IM-328	7,7	2,8	1,2	0,09	<0,55	<0,18	<0,05	<0,04	<0,05	<0,025	<0,008	<0,02

LID = limite inferior de detecção

Continuação/TABELA 1-F. Parte 1

Local	Ca ²⁺ (mg/L)	Mg ²⁺ (mg/L)	Fe _{total} (mg/L)	Mn ²⁺ (mg/L)	Al ³⁺ (mg/L)	Ba ²⁺ (mg/L)	Sr ²⁺ (mg/L)	Ni ²⁺ (mg/L)	Pb ²⁺ (mg/L)	Cu ²⁺ (mg/L)	Zn ²⁺ (mg/L)	Cr _{total} (mg/L)
LID	0,02	0,003	0,05	0,02	0,55	0,18	0,05	0,04	0,05	0,025	0,008	0,02
IM-329	27	2,7	< 0,05	< 0,02	< 0,55	< 0,18	0,09	< 0,04	< 0,05	< 0,025	0,01	< 0,02
IM-330	10	3,7	< 0,05	< 0,02	< 0,55	< 0,18	0,09	< 0,04	< 0,05	< 0,025	< 0,008	< 0,02
IM-331	17	6,8	< 0,05	< 0,02	< 0,55	< 0,18	0,10	< 0,04	< 0,05	< 0,025	< 0,008	< 0,02
IM-332	18	1,2	< 0,05	< 0,02	< 0,55	< 0,18	0,18	< 0,04	< 0,05	< 0,025	< 0,008	< 0,02
IM-333	12	5,3	< 0,05	< 0,02	< 0,55	< 0,18	0,06	< 0,04	< 0,05	< 0,025	< 0,008	< 0,02
IM-334	53	3,0	< 0,05	< 0,02	< 0,55	< 0,18	0,24	< 0,04	< 0,05	< 0,025	< 0,008	< 0,02
IM-335	19	3,1	< 0,05	< 0,02	< 0,55	< 0,18	< 0,05	< 0,04	< 0,05	< 0,025	< 0,008	< 0,02
IM-336	33	2,6	< 0,05	< 0,02	< 0,55	< 0,18	0,56	< 0,04	< 0,05	< 0,025	< 0,008	< 0,02
IM-337	14	2,7	< 0,05	< 0,02	< 0,55	< 0,18	< 0,05	< 0,04	< 0,05	< 0,025	< 0,008	< 0,02
IM-338	8,1	0,50	< 0,05	< 0,02	< 0,55	< 0,18	0,13	< 0,04	< 0,05	< 0,025	< 0,008	< 0,02
IM-339	12	0,90	< 0,05	< 0,02	< 0,55	< 0,18	0,16	< 0,04	< 0,05	< 0,025	< 0,008	< 0,02

LID = limite inferior de detecção

Continuação/TABELA 1-F. Parte 1

Local	Ca ²⁺ (mg/L)	Mg ²⁺ (mg/L)	Fe _{total} (mg/L)	Mn ²⁺ (mg/L)	Al ³⁺ (mg/L)	Ba ²⁺ (mg/L)	Sr ²⁺ (mg/L)	Ni ²⁺ (mg/L)	Pb ²⁺ (mg/L)	Cu ²⁺ (mg/L)	Zn ²⁺ (mg/L)	Cr _{total} (mg/L)
LID	0,02	0,003	0,05	0,02	0,55	0,18	0,05	0,04	0,05	0,025	0,008	0,02
IM-340	35	8,0	< 0,05	< 0,02	< 0,55	< 0,18	0,15	< 0,04	< 0,05	< 0,025	0,01	< 0,02
IM-341	1,5	1,0	0,13	< 0,02	< 0,55	< 0,18	0,08	< 0,04	< 0,05	< 0,025	< 0,008	< 0,02
IM-342	1,6	0,10	< 0,05	< 0,02	< 0,55	< 0,18	< 0,05	< 0,04	< 0,05	< 0,025	< 0,008	< 0,02
IM-343	76	5,3	< 0,05	< 0,02	< 0,55	< 0,18	0,06	< 0,04	< 0,05	< 0,025	< 0,008	< 0,02
IM-344	7,9	3,5	0,78	0,12	< 0,55	< 0,18	0,18	< 0,04	< 0,05	< 0,025	< 0,008	< 0,02
IM-345	58	4,9	< 0,05	< 0,02	< 0,55	< 0,18	0,11	< 0,04	< 0,05	< 0,025	< 0,008	< 0,02
IM-346	25	11	< 0,05	< 0,02	< 0,55	0,35	0,18	< 0,04	< 0,05	< 0,025	0,13	< 0,02
IA-347	14	5,6	0,57	0,04	1,3	< 0,18	< 0,05	< 0,04	< 0,05	< 0,025	< 0,008	< 0,02
IA-348	30	6,8	< 0,05	< 0,02	< 0,55	< 0,18	0,36	< 0,04	< 0,05	< 0,025	< 0,008	< 0,02
IA-349	3,1	2,0	0,34	< 0,02	< 0,55	< 0,18	< 0,05	< 0,04	< 0,05	< 0,025	< 0,008	< 0,02
IA-350	26	4,2	0,08	< 0,02	< 0,55	< 0,18	0,06	< 0,04	< 0,05	< 0,025	< 0,008	< 0,02

LID = limite inferior de detecção

Continuação/TABELA 1-F. Parte 1

Local	Ca ²⁺ (mg/L)	Mg ²⁺ (mg/L)	Fe _{total} (mg/L)	Mn ²⁺ (mg/L)	Al ³⁺ (mg/L)	Ba ²⁺ (mg/L)	Sr ²⁺ (mg/L)	Ni ²⁺ (mg/L)	Pb ²⁺ (mg/L)	Cu ²⁺ (mg/L)	Zn ²⁺ (mg/L)	Cr _{total} (mg/L)
LID	0,02	0,003	0,05	0,02	0,55	0,18	0,05	0,04	0,05	0,025	0,008	0,02
IA-351	25	6,6	0,08	<0,02	<0,55	<0,18	<0,05	<0,04	<0,05	<0,025	<0,008	<0,02
IA-352	9,6	2,2	<0,05	<0,02	<0,55	<0,18	0,08	<0,04	<0,05	<0,025	<0,008	<0,02
IA-353	35	8,7	<0,05	<0,02	<0,55	<0,18	<0,05	<0,04	<0,05	<0,025	0,01	<0,02
IA-354	3,6	0,50	0,13	<0,02	<0,55	<0,18	0,09	<0,04	<0,05	<0,025	<0,008	<0,02
IA-355	28	5,1	<0,05	<0,02	<0,55	<0,18	0,14	<0,04	<0,05	<0,025	<0,008	<0,02
IA-356	3,4	1,9	0,46	<0,02	0,60	<0,18	<0,05	<0,04	<0,05	<0,025	<0,008	<0,02
IA-357	4,8	2,8	0,06	<0,02	<0,55	<0,18	<0,05	<0,04	<0,05	<0,025	0,02	<0,02
IA-358	2,1	1,1	<0,05	<0,02	<0,55	<0,18	<0,05	<0,04	<0,05	<0,025	<0,008	<0,02
IA-359	1,7	1,6	0,87	0,03	<0,55	<0,18	<0,05	<0,04	<0,05	<0,025	0,01	<0,02
IA-360	13	4,2	0,55	0,09	<0,55	<0,18	<0,05	<0,04	<0,05	<0,025	<0,008	<0,02
IA-361	16	5,3	0,30	<0,02	<0,55	<0,18	0,09	<0,04	<0,05	<0,025	<0,008	<0,02

LID = limite inferior de detecção

Continuação/TABELA 1-F. Parte 1

Local	Ca ²⁺ (mg/L)	Mg ²⁺ (mg/L)	Fe _{total} (mg/L)	Mn ²⁺ (mg/L)	Al ³⁺ (mg/L)	Ba ²⁺ (mg/L)	Sr ²⁺ (mg/L)	Ni ²⁺ (mg/L)	Pb ²⁺ (mg/L)	Cu ²⁺ (mg/L)	Zn ²⁺ (mg/L)	Cr _{total} (mg/L)
LID	0,02	0,003	0,05	0,02	0,55	0,18	0,05	0,04	0,05	0,025	0,008	0,02
IA-362	30	10	< 0,05	< 0,02	< 0,55	< 0,18	0,14	< 0,04	< 0,05	< 0,025	< 0,008	< 0,02
IA-363	6,5	2,6	< 0,05	< 0,02	< 0,55	< 0,18	< 0,05	< 0,04	< 0,05	< 0,025	< 0,008	< 0,02
IA-364	9,0	3,3	0,33	< 0,02	1,3	< 0,18	0,10	< 0,04	< 0,05	0,07	< 0,008	< 0,02
IA-365	11	4,5	0,72	0,15	< 0,55	< 0,18	< 0,05	< 0,04	< 0,05	< 0,025	< 0,008	< 0,02
IA-366	30	6,6	< 0,05	< 0,02	< 0,55	< 0,18	0,06	< 0,04	< 0,05	< 0,025	< 0,008	< 0,02
IA-367	31	11	0,11	0,07	< 0,55	< 0,18	0,06	< 0,04	< 0,05	< 0,025	< 0,008	< 0,02
IA-368	26	3,3	< 0,05	< 0,02	< 0,55	< 0,18	0,10	< 0,04	< 0,05	< 0,025	< 0,008	< 0,02
IA-369	14	6,0	0,53	< 0,02	< 0,55	< 0,18	1,3	< 0,04	< 0,05	< 0,025	< 0,008	< 0,02
IA-370	7,6	4,9	0,66	< 0,02	< 0,55	< 0,18	< 0,05	< 0,04	< 0,05	< 0,025	< 0,008	< 0,02
IA-371	16	8,2	1,1	0,09	< 0,55	< 0,18	< 0,05	< 0,04	< 0,05	< 0,025	< 0,008	< 0,02
IA-372	44	-	0,06	0,08	< 0,55	< 0,18	0,16	< 0,04	< 0,05	0,04	< 0,008	< 0,02

LID = limite inferior de detecção

Continuação/TABELA 1-F. Parte 1

Local	Ca ²⁺ (mg/L)	Mg ²⁺ (mg/L)	Fe _{total} (mg/L)	Mn ²⁺ (mg/L)	Al ³⁺ (mg/L)	Ba ²⁺ (mg/L)	Sr ²⁺ (mg/L)	Ni ²⁺ (mg/L)	Pb ²⁺ (mg/L)	Cu ²⁺ (mg/L)	Zn ²⁺ (mg/L)	Cr _{total} (mg/L)
LID	0,02	0,003	0,05	0,02	0,55	0,18	0,05	0,04	0,05	0,025	0,008	0,02
IA-373	18	2,8	<0,05	<0,02	<0,55	<0,18	0,51	<0,04	<0,05	<0,025	<0,008	<0,02
IA-374	31	6,5	0,23	0,22	<0,55	<0,18	0,63	<0,04	<0,05	<0,025	<0,008	<0,02
IA-375	7,9	2,9	0,75	0,09	<0,55	<0,18	<0,05	<0,04	<0,05	<0,025	<0,008	<0,02
IA-376	8,9	1,0	2,9	0,10	<0,55	<0,18	<0,05	<0,04	<0,05	<0,025	<0,008	<0,02
IA-377	3,5	1,9	0,28	<0,02	<0,55	<0,18	0,06	<0,04	<0,05	<0,025	<0,008	<0,02

LID = limite inferior de detecção

Tabela 1-F. Determinação de cátions e ânions específicos nas águas de abastecimento público do Estado de São Paulo/Parte 2

Local	Na ⁺ (mg/L)	K ⁺ (mg/L)	F ⁻ (mg/L)	Cl ⁻ (mg/L)	NO ₂ ⁻ (mg/L)	Br ⁻ (mg/L)	NO ₃ ⁻ (mg/L)	PO ₄ ³⁻ (mg/L)	SO ₄ ²⁻ (mg/L)
LID	0,02	0,003	-	-	-	-	-	-	-
IV-66	1,7	0,90	ND	1,4	ND	0,05	0,13	ND	2,1
IV-67	9,8	2,4	0,20	1,3	0,03	ND	0,10	ND	0,62
IV-68	19	5,3	0,03	32	ND	0,05	16	ND	1,2
IV-69	8,2	2,6	0,10	2,4	ND	ND	0,03	ND	0,62
IV-70	3,3	4,7	0,90	4,1	ND	ND	8,9	ND	0,42
IV-71	2,8	1,5	ND	1,3	ND	ND	0,01	ND	0,15
IV-72	2,6	1,4	0,01	0,78	ND	ND	0,29	ND	0,23
IV-73	1,4	1,1	0,03	0,43	ND	ND	ND	ND	0,10
IV-74	16	3,2	0,20	2,4	ND	0,10	0,36	ND	2,1
IV-75	2,7	2,7	0,03	1,6	ND	0,01	0,11	ND	0,52
IV-76	5,9	4,7	0,16	1,6	0,10	0,01	0,32	ND	1,4
IV-77	55	2,6	0,84	3,0	ND	ND	0,24	ND	0,67

ND= não detectado; LID= limite inferior de detecção

Continuação/TABELA 1-F. Parte 2

Local	Na ⁺ (mg/L)	K ⁺ (mg/L)	F (mg/L)	Cl ⁻ (mg/L)	NO ₂ ⁻ (mg/L)	Br ⁻ (mg/L)	NO ₃ ⁻ (mg/L)	PO ₄ ³⁻ (mg/L)	SO ₄ ²⁻ (mg/L)
LID	0,02	0,003	-	-	-	-	-	-	-
IV-78	1,8	0,90	0,02	0,34	ND	ND	0,49	ND	0,29
IV-79	1,2	0,50	0,14	0,40	ND	ND	0,49	ND	0,30
IV-80	2,6	2,4	0,05	0,35	ND	ND	0,57	ND	0,52
IV-81	0,7	0,40	ND	0,19	ND	ND	0,06	ND	0,21
IV-82	0,8	0,40	ND	0,24	ND	ND	0,01	ND	0,17
IV-83	4,0	1,4	0,07	1,1	ND	ND	0,57	ND	0,56
IV-84	1,7	0,70	ND	0,41	ND	ND	0,23	ND	0,28
IV-85	1,8	0,90	ND	0,88	ND	0,01	0,57	ND	0,31
IV-86	44	0,70	0,20	0,98	ND	ND	0,01	ND	0,20
IV-87	2,8	1,3	0,07	0,92	ND	ND	0,17	ND	0,36
IV-88	7,4	3,0	0,08	1,2	ND	0,03	ND	ND	1,8
IV-89	22	1,6	0,29	2,4	ND	0,01	0,02	ND	9,0

ND= não detectado; LID = limite inferior de detecção

Continuação/TABELA 1-F. Parte 2

Local	Na ⁺ (mg/L)	K ⁺ (mg/L)	F (mg/L)	Cl ⁻ (mg/L)	NO ₂ ⁻ (mg/L)	Br ⁻ (mg/L)	NO ₃ ⁻ (mg/L)	PO ₄ ³⁻ (mg/L)	SO ₄ ²⁻ (mg/L)
LID	0,02	0,003	-	-	-	-	-	-	-
IV-90	19	3,6	0,24	18	ND	0,04	0,14	ND	12
IV-91	2,4	1,3	0,15	19	ND	ND	0,31	ND	0,70
IV-92	0,7	0,40	ND	0,55	0,06	ND	0,27	ND	0,18
IV-93	4,7	2,6	0,10	0,52	ND	ND	0,41	ND	0,54
IV-94	4,9	2,9	0,09	0,31	ND	ND	0,25	ND	0,43
IV-95	1,3	1,3	0,02	0,24	ND	ND	0,45	ND	0,09
IT-96	2,9	1,9	0,10	0,87	ND	ND	0,19	ND	0,45
IT-97	180	0,20	1,6	39	ND	ND	0,01	ND	203
IT-98	16	1,3	0,15	2,4	ND	ND	2,5	ND	0,14
IT-99	8,0	2,0	0,18	0,71	ND	ND	0,50	ND	0,07
IT-100	5,4	3,0	0,20	18	ND	ND	27,4	ND	0,10
IT-101	5,7	2,1	0,08	0,15	ND	ND	0,02	ND	0,06

ND = não detectado; LID = limite inferior de detecção

Continuação/TABELA 1-F. Parte 2

Local	Na ⁺ (mg/L)	K ⁺ (mg/L)	F ⁻ (mg/L)	Cl ⁻ (mg/L)	NO ₂ ⁻ (mg/L)	Br ⁻ (mg/L)	NO ₃ ⁻ (mg/L)	PO ₄ ³⁻ (mg/L)	SO ₄ ²⁻ (mg/L)
LID	0,02	0,003	-	-	-	-	-	-	-
IT-102	3,0	2,1	0,17	1,9	ND	ND	0,40	ND	0,02
IT-103	17	0,90	0,17	1,4	ND	ND	1,0	ND	0,07
IT-104	98	0,50	0,66	1,2	ND	ND	0,02	ND	5,3
IT-105	4,3	2,9	0,09	4,6	ND	ND	9,8	ND	0,06
IT-106	3,9	3,2	0,27	0,22	0,04	ND	0,25	ND	0,05
IT-107	2,3	3,3	0,32	1,6	0,03	ND	2,3	ND	0,06
IT-108	0,6	0,60	0,05	0,26	ND	ND	1,7	ND	0,21
IT-109	22	1,3	0,13	2,0	ND	ND	3,9	ND	0,24
IT-110	18	0,20	0,12	0,56	0,09	ND	0,42	ND	0,08
IT-111	17	11	0,10	23	ND	0,05	91	ND	0,04
IT-112	25	0,40	0,21	0,53	ND	ND	1,1	ND	2,9
IT-113	55	0,10	0,22	0,46	ND	ND	0,03	ND	6,0

ND = não detectado; LID = limite inferior de detecção

Continuação/TABELA 1-F. Parte 2

Local	Na ⁺ (mg/L)	K ⁺ (mg/L)	F (mg/L)	Cl ⁻ (mg/L)	NO ₂ ⁻ (mg/L)	Br ⁻ (mg/L)	NO ₃ ⁻ (mg/L)	PO ₄ ³⁻ (mg/L)	SO ₄ ²⁻ (mg/L)
LID	0,02	0,003	-	-	-	-	-	-	-
IT-114	9,8	0,50	0,19	0,26	ND	ND	0,29	ND	1,2
IT-115	4,7	0,90	0,09	0,22	ND	ND	0,07	ND	0,08
IT-116	29	<0,003	0,13	0,18	ND	ND	0,01	ND	1,4
IT-117	0,40	0,30	0,04	0,23	ND	ND	0,02	ND	0,05
IT-118	6,8	0,20	0,02	0,36	ND	ND	1,5	ND	0,07
IT-119	2,7	2,3	0,07	0,97	ND	ND	6,2	ND	0,07
IT-120	1,5	1,7	0,04	0,97	ND	ND	6,2	ND	0,08
IT-121	3,4	1,8	0,02	2,1	ND	0,01	7,4	0,09	0,13
IT-122	68	0,10	0,22	0,62	ND	0,01	0,03	0,01	6,7
IT-123	3,1	1,5	0,09	0,37	0,19	ND	0,27	0,01	0,05
IT-124	56	0,30	0,24	0,41	ND	0,01	0,01	ND	5,7

ND = não detectado; LID = limite inferior de detecção

Continuação/TABELA 1-F. Parte 2

Local	Na ⁺ (mg/L)	K ⁺ (mg/L)	F ⁻ (mg/L)	Cl ⁻ (mg/L)	NO ₂ ⁻ (mg/L)	Br ⁻ (mg/L)	NO ₃ ⁻ (mg/L)	PO ₄ ³⁻ (mg/L)	SO ₄ ²⁻ (mg/L)
LID	0,02	0,003	-	-	-	-	-	-	-
IT-125	260	0,90	2,3	36	ND	0,29	0,10	0,04	430
IT-126	94	2,2	0,83	15	ND	ND	10	0,01	138
IT-127	9,4	1,8	0,05	0,27	ND	0,001	0,07	0,10	0,56
IT-128	5,9	1,4	0,01	0,51	ND	0,01	1,4	0,10	0,08
IT-129	123	0,20	0,35	0,48	0,35	ND	0,06	ND	2,1
IT-130	44	0,10	0,15	0,23	0,12	ND	0,06	ND	0,31
IT-131	10	2,3	0,09	8,7	ND	0,01	20	ND	0,41
IT-132	54	0,60	0,18	1,5	0,20	ND	5,6	ND	21
IM-133	24	0,60	0,32	0,39	0,07	0,01	0,15	0,14	1,1
IM-134	55	0,90	0,48	0,90	0,15	0,01	0,20	0,02	2,1
IM-135	40	1,0	0,22	0,76	0,17	0,04	0,59	0,02	3,9
IM-136	28	1,0	0,27	0,78	0,32	0,02	0,56	0,04	1,6

ND = não detectado; LID = limite inferior de detecção

Continuação/TABELA 1-F. Parte 2

Local	Na ⁺ (mg/L)	K ⁺ (mg/L)	F ⁻ (mg/L)	Cl ⁻ (mg/L)	NO ₂ ⁻ (mg/L)	Br ⁻ (mg/L)	NO ₃ ⁻ (mg/L)	PO ₄ ³⁻ (mg/L)	SO ₄ ²⁻ (mg/L)
LID	0,02	0,003	-	-	-	-	-	-	-
IM-137	31	0,80	1,2	2,0	0,14	0,01	0,42	ND	4,5
IM-138	23	0,70	0,11	0,35	0,03	0,004	0,05	ND	3,4
IM-139	100	1,7	0,45	20	0,18	0,13	0,52	0,18	84
IM-140	230	0,80	0,67	45	0,04	0,19	0,29	0,004	189
IT-141	5,3	2,1	0,03	0,47	0,04	0,01	0,14	0,02	0,15
IT-142	8,0	2,5	0,11	1,9	0,07	ND	4,9	0,04	0,05
IT-143	14	5,9	0,34	2,3	0,22	0,03	24	0,08	0,07
IT-144	15	1,1	0,19	0,30	0,07	ND	0,13	0,13	1,4
IT-145	3,0	1,7	0,02	1,9	0,04	0,01	0,41	0,01	0,88
IT-146	44	0,60	0,29	7,7	0,12	0,59	7,7	0,02	3,8
IT-147	2,1	1,9	0,03	1,3	0,14	0,03	0,30	ND	0,09
IT-148	5,4	3,5	0,05	2,6	0,08	0,30	7,9	0,24	4,9

ND = não detectado; LID = limite inferior de detecção

Continuação/TABELA 1-F. Parte 2

Local	Na ⁺ (mg/L)	K ⁺ (mg/L)	F ⁻ (mg/L)	Cl ⁻ (mg/L)	NO ₂ ⁻ (mg/L)	Br ⁻ (mg/L)	NO ₃ ⁻ (mg/L)	PO ₄ ³⁻ (mg/L)	SO ₄ ²⁻ (mg/L)
LID	0,02	0,003	-	-	-	-	-	-	-
IT-149	34	1,0	1,5	3,9	0,13	0,02	2,4	0,05	18
IT-150	1,5	2,8	0,07	1,3	0,04	0,04	0,27	0,01	0,08
IT-151	4,9	4,9	0,05	1,9	0,03	0,03	4,9	0,08	0,08
IT-152	1,9	3,0	0,02	1,6	0,04	0,63	7,7	0,07	0,02
IT-153	4,3	5,0	0,06	1,9	0,13	0,01	5,8	0,05	0,03
IT-154	3,5	3,6	0,02	0,56	0,06	0,004	4,1	0,06	0,04
IT-155	2,7	4,0	0,05	1,7	0,18	0,06	1,4	0,04	0,09
IT-156	3,4	3,9	0,06	0,50	0,10	0,04	2,6	0,21	0,05
IT-157	3,5	3,6	0,04	0,33	0,16	0,02	0,15	0,06	0,05
IT-158	8,8	4,4	0,11	2,8	0,16	0,57	18	0,18	0,35
IT-159	3,4	2,6	0,08	0,95	0,03	0,02	3,5	0,12	0,08
IT-160	83	0,20	0,21	0,44	0,19	0,03	0,21	0,03	2,8

ND = não detectado; LID = limite inferior de detecção

Continuação/TABELA 1-F. Parte 2

Local	Na ⁺ (mg/L)	K ⁺ (mg/L)	F (mg/L)	Cl ⁻ (mg/L)	NO ₂ ⁻ (mg/L)	Br ⁻ (mg/L)	NO ₃ ⁻ (mg/L)	PO ₄ ³⁻ (mg/L)	SO ₄ ²⁻ (mg/L)
LID	0,02	0,003	-	-	-	-	-	-	-
IT-161	88	0,20	0,28	0,49	0,18	0,01	0,77	0,26	3,4
IT-162	80	0,10	0,37	0,40	1,1	0,003	0,40	0,11	1,8
IT-163	43	1,0	0,42	2,3	0,11	0,03	1,4	ND	25
IT-164	56	0,10	0,20	0,39	0,07	0,02	0,15	0,10	0,74
IT-165	5,1	7,4	0,79	6,3	ND	ND	32	0,03	0,09
IT-166	3,3	5,2	0,01	4,4	0,04	0,02	19	0,05	0,73
IT-167	2,1	2,7	0,02	12	0,05	0,02	21	ND	1,9
IT-168	2,5	2,6	0,16	0,27	0,03	0,003	3,0	0,23	0,03
IT-169	98	0,10	0,68	4,6	ND	ND	0,21	ND	11
IT-170	110	0,10	0,66	3,6	ND	0,02	0,03	0,06	11
IT-171	5,0	3,9	0,06	0,75	0,06	0,001	7,1	0,06	0,04
IT-172	10	5,6	0,10	8,8	0,13	0,01	35	0,56	0,05

ND = não detectado; LID = limite inferior de detecção

Continuação/TABELA 1-F. Parte 2

Local	Na ⁺ (mg/L)	K ⁺ (mg/L)	F ⁻ (mg/L)	Cl ⁻ (mg/L)	NO ₂ ⁻ (mg/L)	Br ⁻ (mg/L)	NO ₃ ⁻ (mg/L)	PO ₄ ³⁻ (mg/L)	SO ₄ ²⁻ (mg/L)
LID	0,02	0,003	--	--	--	--	--	--	--
IT-173	3,7	1,8	0,02	4,1	ND	0,01	10	ND	0,04
IT-174	23	3,1	0,05	8,3	0,07	0,02	44	0,01	0,11
IT-175	1,0	0,60	0,05	0,46	0,02	0,002	1,8	0,01	0,04
IT-176	102	0,30	0,28	8,6	0,24	0,05	0,37	0,03	81
IT-177	4,9	3,9	0,03	2,1	0,07	0,01	7,2	0,06	0,08
IT-178	15	4,9	0,03	8,6	0,01	0,01	31	0,05	0,07
IT-179	3,3	3,2	0,02	1,1	0,02	0,002	4,3	0,30	0,03
IT-180	10	8,6	0,03	11	0,13	0,02	37	0,31	0,16
IT-181	112	0,60	0,97	5,4	0,17	0,03	1,2	0,02	14
IT-182	104	0,40	0,90	4,0	0,16	0,03	0,38	0,07	10
IT-183	62	0,70	0,28	0,65	0,09	0,04	0,33	2,1	4,3
IT-184	27	3,6	0,03	11	0,18	0,02	29	0,15	0,51

ND = não detectado; LID = limite inferior de detecção

Continuação/TABELA 1-F. Parte 2

Local	Na ⁺ (mg/L)	K ⁺ (mg/L)	F (mg/L)	Cl ⁻ (mg/L)	NO ₂ ⁻ (mg/L)	Br ⁻ (mg/L)	NO ₃ ⁻ (mg/L)	PO ₄ ³⁻ (mg/L)	SO ₄ ²⁻ (mg/L)
LID	0,02	0,003	-	-	-	-	-	-	-
IT-185	4,7	4,7	0,03	5,9	0,07	22	0,04	0,05	ND
IT-186	12	2,4	0,10	0,58	0,01	0,04	0,10	0,02	3,5
IT-187	2,1	3,7	0,07	2,3	0,28	0,01	1,7	0,09	0,15
IT-188	7,8	1,4	0,06	0,58	0,04	ND	1,1	0,01	0,05
IT-189	1,4	2,7	0,04	0,10	0,04	ND	0,06	0,04	0,04
IT-190	6,0	2,9	0,15	1,5	ND	0,01	4,1	0,06	0,07
IT-191	37	1,7	0,27	1,1	ND	0,02	1,7	0,16	3,6
IT-192	6,0	3,9	0,04	5,7	ND	0,02	24	0,03	0,07
IT-193	5,7	4,5	0,07	5,4	ND	0,01	15	0,41	0,06
IT-194	16	2,9	0,10	3,2	ND	0,01	8,9	0,05	0,08
IT-195	49	0,10	0,22	0,27	0,01	0,03	0,63	0,09	1,1
IT-196	6,0	0,40	0,08	0,40	0,06	0,03	0,23	0,03	0,04

ND = não detectado; LID = limite inferior de detecção

Continuação/TABELA 1-F. Parte 2

Local	Na ⁺ (mg/L)	K ⁺ (mg/L)	F ⁻ (mg/L)	Cl ⁻ (mg/L)	NO ₂ ⁻ (mg/L)	Br ⁻ (mg/L)	NO ₃ ⁻ (mg/L)	PO ₄ ³⁻ (mg/L)	SO ₄ ²⁻ (mg/L)
LID	0,02	0,003	-	-	-	-	-	-	-
IT-197	22	0,60	0,19	0,28	ND	0,004	0,11	0,01	0,08
IT-198	20	1,9	0,10	0,35	ND	0,004	0,44	0,03	0,27
IT-199	15	0,80	0,11	0,73	0,02	ND	0,55	0,12	0,06
IT-200	2,4	2,7	0,001	5,5	ND	0,03	15	0,08	0,23
IT-201	15	1,2	0,11	0,22	0,01	0,004	0,08	0,03	0,92
IT-202	22	2,9	0,05	0,62	ND	0,01	3,1	0,01	0,14
IT-203	3,1	6,6	0,07	1,9	0,01	0,02	19	0,19	0,03
IT-204	4,0	2,1	0,10	0,22	0,02	0,08	0,69	0,01	0,46
IT-205	13	0,90	0,21	1,3	0,02	0,02	0,17	0,03	0,10
IT-206	2,5	2,9	0,02	2,1	0,01	0,01	0,28	0,14	0,39
IT-207	88	0,60	1,0	10	ND	0,05	0,24	0,11	11,7
IT-208	275	0,80	0,50	3,0	ND	0,02	0,10	0,03	203

ND = não detectado; LID = limite inferior de detecção

Continuação/TABELA 1-F. Parte 2

Local	Na ⁺ (mg/L)	K ⁺ (mg/L)	F ⁻ (mg/L)	Cl ⁻ (mg/L)	NO ₂ ⁻ (mg/L)	Br ⁻ (mg/L)	NO ₃ ⁻ (mg/L)	PO ₄ ³⁻ (mg/L)	SO ₄ ²⁻ (mg/L)
LID	0,02	0,003	-	-	-	-	-	-	-
IT-209	37	< 0,003	0,14	0,53	ND	0,01	0,06	0,03	2,4
IT-210	30	0,10	0,14	1,6	0,01	0,01	0,08	0,01	5,4
IT-211	3,3	3,6	0,11	1,9	ND	0,003	1,3	0,01	0,49
IT-212	2,6	3,9	0,03	1,1	0,01	0,01	21	0,07	0,06
LR-213	8,8	3,0	0,08	5,5	ND	0,04	0,01	0,01	5,2
LR-214	14	3,4	0,29	8,5	ND	0,06	0,06	0,01	7,6
LR-215	5,2	2,1	0,08	2,6	ND	0,06	1,8	0,24	2,1
LR-216	2,9	1,0	0,07	2,2	ND	0,03	1,2	0,02	1,4
LR-217	7,2	1,9	0,10	4,0	ND	0,03	4,5	0,03	4,0
LR-218	6,0	1,1	0,08	2,9	ND	0,02	0,47	0,71	4,2
LR-219	4,5	2,7	0,28	5,2	ND	0,08	0,12	0,01	5,1

ND = não detectado; LID = limite inferior de detecção

Continuação/TABELA 1-F. Parte 2

Local	Na ⁺ (mg/L)	K ⁺ (mg/L)	F ⁻ (mg/L)	Cl ⁻ (mg/L)	NO ₂ ⁻ (mg/L)	Br ⁻ (mg/L)	NO ₃ ⁻ (mg/L)	PO ₄ ³⁻ (mg/L)	SO ₄ ²⁻ (mg/L)
LID	0,02	0,003	-	-	-	-	-	-	-
IB-220	8,0	2,4	0,49	2,2	ND	0,003	1,6	0,01	0,08
IB-221	1,3	0,80	0,06	1,1	ND	0,02	0,07	0,04	0,76
IB-222	4,4	2,6	0,19	0,16	ND	0,02	0,14	0,01	0,14
IB-223	37	0,30	0,40	0,44	0,01	0,01	0,13	0,02	0,41
IB-224	19	0,60	0,29	0,34	0,02	0,02	0,10	0,06	0,28
IB-225	11	2,1	0,19	0,62	0,03	0,01	2,0	0,02	0,25
IB-226	4,2	3,3	0,09	3,2	ND	0,02	4,7	0,04	0,06
IB-227	36	0,30	0,28	2,2	0,05	0,01	0,4	0,09	0,046
IB-228	40	< 0,003	0,32	0,30	0,02	0,01	0,05	0,01	0,48
IB-229	21	2,2	0,29	5,3	0,02	0,03	8,4	0,01	0,39
IB-230	42	< 0,003	0,38	0,29	0,03	0,01	0,65	0,04	0,27

ND = não detectado; LID = limite inferior de detecção

Continuação/TABELA 1-F. Parte 2

Local	Na ⁺ (mg/L)	K ⁺ (mg/L)	F ⁻ (mg/L)	Cl ⁻ (mg/L)	NO ₂ ⁻ (mg/L)	Br ⁻ (mg/L)	NO ₃ ⁻ (mg/L)	PO ₄ ³⁻ (mg/L)	SO ₄ ²⁻ (mg/L)
LID	0,02	0,003	-	-	-	-	-	-	-
IB-231	25	6,5	0,28	65	ND	0,06	9,4	0,01	0,75
IB-232	60	< 0,003	0,30	1,7	0,03	0,02	0,67	0,14	0,69
IB-233	56	< 0,003	0,30	0,29	0,01	0,01	0,30	0,01	0,45
IB-234	38	0,50	0,17	1,6	0,02	0,04	0,64	0,01	0,29
IB-235	52	< 0,003	0,23	0,26	0,01	0,01	0,09	ND	0,49
IB-236	17	0,70	0,20	1,1	0,03	0,02	2,5	0,01	0,08
IB-237	23	1,9	0,53	7,9	ND	0,05	12	0,88	38
IB-238	4,5	3,4	0,08	3,1	ND	0,002	20	0,06	2,2
IB-239	1,0	0,70	0,13	0,96	0,03	0,01	0,82	0,74	0,03
IB-240	0,40	0,70	0,03	0,46	ND	0,10	1,1	0,05	0,01

ND = não detectado; LID = limite inferior de detecção

Continuação/TABELA 1-F. Parte 2

Local	Na ⁺ (mg/L)	K ⁺ (mg/L)	F (mg/L)	Cl ⁻ (mg/L)	NO ₂ ⁻ (mg/L)	Br ⁻ (mg/L)	NO ₃ ⁻ (mg/L)	PO ₄ ³⁻ (mg/L)	SO ₄ ²⁻ (mg/L)
LID	0,02	0,003	-	-	-	-	-	-	-
IB-241	0,50	0,90	0,04	0,52	ND	0,01	0,83	0,11	0,02
IB-242	0,50	0,20	0,04	0,44	0,002	0,01	0,60	0,04	0,09
IB-243	4,2	0,60	0,03	1,1	0,04	0,02	1,0	0,16	0,02
IB-244	10	1,3	0,07	1,1	0,02	0,01	0,67	0,03	0,07
IB-245	4,9	0,80	0,01	5,6	ND	0,03	15	0,02	0,04
IB-246	14	1,4	0,09	1,9	0,01	0,01	1,1	0,05	0,15
IB-247	11	3,4	0,04	6,7	0,05	0,02	13	0,11	0,23
IB-248	33	0,10	0,24	0,26	0,02	0,004	0,09	0,03	0,16
IB-249	32	0,70	0,20	1,3	0,03	0,01	1,5	0,01	0,63
IB-250	36	1,2	0,17	3,5	0,07	0,02	6,8	0,01	1,3

ND = não detectado; LID = limite inferior de detecção

Continuação/TABELA 1-F. Parte 2

Local	Na ⁺ (mg/L)	K ⁺ (mg/L)	F (mg/L)	Cl ⁻ (mg/L)	NO ₂ ⁻ (mg/L)	Br ⁻ (mg/L)	NO ₃ ⁻ (mg/L)	PO ₄ ³⁻ (mg/L)	SO ₄ ²⁻ (mg/L)
LID	0,02	0,003	-	-	-	-	-	-	-
IB-251	25	0,70	0,17	2,2	ND	0,02	6,7	0,07	0,17
IB-252	59	0,30	0,19	2,0	ND	0,03	0,24	0,09	0,73
IB-253	14	0,70	0,14	0,67	ND	ND	1,4	0,15	0,27
IB-254	22	2,4	9,7	334	ND	0,12	0,06	0,08	84
IB-255	24	2,3	7,7	187	ND	0,26	0,28	0,19	274
IB-256	41	< 0,003	0,51	3,9	ND	0,02	0,20	0,03	2,5
IB-257	7,2	3,3	0,15	4,4	ND	0,05	0,31	0,06	1,2
IB-258	2,6	2,4	0,16	2,7	ND	0,02	0,66	0,04	1,2
IB-259	30	0,20	0,27	3,2	ND	0,04	3,5	0,10	0,54
IB-260	17	0,80	0,08	4,0	ND	0,01	6,6	0,40	0,34

ND = não detectado; LID = limite inferior de detecção

Continuação/TABELA 1-F. Parte 2

Local	Na ⁺ (mg/L)	K ⁺ (mg/L)	F ⁻ (mg/L)	Cl ⁻ (mg/L)	NO ₂ ⁻ (mg/L)	Br ⁻ (mg/L)	NO ₃ ⁻ (mg/L)	PO ₄ ³⁻ (mg/L)	SO ₄ ²⁻ (mg/L)
LID	0,02	0,003	-	-	-	-	-	-	-
IB-261	39	0,20	0,27	1,7	ND	0,02	0,51	0,06	0,50
IB-262	7,2	3,1	0,10	7,8	ND	0,10	23	0,24	0,23
IB-263	26	0,40	0,29	1,2	ND	0,01	1,2	0,06	0,32
IB-264	7,2	2,3	0,06	0,68	ND	0,02	2,2	0,01	0,04
IB-265	6,0	1,6	0,02	3,1	ND	0,01	10	0,03	0,03
IB-266	17	0,60	0,08	0,12	ND	0,01	0,07	0,01	0,16
IB-267	8,0	1,8	0,07	8,1	ND	0,05	9,6	0,04	0,72
IB-268	25	0,30	0,27	0,36	0,02	0,01	0,58	0,02	0,94
IB-269	36	0,30	0,15	0,53	0,003	0,004	0,50	0,06	0,19
IB-270	5,6	4,7	0,12	4,6	ND	0,02	15	0,03	0,70

ND = não detectado; LID = limite inferior de detecção

Continuação/TABELA 1-F. Parte 2

Local	Na ⁺ (mg/L)	K ⁺ (mg/L)	F ⁻ (mg/L)	Cl ⁻ (mg/L)	NO ₂ ⁻ (mg/L)	Br ⁻ (mg/L)	NO ₃ ⁻ (mg/L)	PO ₄ ³⁻ (mg/L)	SO ₄ ²⁻ (mg/L)
LID	0,02	0,003	-	-	-	-	-	-	-
IB-271	5,8	4,8	0,20	2,2	ND	0,01	1,5	0,06	0,09
IB-272	2,0	4,6	0,09	5,4	0,02	0,02	27	0,06	0,22
IB-273	7,2	3,3	0,07	1,9	0,14	0,01	4,6	0,03	0,05
IB-274	4,6	4,5	0,08	1,3	ND	0,01	1,4	0,03	0,04
IB-275	7,8	4,2	0,06	6,6	ND	0,04	11	0,04	0,82
IB-276	14	3,0	0,07	4,4	ND	0,03	26	0,05	2,8
IB-277	7,6	4,7	0,06	5,1	ND	0,02	9,9	0,01	0,24
IB-278	36	1,4	0,15	1,1	ND	0,02	0,22	0,01	0,30
IB-279	38	0,70	0,17	1,6	ND	0,01	2,8	0,03	0,16
IB-280	7,4	3,0	0,07	0,15	0,01	0,01	0,49	0,02	0,04

ND = não detectado; LID = limite inferior de detecção

Continuação/TABELA 1-F. Parte 2

Local	Na ⁺ (mg/L)	K ⁺ (mg/L)	F (mg/L)	Cl ⁻ (mg/L)	NO ₂ ⁻ (mg/L)	Br ⁻ (mg/L)	NO ₃ ⁻ (mg/L)	PO ₄ ³⁻ (mg/L)	SO ₄ ²⁻ (mg/L)
LID	0,02	0,003	-	-	-	-	-	-	-
IB-281	103	< 0,003	0,46	16	ND	0,08	0,12	0,18	65
IB-282	6,0	3,7	0,10	1,7	0,07	0,01	4,4	0,01	0,89
IB-283	118	0,10	0,89	19	ND	0,07	0,05	0,01	93
IB-284	7,6	5,7	0,04	2,4	ND	0,01	1,4	0,99	0,52
IB-285	19	2,2	0,12	2,3	ND	0,01	0,24	0,04	0,50
IB-286	30	1,5	0,22	6,5	ND	0,03	5,0	0,20	2,5
IB-287	29	1,4	0,13	7,2	ND	0,02	6,0	0,24	3,6
IB-288	4,3	3,7	0,03	2,9	ND	0,02	1,6	0,04	0,05
IB-289	16	1,7	0,13	3,7	ND	0,02	5,0	0,19	0,31
IB-290	3,4	5,8	0,04	3,4	ND	0,02	26	0,02	0,06

ND = não detectado; LID = limite inferior de detecção

Continuação/TABELA 1-F. Parte 2

Local	Na ⁺ (mg/L)	K ⁺ (mg/L)	F ⁻ (mg/L)	Cl ⁻ (mg/L)	NO ₂ ⁻ (mg/L)	Br ⁻ (mg/L)	NO ₃ ⁻ (mg/L)	PO ₄ ³⁻ (mg/L)	SO ₄ ²⁻ (mg/L)
LID	0,02	0,003	-	-	-	-	-	-	-
IB-291	2,9	4,1	0,12	0,81	0,06	0,003	5,1	0,08	0,05
IB-292	15	3,0	0,11	2,9	ND	0,01	14	0,13	0,30
IB-293	53	< 0,003	0,22	0,53	0,02	0,01	0,19	0,02	0,59
IB-294	2,6	3,3	0,08	2,1	ND	0,02	3,4	0,01	0,68
IB-295	8,0	3,9	0,04	5,5	ND	0,02	ND	0,03	0,07
IB-296	5,0	5,2	0,08	7,8	ND	0,02	24	0,10	0,07
IB-297	4,3	2,5	-	-	-	-	-	-	-
IB-298	61	< 0,003	0,64	0,79	ND	0,04	0,04	0,03	10
IB-299	80	0,10	1,1	1,2	ND	0,01	0,43	0,03	7,2
IB-300	4,5	1,0	0,02	0,12	ND	0,01	0,13	0,02	0,05

ND = não detectado; LID = limite inferior de detecção

Continuação/TABELA 1-F. Parte 2

Local	Na ⁺ (mg/L)	K ⁺ (mg/L)	F (mg/L)	Cl ⁻ (mg/L)	NO ₂ ⁻ (mg/L)	Br ⁻ (mg/L)	NO ₃ ⁻ (mg/L)	PO ₄ ³⁻ (mg/L)	SO ₄ ²⁻ (mg/L)
LID	0,02	0,003	-	-	-	-	-	-	-
IB-301	1,1	1,7	0,01	1,8	ND	0,01	13	0,01	1,1
IB-302	2,0	2,1	0,02	5,3	ND	0,02	19	0,03	1,0
IB-303	56	0,70	0,19	3,4	ND	0,02	1,5	0,01	33
IB-304	2,9	2,7	0,02	0,62	0,02	0,02	4,6	0,19	0,01
IB-305	1,5	3,5	ND	3,0	ND	0,02	33	0,05	0,62
IB-306	2,1	1,1	0,08	1,2	ND	0,02	2,1	0,04	0,03
IB-307	0,80	1,9	0,02	0,07	ND	0,004	0,06	0,04	0,02
IB-308	54	< 0,003	0,71	0,65	0,05	0,01	0,40	0,01	13
IB-309	1,2	0,70	0,03	0,51	ND	0,01	0,03	0,01	0,02
IB-310	2,6	2,1	0,06	1,0	0,03	0,01	3,0	0,01	0,10

ND = não detectado; LID = limite inferior de detecção

Continuação/TABELA 1-F. Parte 2

Local	Na ⁺ (mg/L)	K ⁺ (mg/L)	F (mg/L)	Cl ⁻ (mg/L)	NO ₂ ⁻ (mg/L)	Br ⁻ (mg/L)	NO ₃ ⁻ (mg/L)	PO ₄ ³⁻ (mg/L)	SO ₄ ²⁻ (mg/L)
LID	0,02	0,003	-	-	-	-	-	-	-
IB-311	1,4	1,3	ND	4,7	ND	0,01	12	0,01	0,01
IB-312	0,70	1,0	0,06	0,59	0,02	0,01	0,82	0,01	0,02
IB-313	1,9	2,1	0,003	0,24	0,01	0,01	2,2	0,04	0,01
IB-314	29	0,20	1,1	3,3	ND	0,01	0,04	0,83	4,5
IB-315	5,3	0,20	0,03	2,5	ND	0,01	1,5	0,02	0,54
IB-316	2,6	0,20	0,04	1,6	ND	0,01	1,6	0,21	0,11
IB-317	1,3	0,10	0,04	0,91	ND	0,01	0,25	0,22	0,02
IB-318	12	0,10	0,14	1,3	ND	0,02	0,30	0,01	0,18
IB-319	5,2	0,10	0,04	0,91	ND	0,01	2,0	0,02	0,13
IB-320	26	0,30	0,37	2,2	ND	0,02	2,0	0,03	0,74

ND = não detectado; LID = limite inferior de detecção

Continuação/TABELA 1-F. Parte 2

Local	Na ⁺ (mg/L)	K ⁺ (mg/L)	F (mg/L)	Cl ⁻ (mg/L)	NO ₂ ⁻ (mg/L)	Br ⁻ (mg/L)	NO ₃ ⁻ (mg/L)	PO ₄ ³⁻ (mg/L)	SO ₄ ²⁻ (mg/L)
LID	0,02	0,003	-	-	-	-	-	-	-
IB-321	3,1	0,20	0,02	0,43	ND	0,01	0,12	0,12	0,02
IB-322	0,70	0,30	ND	0,61	ND	0,01	0,30	0,01	0,17
IB-323	0,30	0,80	0,04	0,24	0,01	0,01	0,92	0,02	0,05
IB-324	0,60	1,6	ND	0,48	0,02	0,01	6,2	0,02	0,06
IB-325	0,30	1,1	ND	0,27	0,02	0,001	1,2	0,04	0,05
IB-326	34	<0,003	0,13	0,76	0,02	0,01	0,40	0,01	0,16
IM-327	3,0	0,80	0,45	1,5	ND	0,01	0,89	0,02	0,12
IM-328	0,60	0,30	0,02	0,62	ND	0,01	1,2	0,02	0,13
IM-329	1,4	1,4	0,02	0,52	0,02	0,01	0,53	0,02	0,04
IM-330	1,5	0,60	0,12	1,8	0,002	0,02	4,7	0,06	0,21

ND = não detectado; LID = limite inferior de detecção

Continuação/TABELA 1-F. Parte 2

Local	Na ⁺ (mg/L)	K ⁺ (mg/L)	F (mg/L)	Cl ⁻ (mg/L)	NO ₂ ⁻ (mg/L)	Br ⁻ (mg/L)	NO ₃ ⁻ (mg/L)	PO ₄ ³⁻ (mg/L)	SO ₄ ²⁻ (mg/L)
LID	0,02	0,003	-	-	-	-	-	-	-
IM-331	1,7	0,80	0,02	2,4	ND	0,03	6,7	0,22	0,07
IM-332	3,0	1,1	0,06	0,27	0,02	0,01	0,10	0,11	0,11
IM-333	2,5	1,0	0,05	2,0	ND	0,01	5,1	0,48	0,08
IM-334	1,4	2,9	0,01	0,37	0,03	0,01	0,16	0,03	0,07
IM-335	1,9	1,6	0,03	0,26	0,01	0,03	0,04	0,11	0,08
IM-336	14	1,4	0,02	0,09	0,01	0,01	0,06	0,01	0,20
IM-337	13	0,80	0,02	0,74	0,05	0,003	2,4	0,04	1,0
IM-338	12	0,70	0,04	0,25	0,02	0,01	0,11	0,02	0,31
IM-339	18	0,50	0,06	0,48	0,04	0,004	0,43	0,02	0,67
IM-340	10	1,3	ND	9,9	ND	0,01	34	0,36	0,27

ND = não detectado; LID = limite inferior de detecção

Continuação/TABELA 1-F. Parte 2

Local	Na ⁺ (mg/L)	K ⁺ (mg/L)	F (mg/L)	Cl ⁻ (mg/L)	NO ₂ ⁻ (mg/L)	Br ⁻ (mg/L)	NO ₃ ⁻ (mg/L)	PO ₄ ³⁻ (mg/L)	SO ₄ ²⁻ (mg/L)
LID	0,02	0,003	-	-	-	-	-	-	-
IM-341	1,1	1,7	0,16	1,3	ND	0,003	1,9	0,04	0,41
IM-342	25	0,20	0,05	0,13	0,01	0,04	0,08	0,04	0,51
IM-343	3,2	1,7	0,02	0,78	0,03	0,01	0,48	0,02	0,15
IM-344	2,6	0,60	0,03	1,3	0,05	0,04	2,4	0,05	0,27
IM-345	2,2	1,7	0,02	0,61	0,03	0,01	0,25	0,04	0,19
IM-346	1,9	3,0	0,03	12	ND	0,03	47	0,37	0,11
IA-347	2,5	1,2	0,07	0,90	0,05	0,001	0,58	0,03	0,89
IA-348	12	1,4	0,96	1,1	0,03	0,01	0,64	0,04	8,6
IA-349	3,8	1,4	0,01	0,68	ND	0,03	0,14	0,02	0,33
IA-350	1,4	0,30	0,002	2,4	ND	0,03	2,4	0,09	1,3

ND = não detectado; LID = limite inferior de detecção

Continuação/TABELA 1-F. Parte 2

Local	Na ⁺ (mg/L)	K ⁺ (mg/L)	F (mg/L)	Cl ⁻ (mg/L)	NO ₂ ⁻ (mg/L)	Br ⁻ (mg/L)	NO ₃ ⁻ (mg/L)	PO ₄ ³⁻ (mg/L)	SO ₄ ²⁻ (mg/L)
LID	0,02	0,003	-	-	-	-	-	-	-
IA-351	0,90	0,30	0,19	1,1	ND	0,07	0,77	0,02	0,79
IA-352	5,0	1,2	0,35	1,4	ND	0,01	6,1	0,10	0,10
IA-353	1,6	1,8	0,21	1,3	ND	0,03	3,3	0,01	0,67
IA-354	2,5	0,60	0,03	0,90	ND	0,01	0,12	0,04	0,36
IA-355	5,6	2,1	0,10	1,4	0,03	0,03	1,6	0,06	0,53
IA-356	5,5	1,8	0,07	0,95	ND	0,01	28	0,01	0,45
IA-357	1,8	0,40	0,03	2,3	ND	0,01	1,7	0,02	1,4
IA-358	4,0	0,70	0,12	1,1	ND	ND	0,14	0,05	0,90
IA-359	1,5	0,20	0,01	1,7	ND	0,10	0,58	0,04	0,36
IA-360	1,4	0,20	0,003	2,1	ND	ND	1,2	0,01	0,80

ND = não detectado; LID = limite inferior de detecção

Continuação/TABELA 1-F. Parte 2

Local	Na ⁺ (mg/L)	K ⁺ (mg/L)	F (mg/L)	Cl ⁻ (mg/L)	NO ₂ ⁻ (mg/L)	Br ⁻ (mg/L)	NO ₃ ⁻ (mg/L)	PO ₄ ³⁻ (mg/L)	SO ₄ ²⁻ (mg/L)
LID	0,02	0,003	-	-	-	-	-	-	-
IA-361	1,9	0,60	0,05	2,4	ND	0,01	0,38	0,11	0,83
IA-362	2,0	0,30	0,13	2,7	ND	0,06	2,6	0,02	1,0
IA-363	3,2	1,6	0,19	0,83	ND	ND	1,1	0,33	0,11
IA-364	7,6	2,2	0,31	4,6	ND	0,01	6,8	0,35	1,0
IA-365	2,7	2,3	0,11	2,3	ND	0,03	3,5	0,01	0,17
IA-366	0,80	0,50	0,14	0,24	0,01	0,003	0,30	0,01	0,11
IA-367	7,0	0,80	0,20	0,48	ND	0,05	0,11	0,04	3,1
IA-368	5,1	1,7	0,06	0,36	0,03	0,07	0,75	0,12	0,22
IA-369	2,4	1,2	0,23	0,53	ND	ND	0,03	0,01	3,1
IA-370	1,1	0,70	ND	1,0	ND	0,01	0,52	0,05	0,39

ND = não detectado; LID = limite inferior de detecção

Continuação/TABELA 1-F. Parte 2

Local	Na ⁺ (mg/L)	K ⁺ (mg/L)	F (mg/L)	Cl ⁻ (mg/L)	NO ₂ ⁻ (mg/L)	Br ⁻ (mg/L)	NO ₃ ⁻ (mg/L)	PO ₄ ³⁻ (mg/L)	SO ₄ ²⁻ (mg/L)
LID	0,02	0,003	-	-	-	-	-	-	-
IA-371	3,1	1,5	0,02	1,8	ND	0,01	0,18	0,02	0,28
IA-372	19	1,9	0,68	0,67	0,03	-	-	-	3,8
IA-373	36	0,70	3,5	2,2	ND	ND	0,13	0,01	11
IA-374	20	1,3	0,02	1,6	ND	0,03	0,11	0,02	2,7
IA-375	1,9	0,70	0,02	1,4	ND	0,10	0,41	0,02	0,40
IA-376	2,0	1,3	ND	2,3	ND	0,04	0,04	0,02	0,20
IA-377	1,9	0,40	0,01	2,1	ND	0,03	0,24	0,02	0,45

ND = não detectado; LID = limite inferior de detecção